Federico Porcù, Dip. di Fisica ed Astronomia, Alma Mater Studiorum - Università di Bologna federico.porcu@unibo.it



#### 24.05 Energia I

problema energetico, struttura atomica, fissione nucleare

#### 06.06 Energia II

fusione nucleare, centrali nucleari, energie rinnovabili

#### 07.06 Clima

sistema climatico, osservazione, modellazione e tendenze





# Studio e previsioni dello stato del sistema

Federico Porcù **(federico.porcu@unibo.it)** Dipartimento di Fisica e Astronomia Università di Bologna definizione del problema; evidenze della tendenza climatica; aspetti critici;

sistemi dinamici; il sistema climatico terrestre; un approccio osservativo.

#### **CLIMA E TEMPO METEOROLOGICO**

diversa scala temporale

diversità di metodo, dati e formulazioni teoriche

**tempo meteorologico** stato di un sottosistema (in particolare dell'atmosfera) ad un istante.

clima stato medio del sistema e sue variazioni nel tempo.

#### Il sistema climatico

The climate system is a forced, dissipative, nonlinear, complex and heterogeneous system that is out of thermodynamic equilibrium. (Ghil & Lucarini)

#### **INDICATORI**

temperatura dell'aria

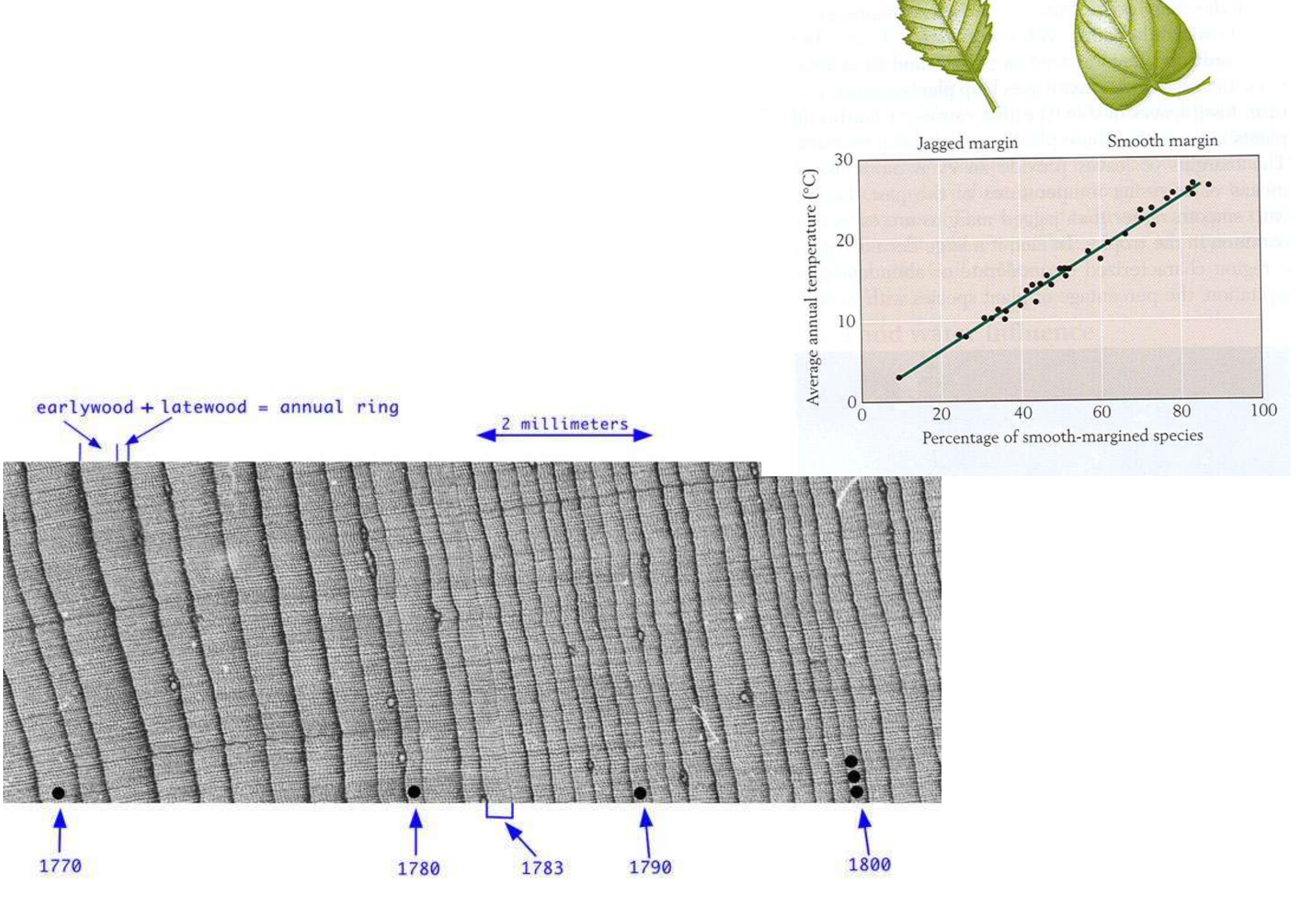
altezza del mare

precipitazione, vegetazione, insolazione, estensione dei ghiacci, ....

#### temperatura dell'aria (h=2 m)

```
termometri (tempi recenti < 200 anni):
termometri a mercurio
termometri a stato solido (termistori)
```

proxy data (paleoclima):
anelli di accrescimento degli alberi
forma delle foglie
O<sup>16</sup>/O<sup>18</sup>
cronache storiche



Le molecole di acqua formate da atomi di <sup>18</sup>O sono più pesanti delle altre ed evaporano meno facilmente e la concentrazione relativa dei due isotopi nell'acqua degli oceani è un indicatore della temperatura.

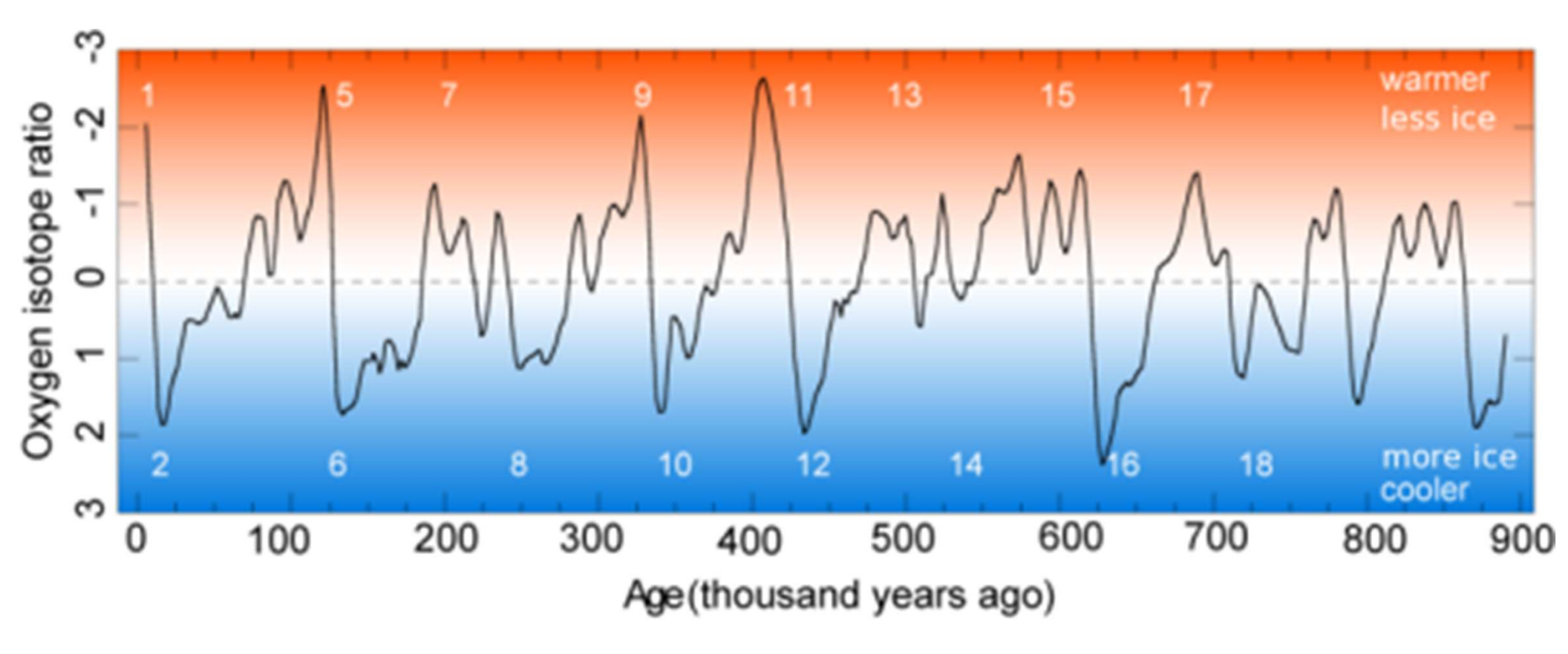
Il rapporto <sup>18</sup>O/<sup>16</sup>O fornisce una stima della temperatura dell'acqua degli oceani in tempi remoti.

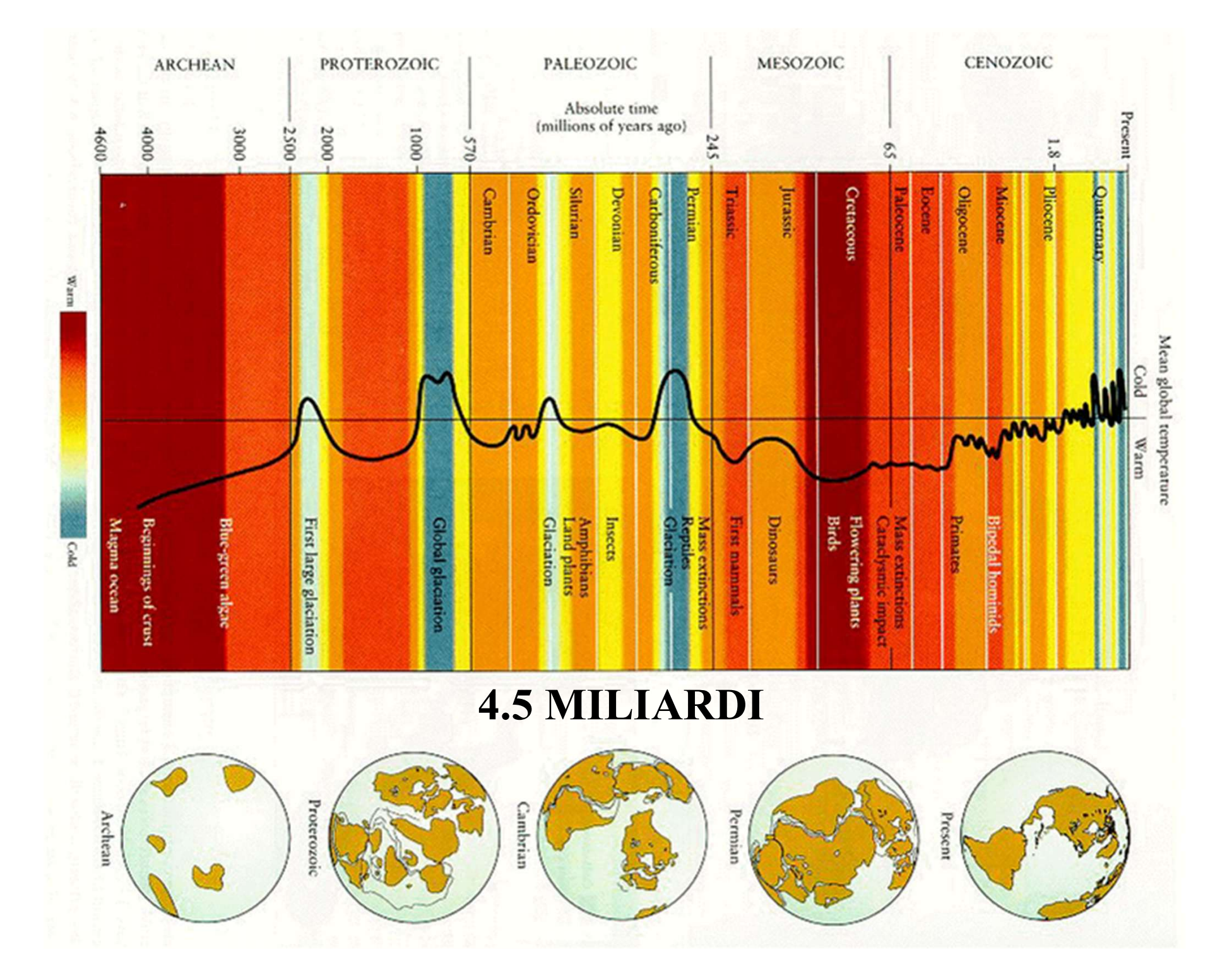
L'acqua da 10 a 15 °C più fredda del presente rappresenta un periodo glaciale. Man mano che le temperature più fredde si diffondono verso l'equatore, l'acqua ricca di <sup>18</sup>O precipita preferenzialmente alle latitudini più basse. Il restante vapore acqueo che condensa a latitudini più elevate è più ricco di <sup>16</sup>O. Le precipitazioni e quindi il ghiaccio contengono acqua con un basso contenuto di <sup>18</sup>O. Poiché grandi quantità di acqua <sup>16</sup>O vengono immagazzinate come ghiaccio, il contenuto di <sup>18</sup>O nell'acqua oceanica è elevato.

L'acqua fino a 5 °C più calda di oggi rappresenta un interglaciale, quando il contenuto di <sup>18</sup>O dell'acqua oceanica è inferiore.

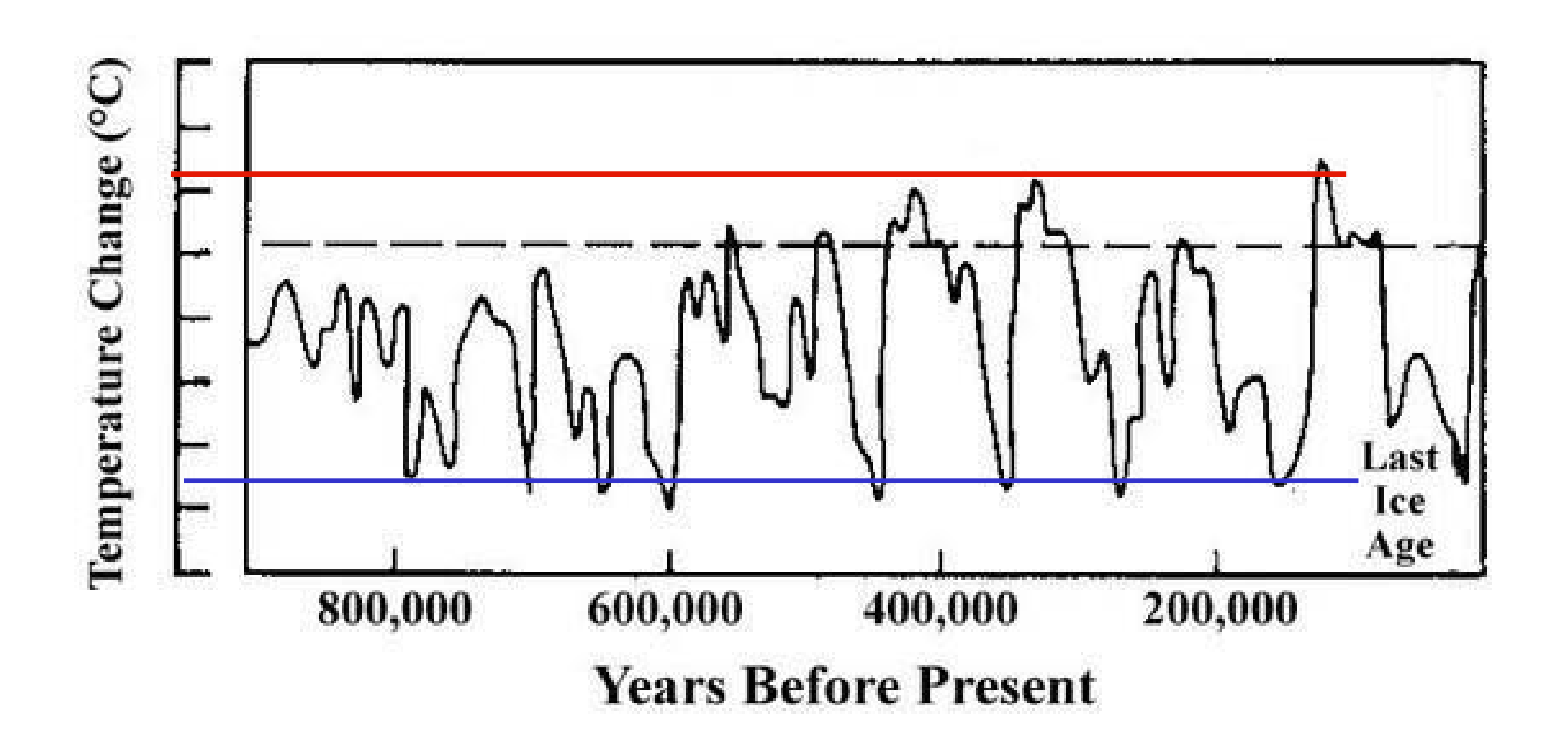
$$\delta^{18}O = \left(\frac{\left(\frac{18}{16}_{0}\right)_{mis}}{\frac{18}{0}_{0}} - 1\right) \times 1000$$

$$\left(\frac{18}{16}_{0}\right)_{ref}$$

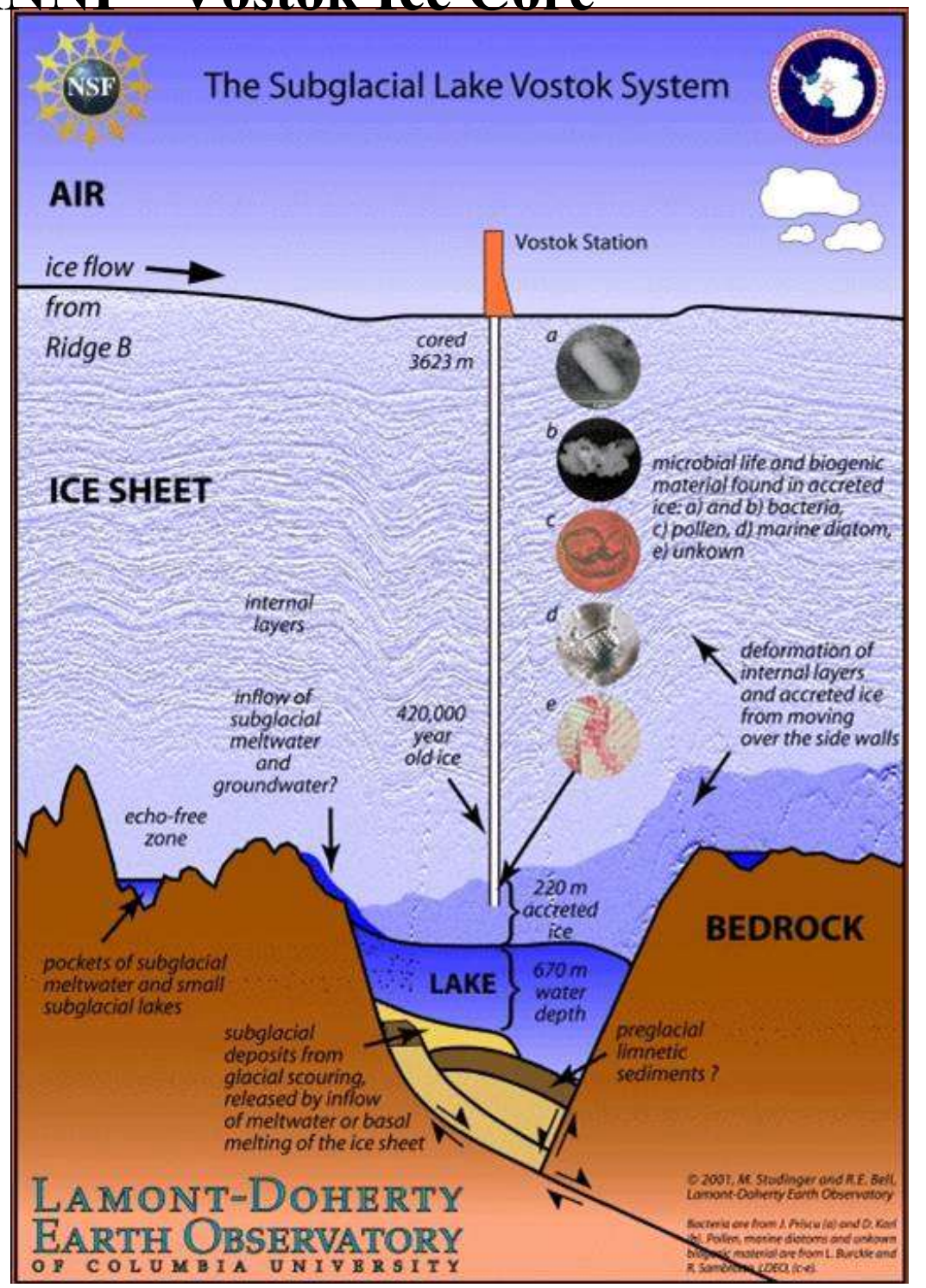




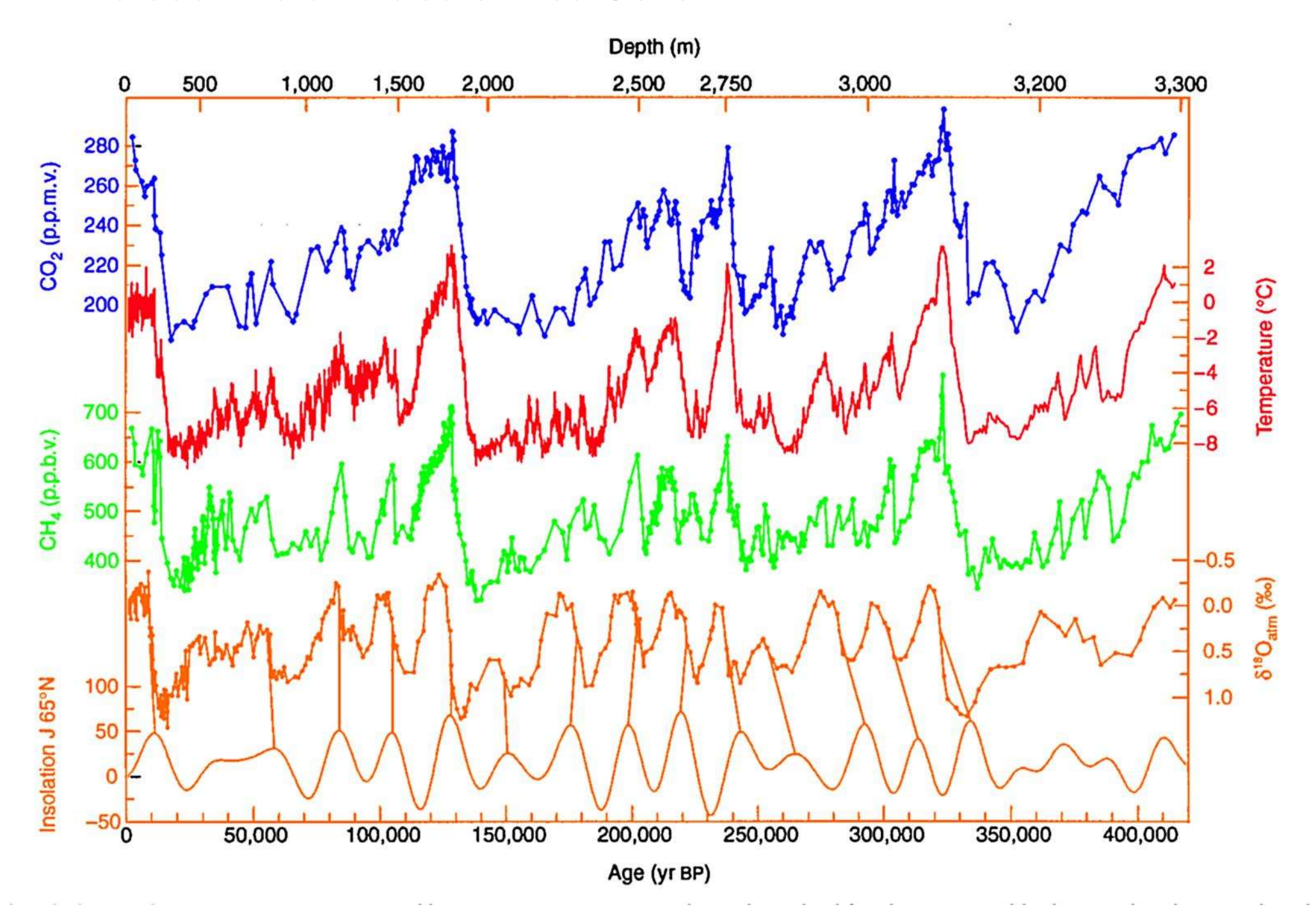
#### 1 MILIONE DI ANNI



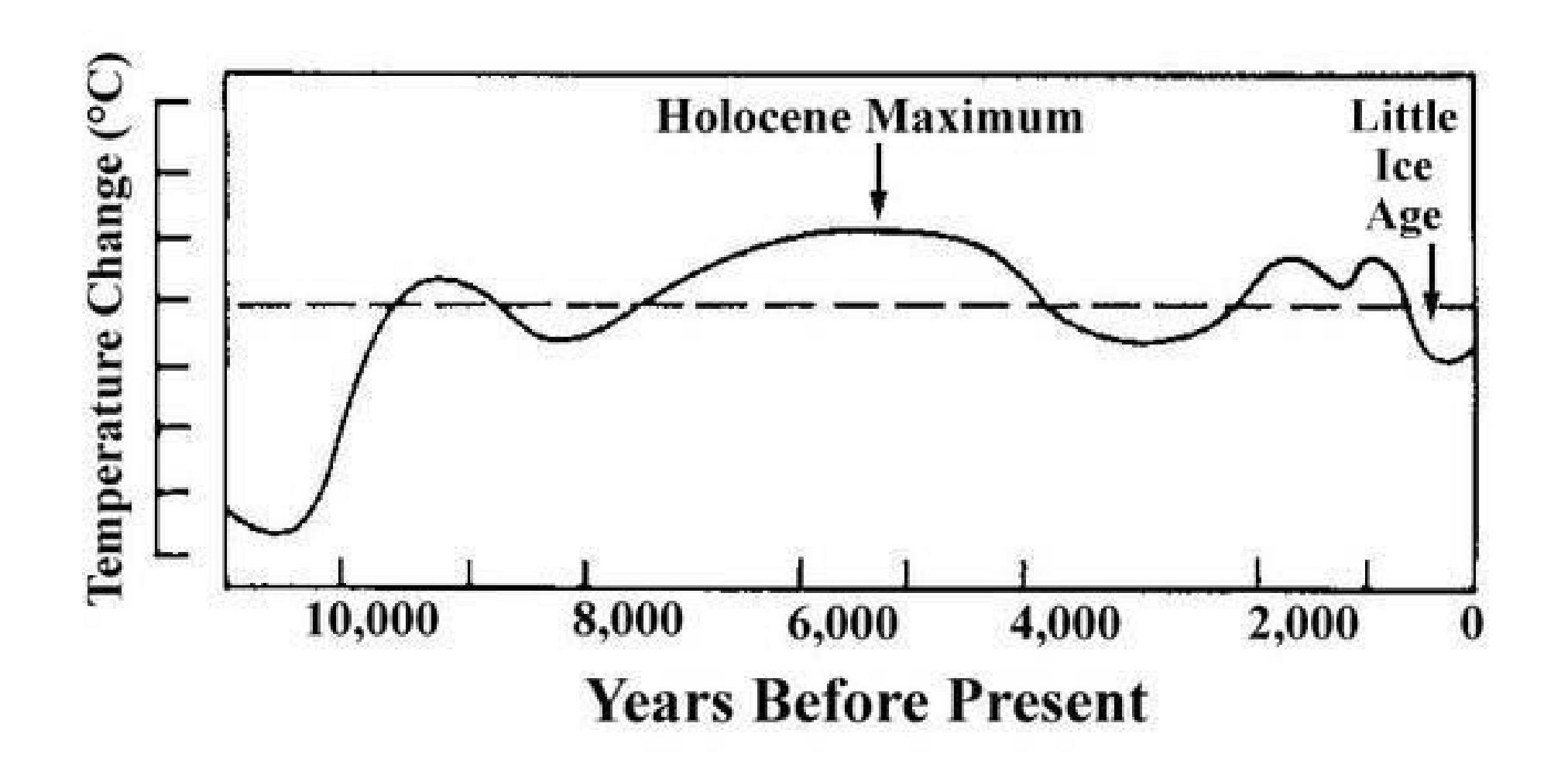




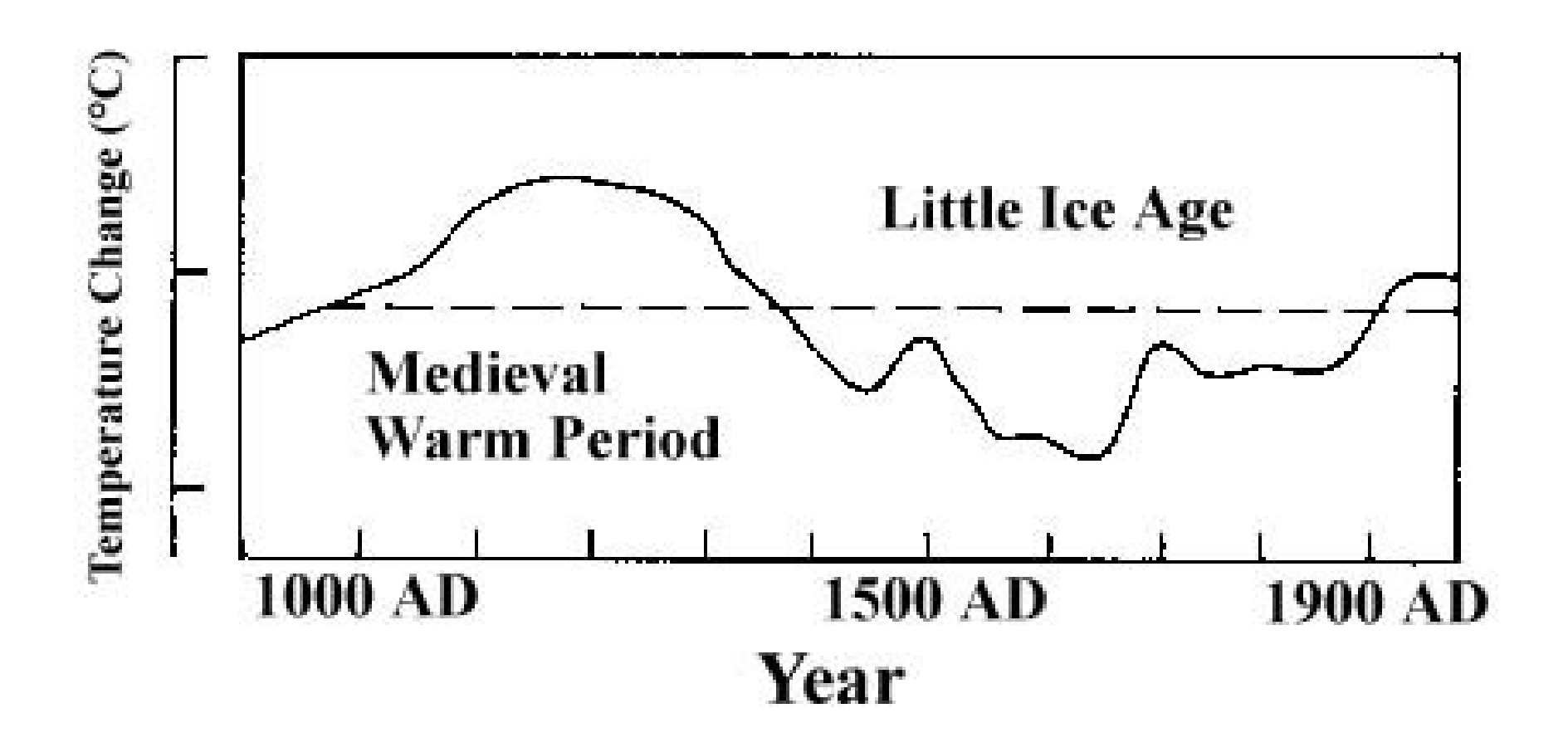




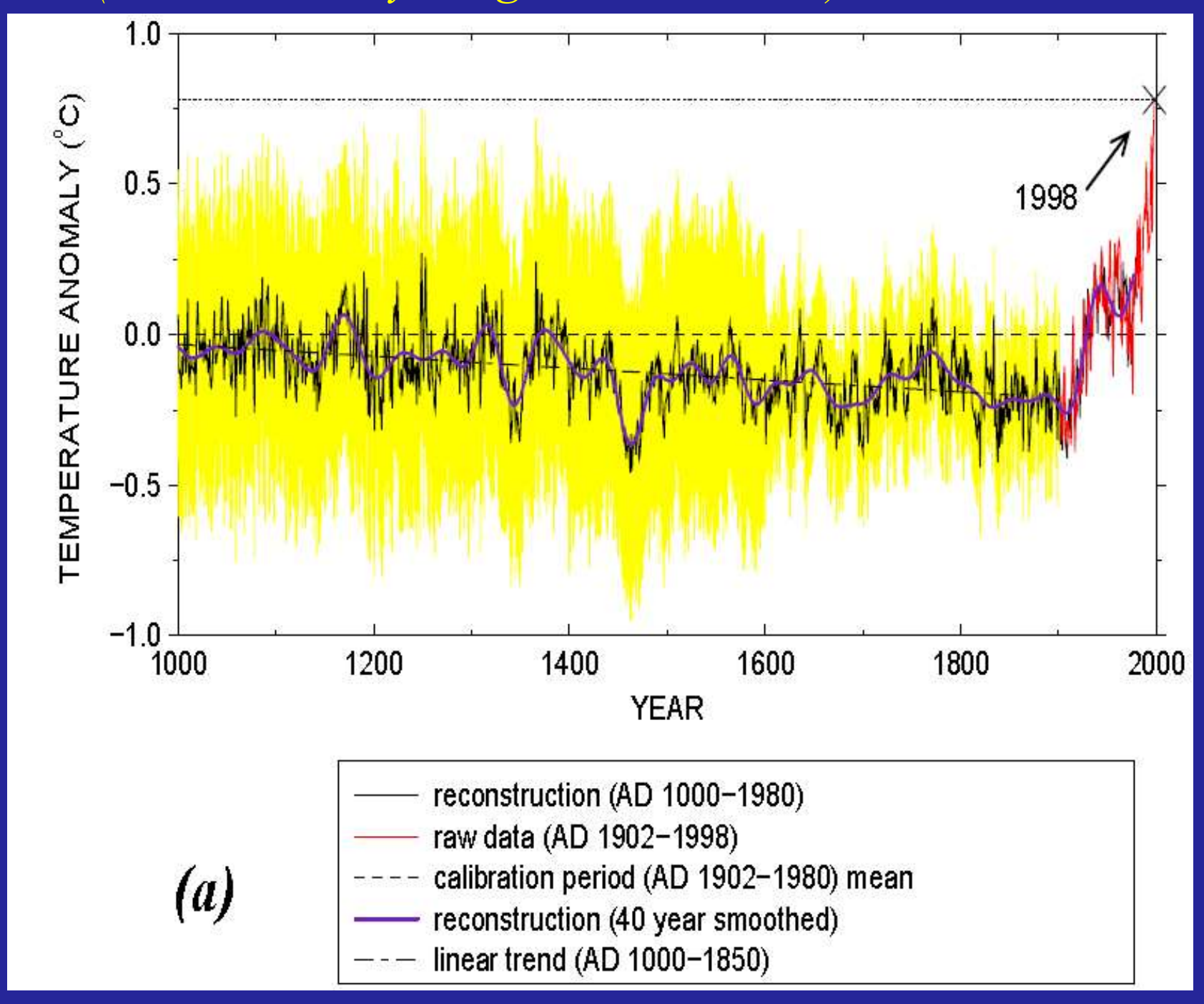
#### 10.000 ANNI



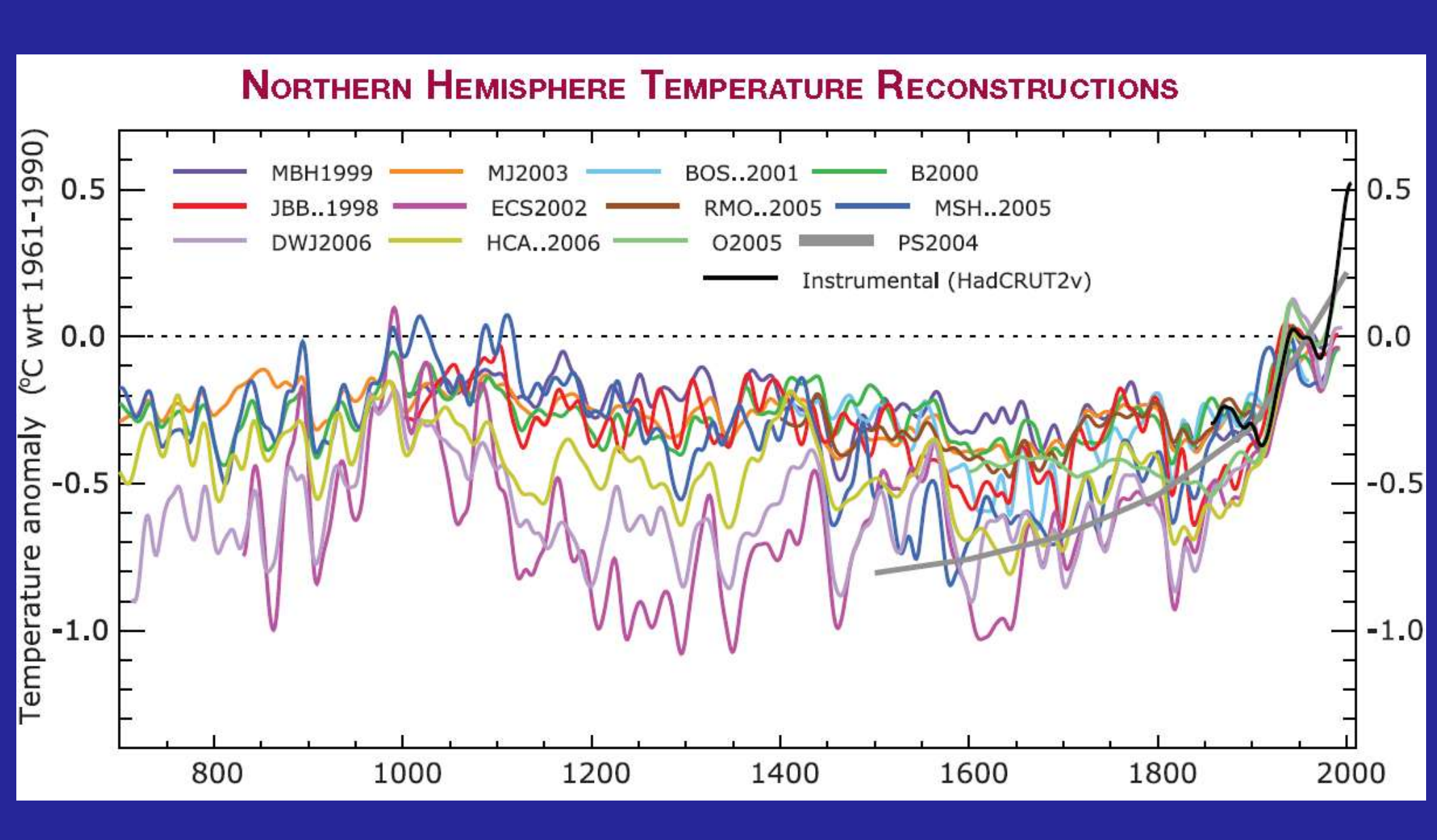
#### **1.000 ANNI**



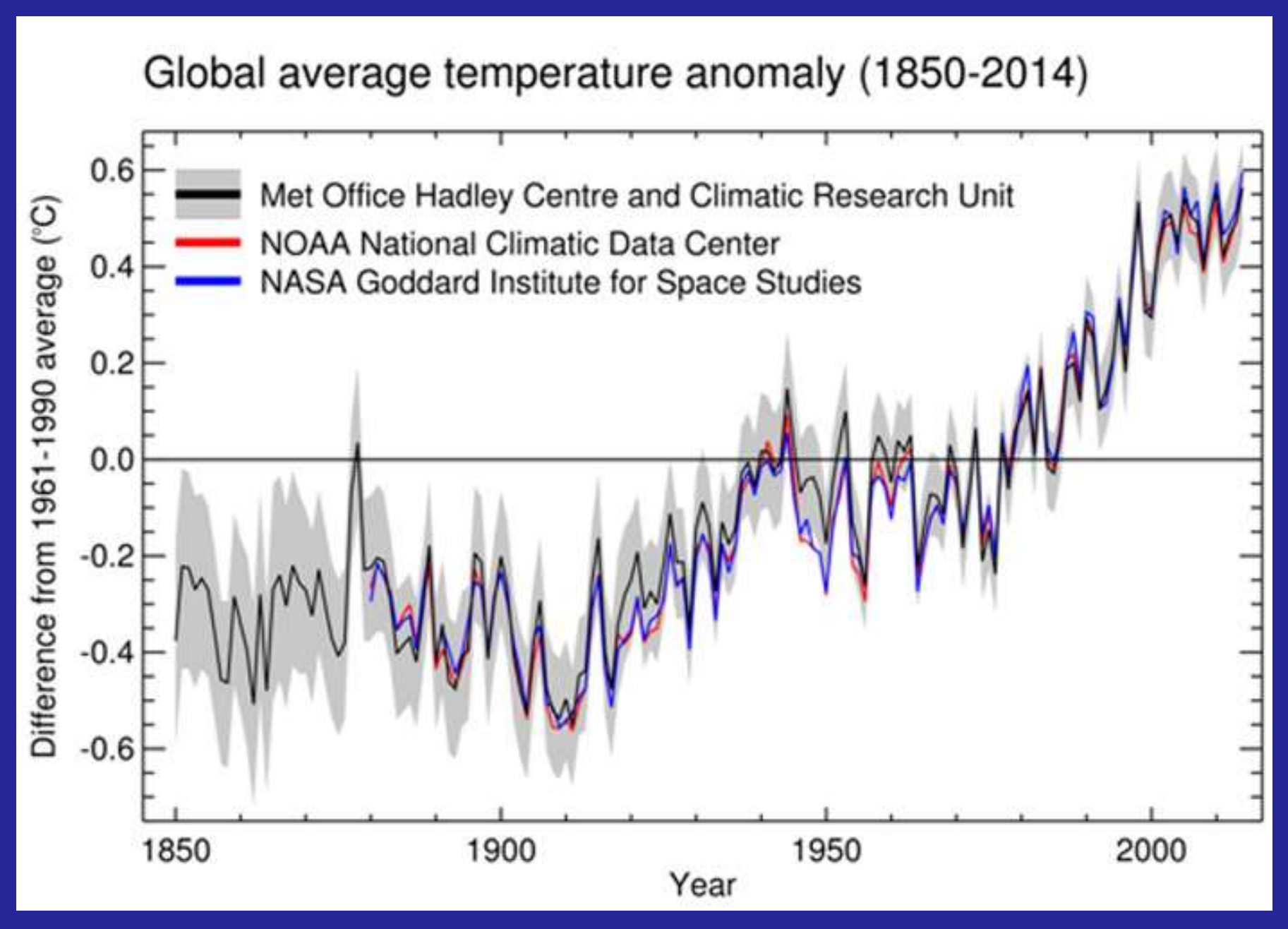
osservazione delle tendenze I hockey stick (Mann, Bradley, Hughes, JGR, 1999)



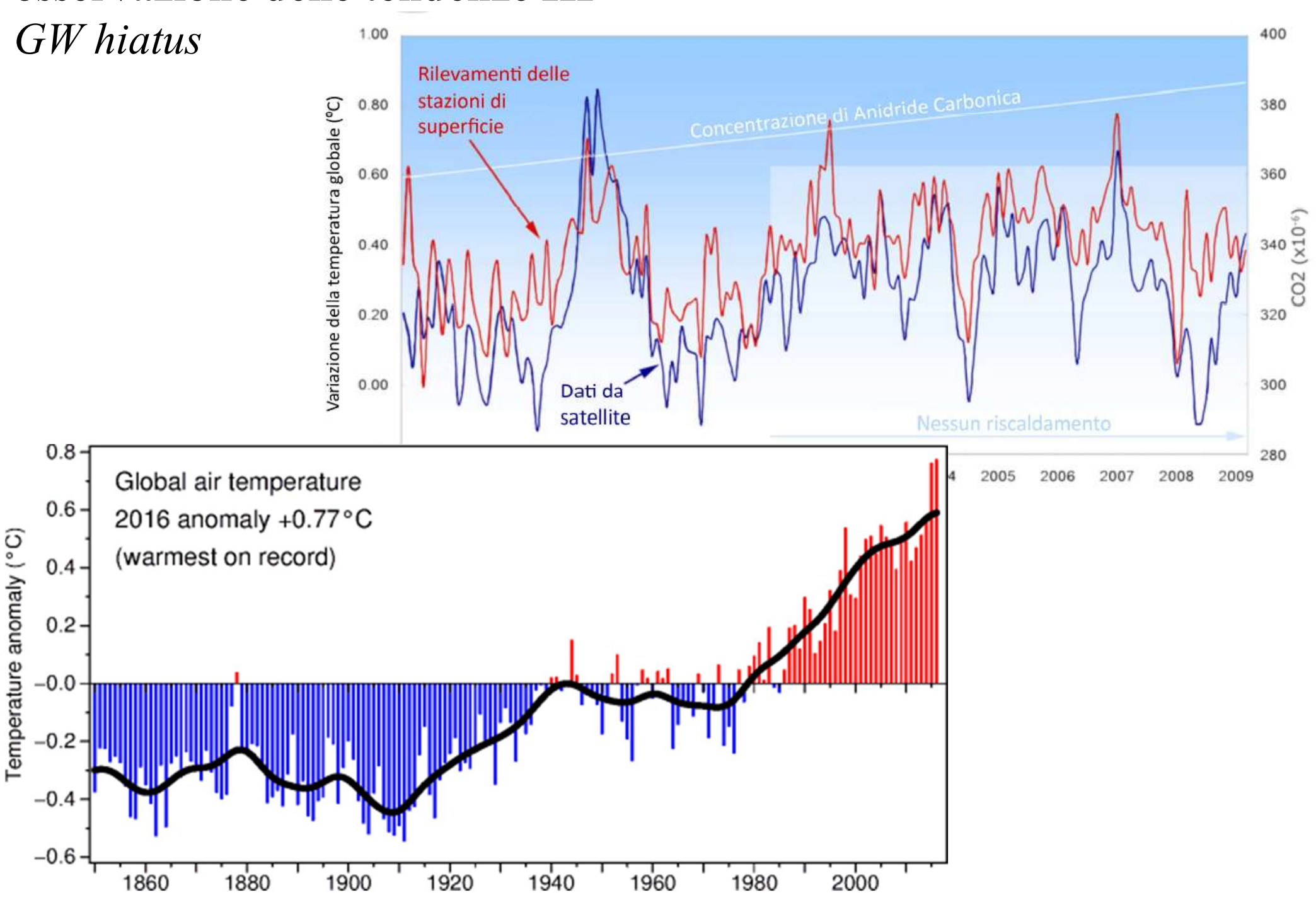
#### osservazione delle tendenze II stime della temperatura media dell'emisfero nord



### osservazione delle tendenze III ultimi anni



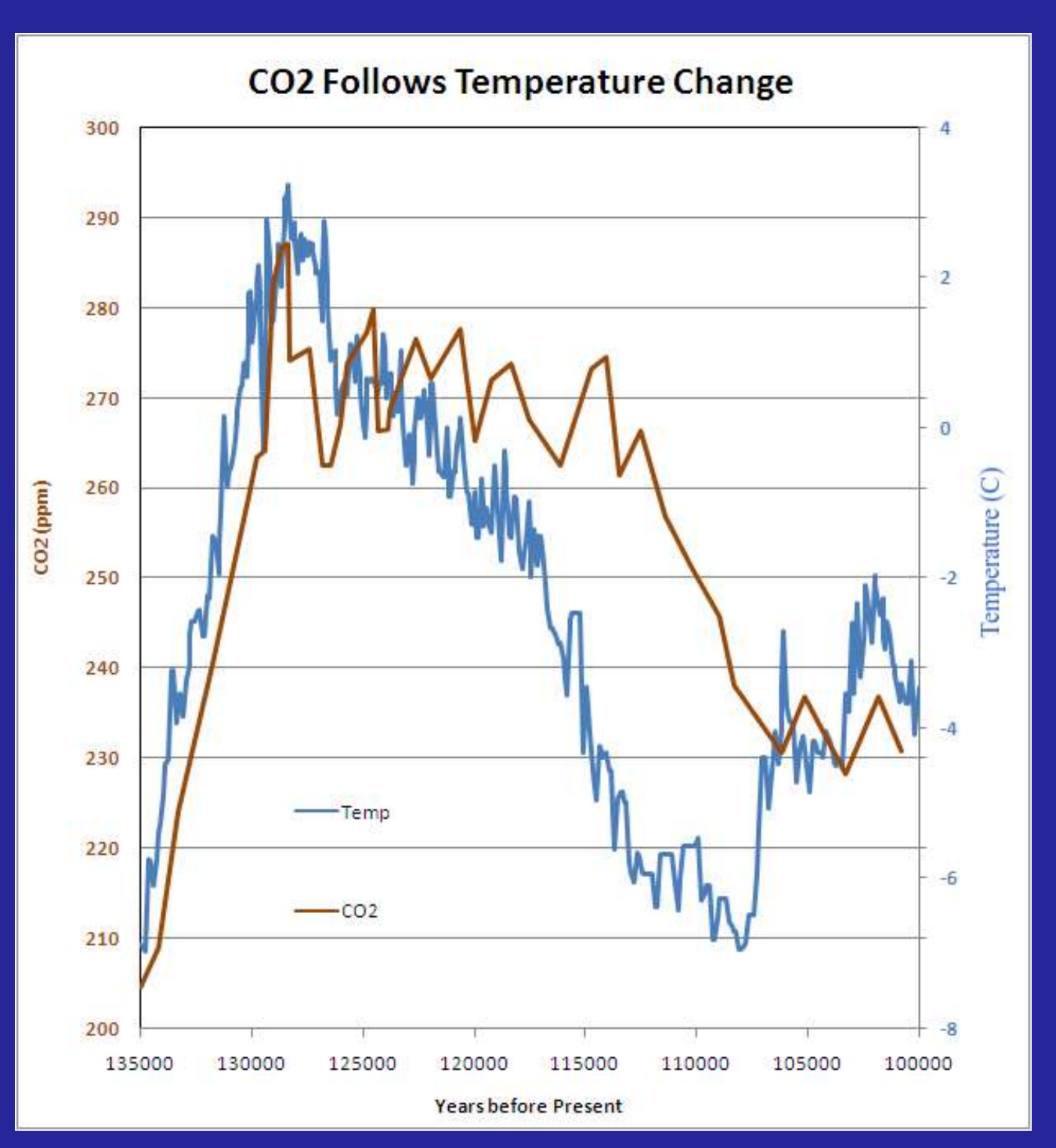
osservazione delle tendenze III



osservazione delle tendenze IV

relazione GHG/ΔT

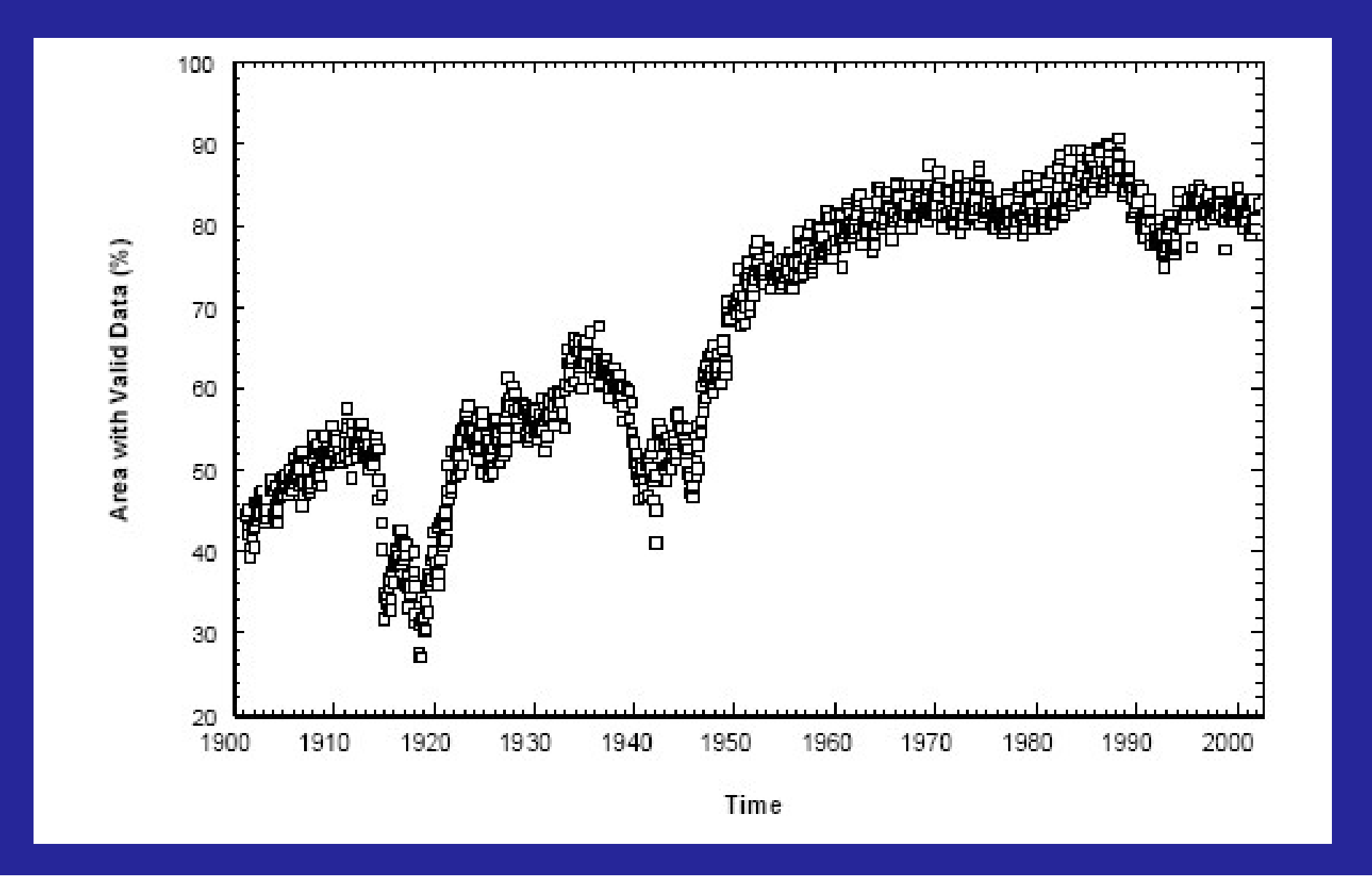
le variazioni di contenuto di  $CO_2$  seguono di circa 800 anni le variazioni della temperatura

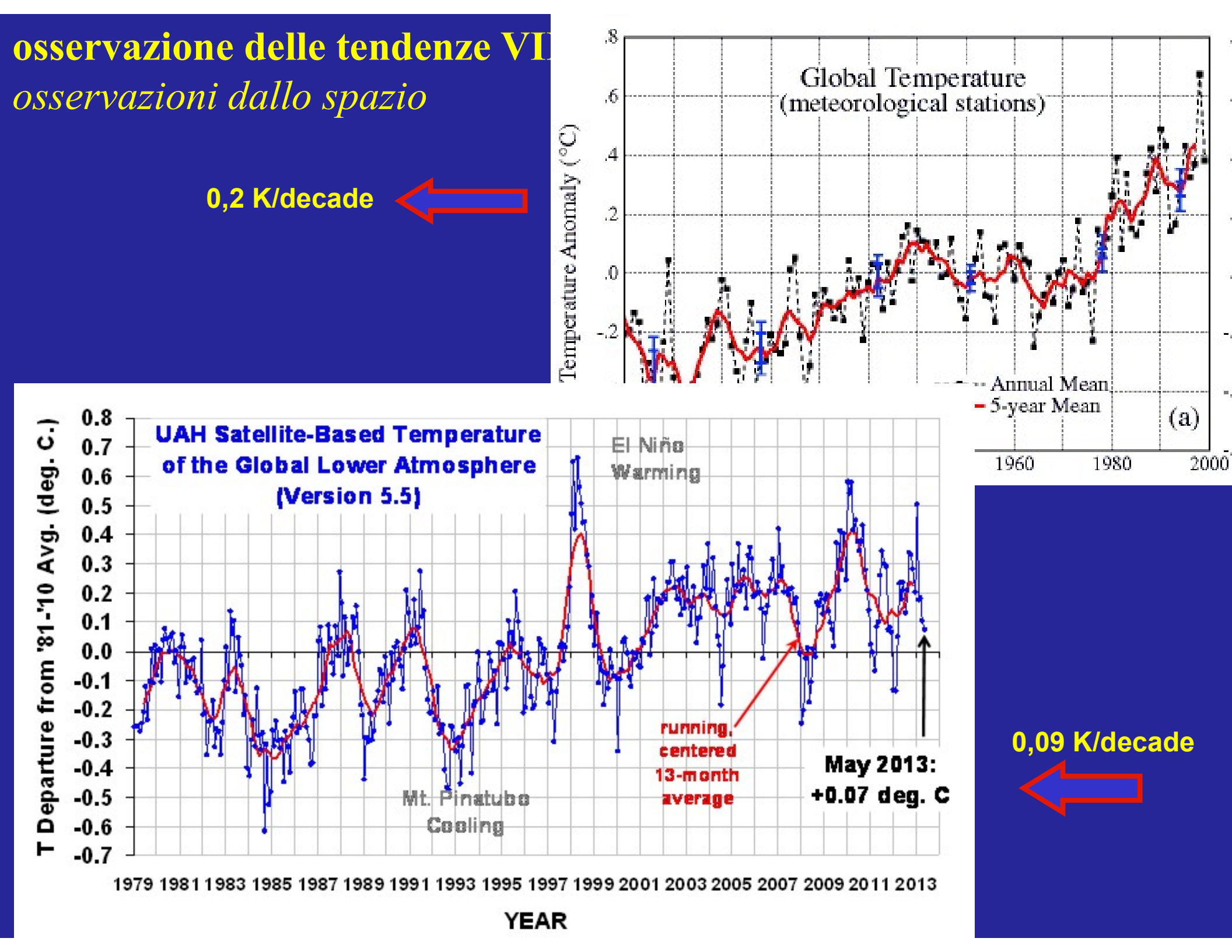


Mudelsee, 2001

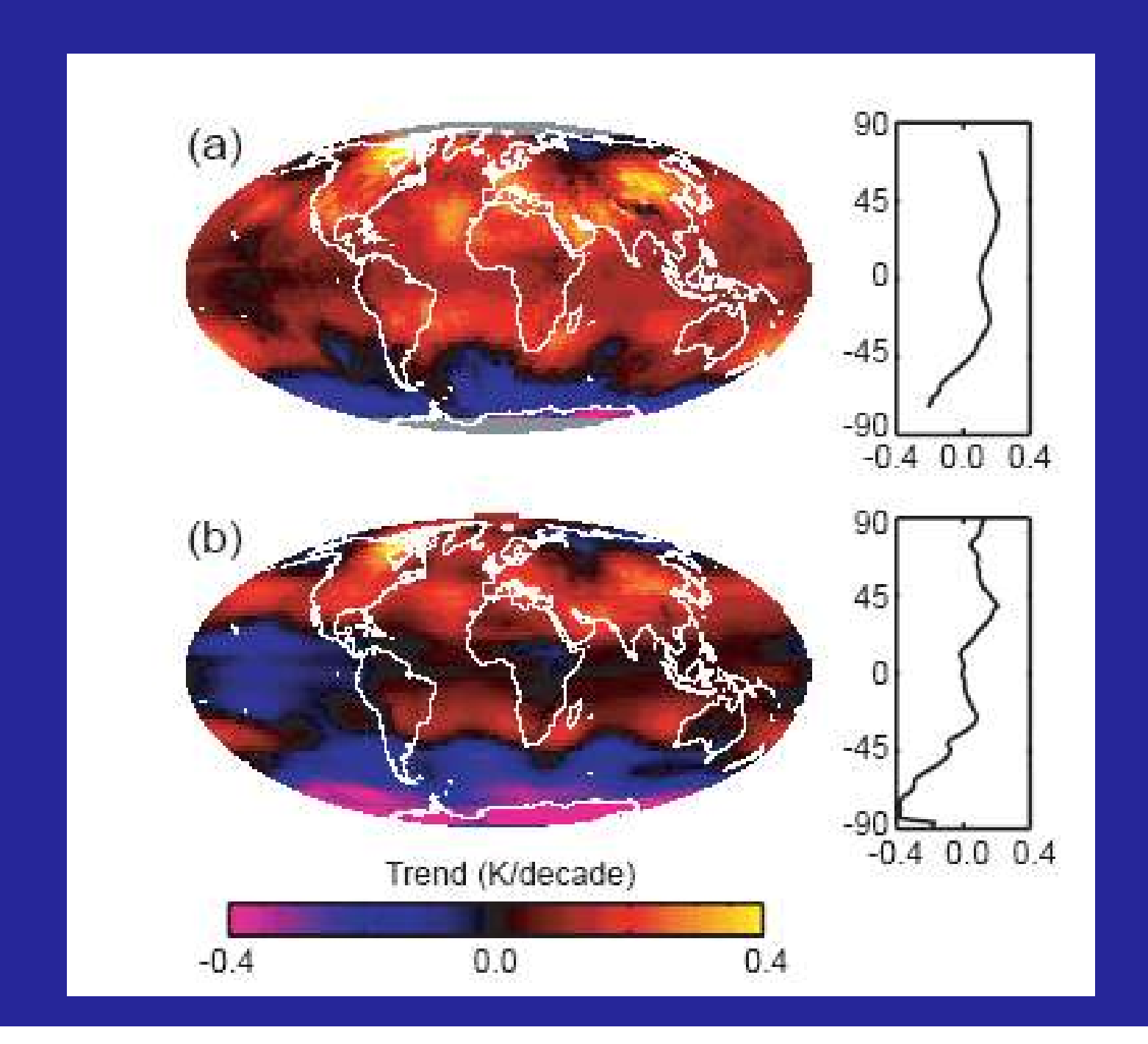
#### osservazione delle tendenze V copertura globale dei sensori

### la frazione di superficie globale monitorata varia 5°×5° ~ 550×400 km²

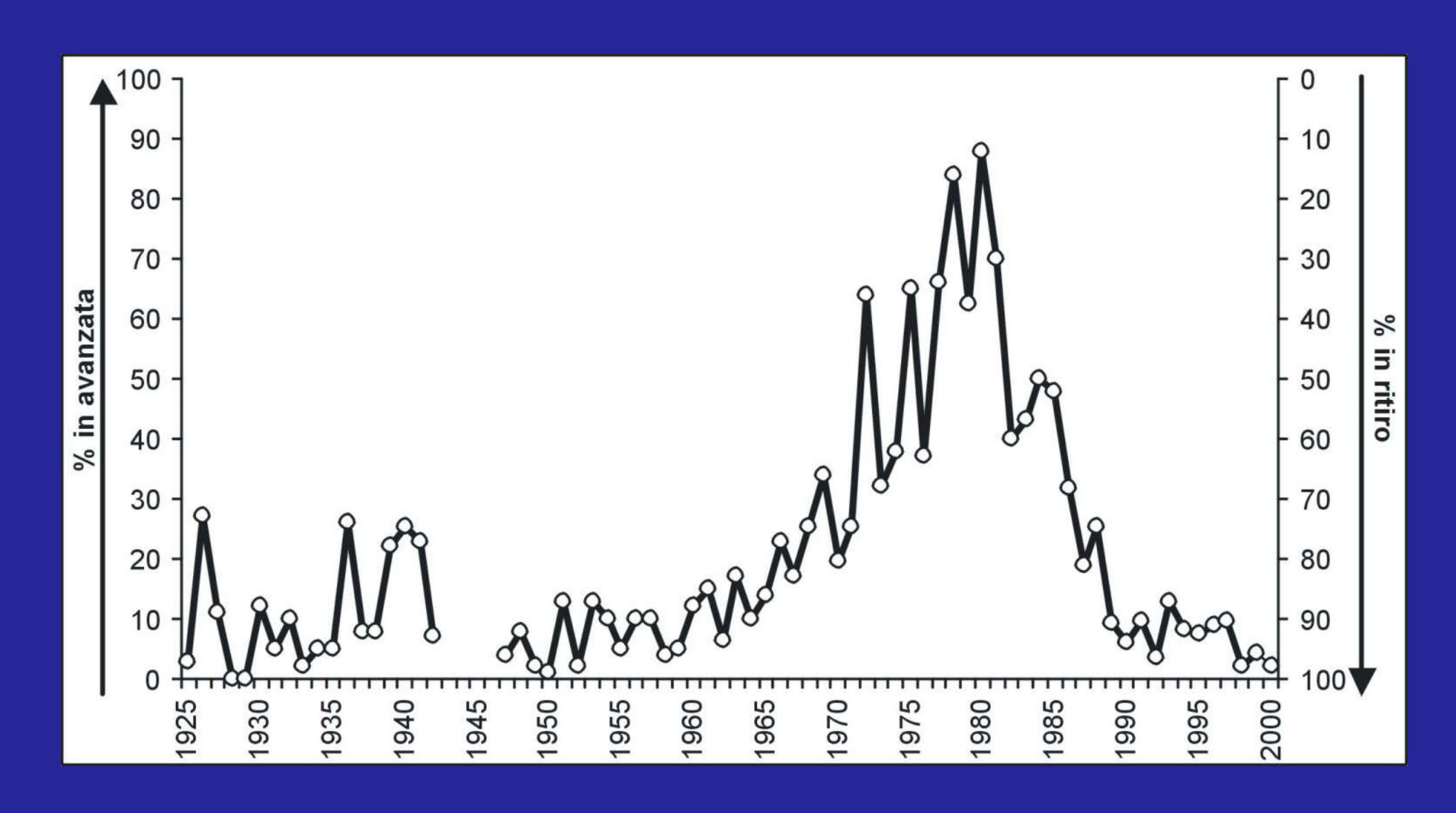




#### osservazione delle tendenze VIII Microwave Sounding Unit (MSU)

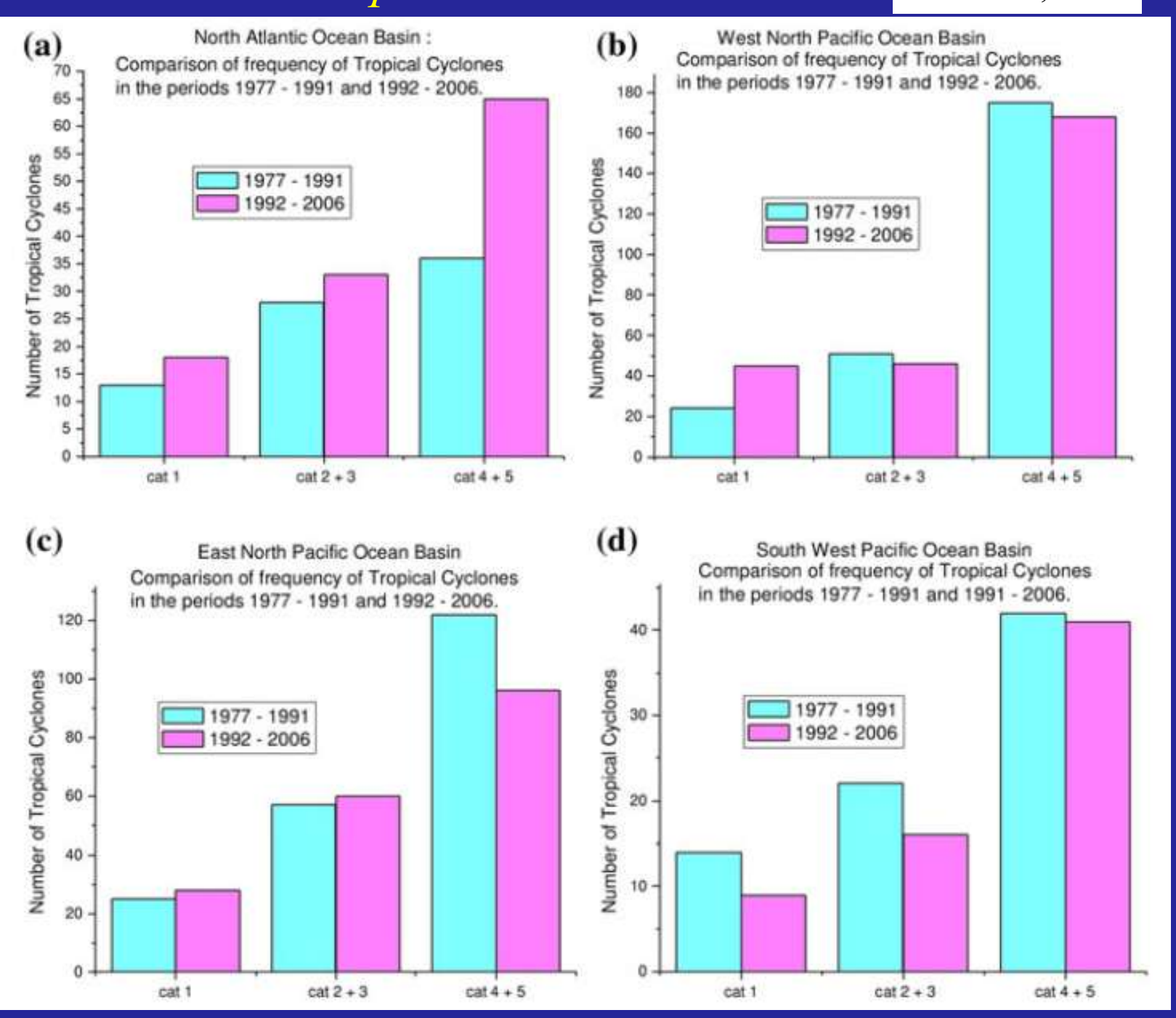


# osservazione delle tendenze IX ritiro dei ghiacciai



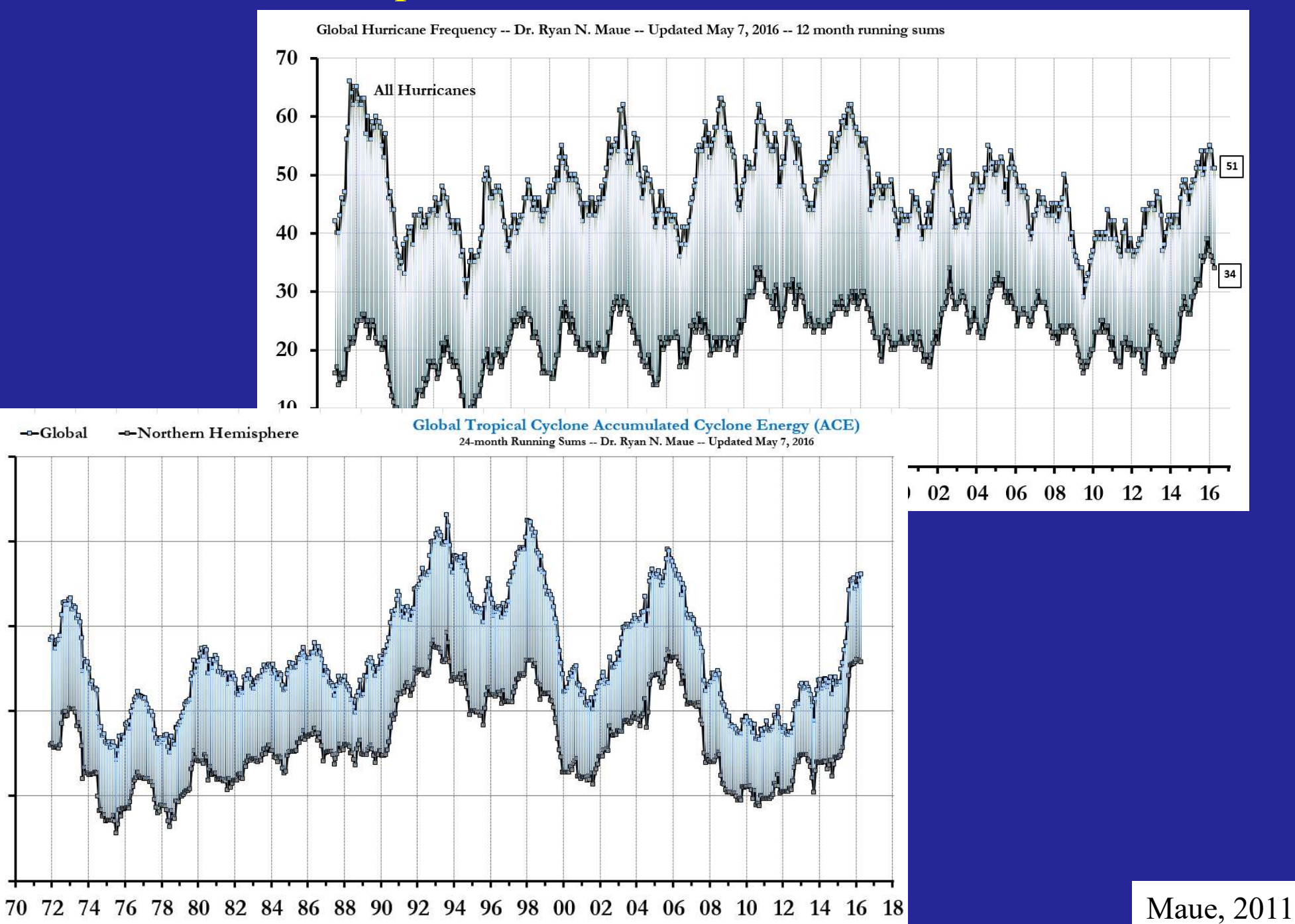
### osservazione delle tendenze X eventi estremi: cicloni tropicali

Deo et al., 2011

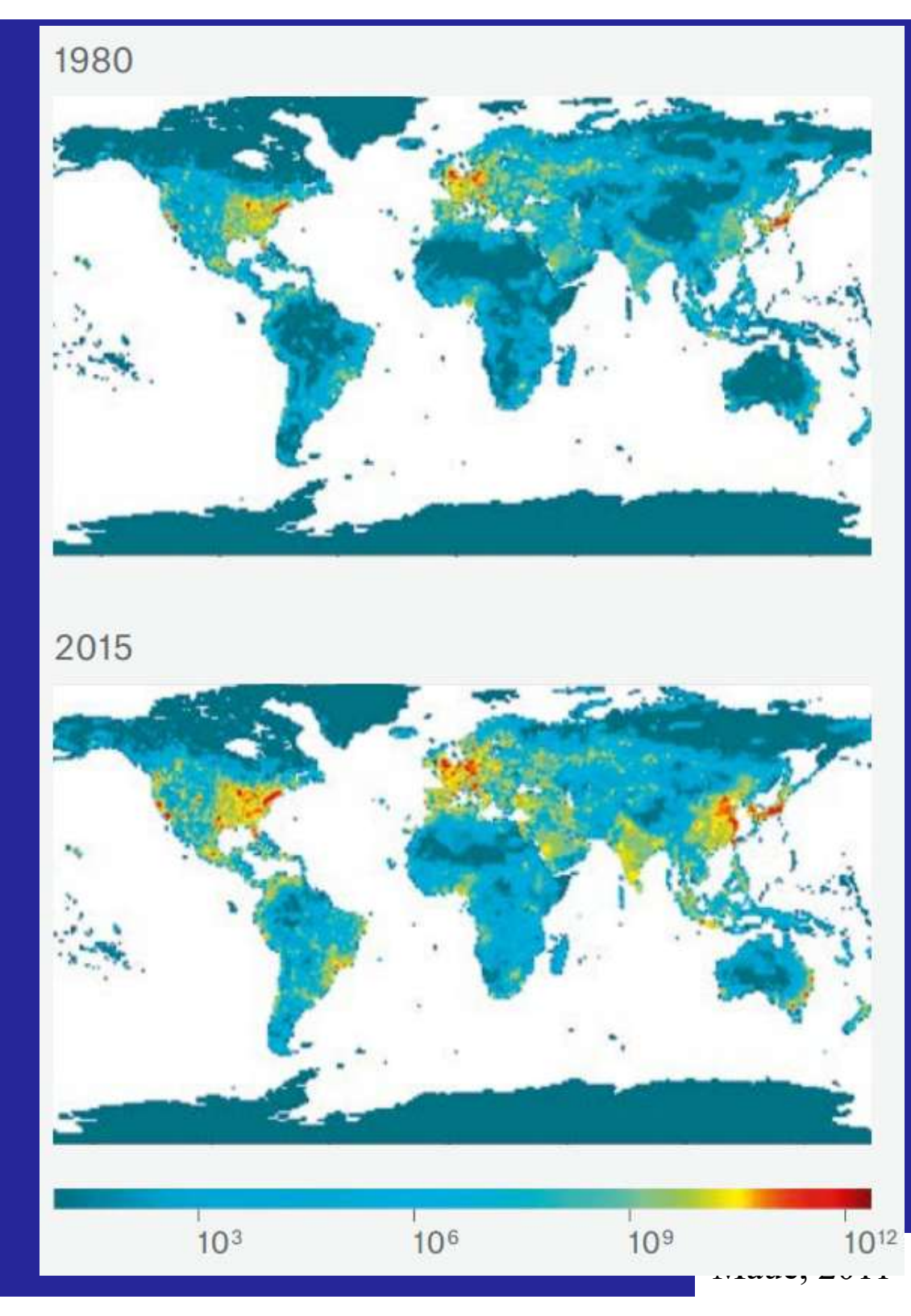


# osservazione delle tendenze X eventi estremi: cicloni tropicali

Accumulated Cyclone Energy (104 knots<sup>2</sup>)



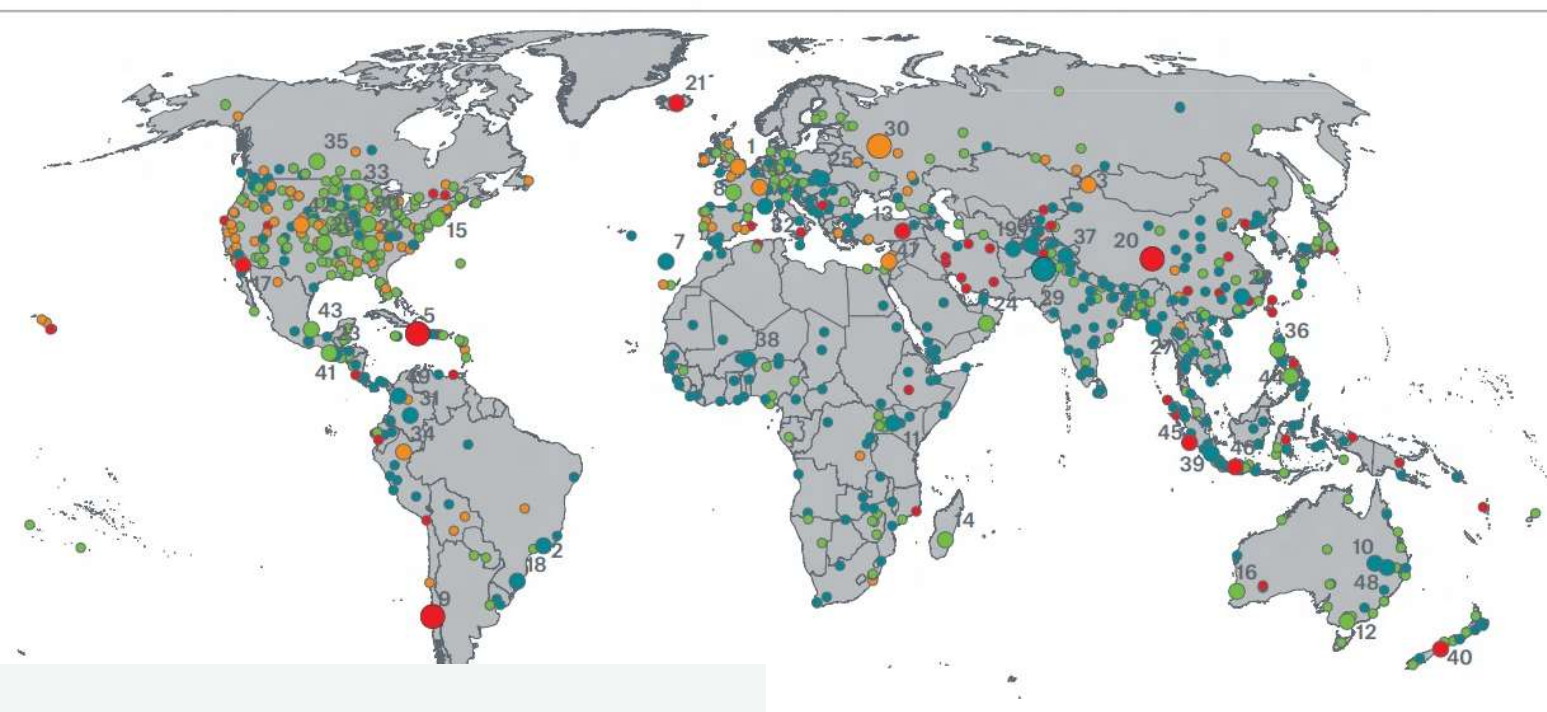
# osservazione delle tendenze eventi estremi: PIL



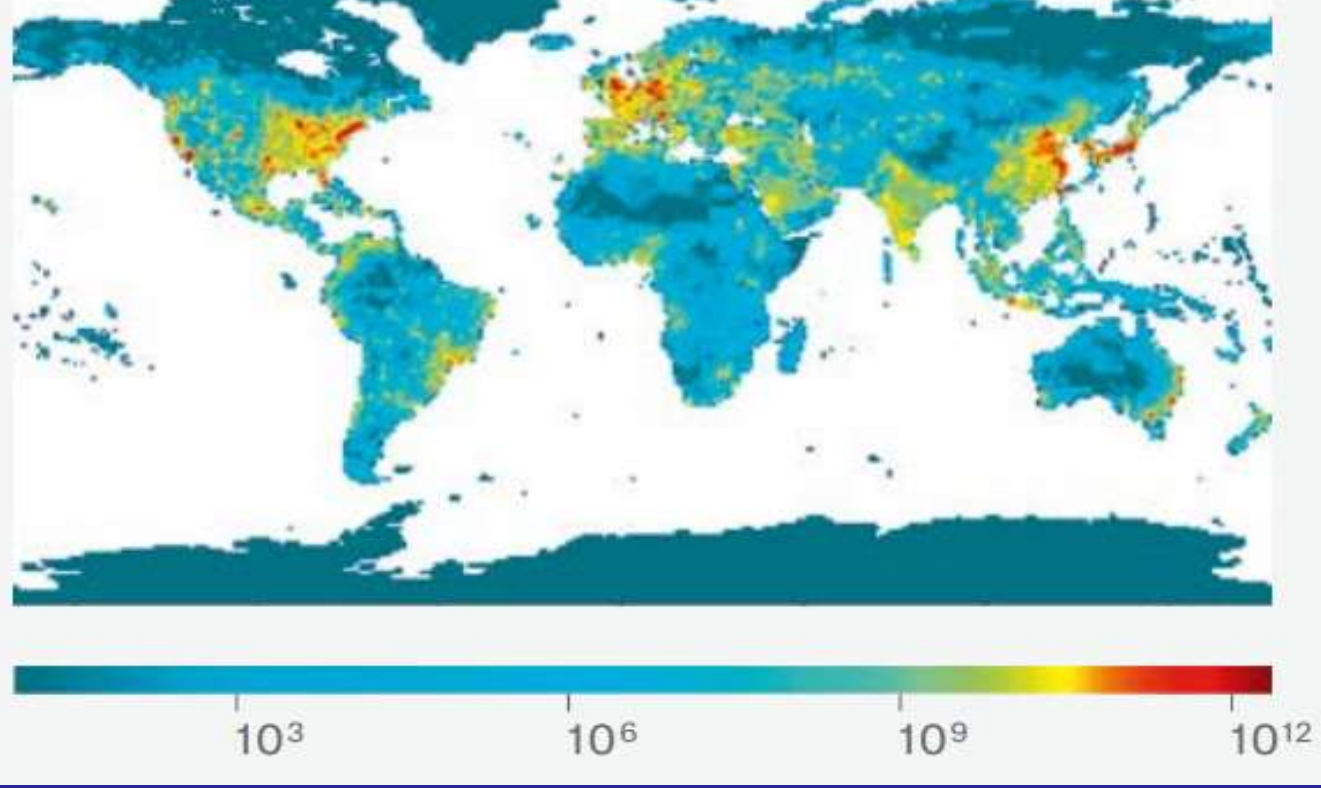


osservazione delle eventi estremi: dani



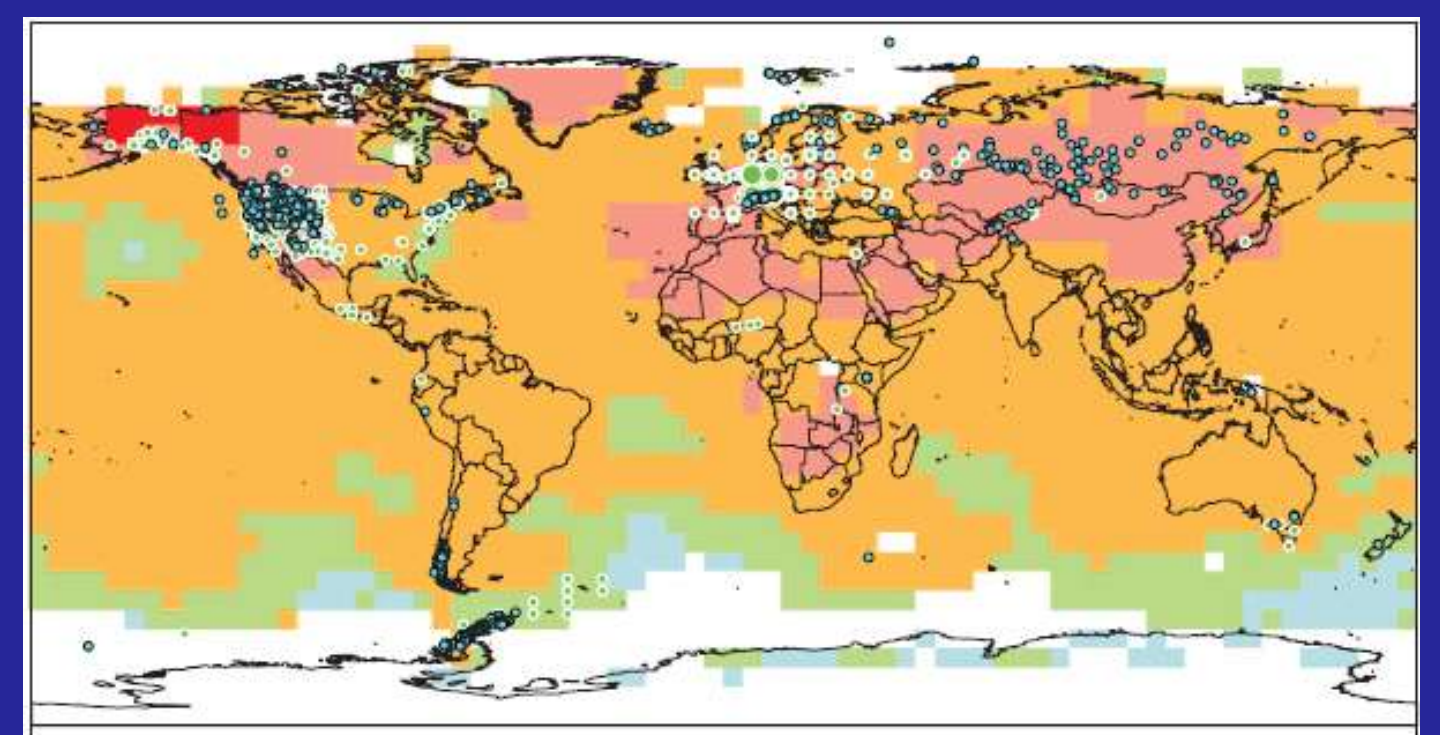






#### osservazione delle tendenze XI

impatto sui sistemi fisici e biologici

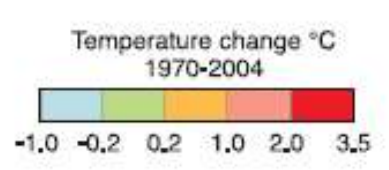


					28	,115									28	,586	
1	MAN		LA	E	UR/	AF	=A	A	S	AN	4Z	P	'A*	TE	ER /	MF	W
35	455	53	5	119	*	5	2	105	8	6	a	120	24	764	*	1	8
94	% 92%	981	6 100%	94%	89%	100%	100%	96%	100%	100%	-	91%	100%	94%	90%	100%	99

Observed data series

- Physical systems (snow, ice and frozen ground; hydrology; coastal processes).
- Biological systems (terrestrial, marine, and freshwater).

İ		Europe ***
ı	0	1-30
١	0	31-100
ı	0	101-800
ı	0	801-1,200
l	0	1,201 -7,500



Physical	Biological
Number of significant observed changes	Number of significant observed changes
Percentage of significant changes consistent with warming	Percentage of significant dranges consistent with warning

28,671

GLO

- \* Polar regions include also observed changes in marine and freshwater biological systems.
- \*\* Marine and freshwater includes observed changes at sites and large areas in oceans, small islands and continents. Locations of large-area marine changes are not shown on the map.
- \*\*\* Circles in Europe represent 1 to 7,500 data series.

sistemi dinamici, non linearità, caos;

componenti e caratteristiche del sistema climatico terrestre;

un approccio osservativo.

Il sistema climatico è un sistema complesso;

non esiste una definizione univoca e generale di sistema complesso;

definiamo allora un sistema <u>non</u> complesso: sistema semplice o lineare o riducibile.

<u>sistema</u>: insieme di elementi che interagiscono tra loro con un obiettivo seguendo proprie regole

<u>linearità</u>: l'effetto è proporzionale alla causa

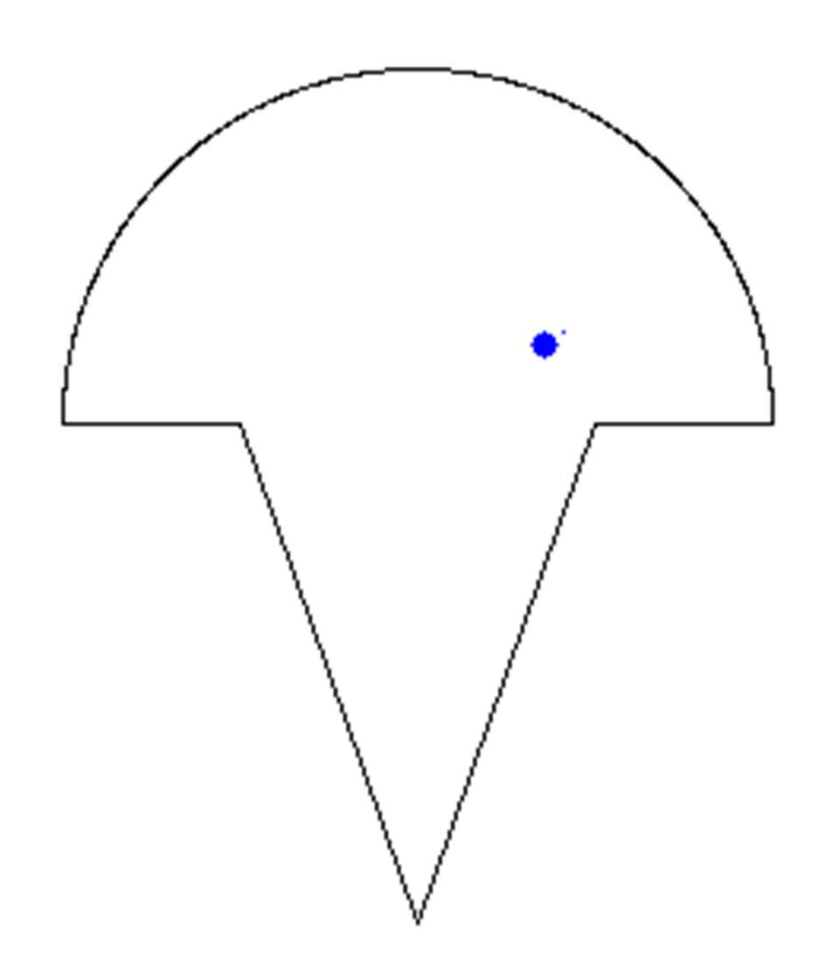
<u>riduzionismo</u>: il sistema può essere compreso studiando separatamente le parti di cui è composto

caratteristiche di un sistema lineare:
- i componenti interagiscono tra loro in modo lineare;
- è riducibile;
- è predicibile;
- è descritto da un numero finito di parametri.

caratteristiche di un sistema <u>non</u> lineare:

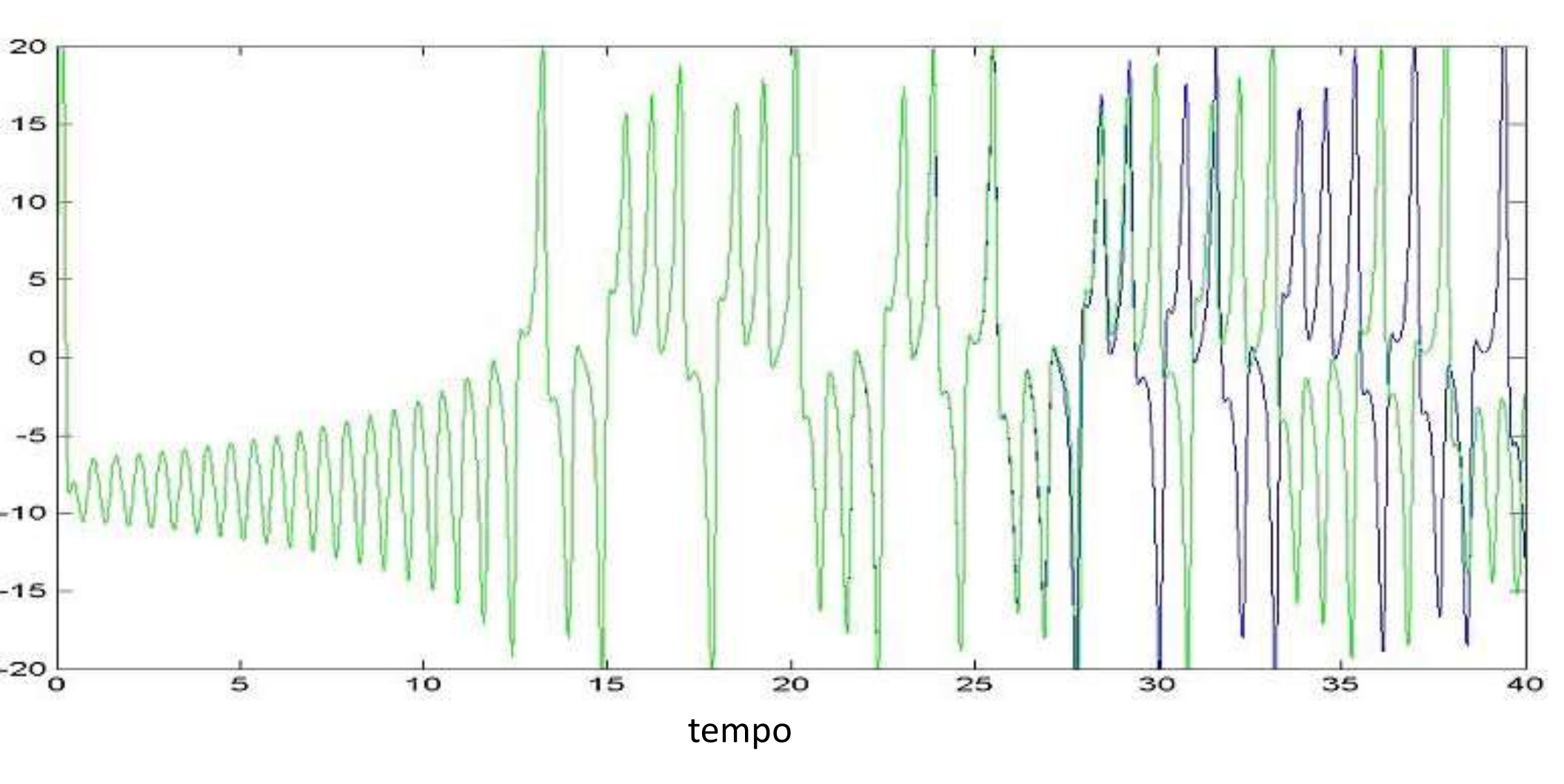
- -non è possibile riconoscere il ruolo di ogni singolo elemento in un processo (meccanismi di retroazione);
- è non predicibile (caos, <u>sensibilità alle condizioni</u> iniziali);
- piccole perturbazioni possono dare grandi risposte e viceversa;
- fenomeni di <u>auto-organizzazione</u> (vortici, convezione).

Biliardo sensibilità alle condizioni iniziali ( $\Delta \phi$  = 0.5%)



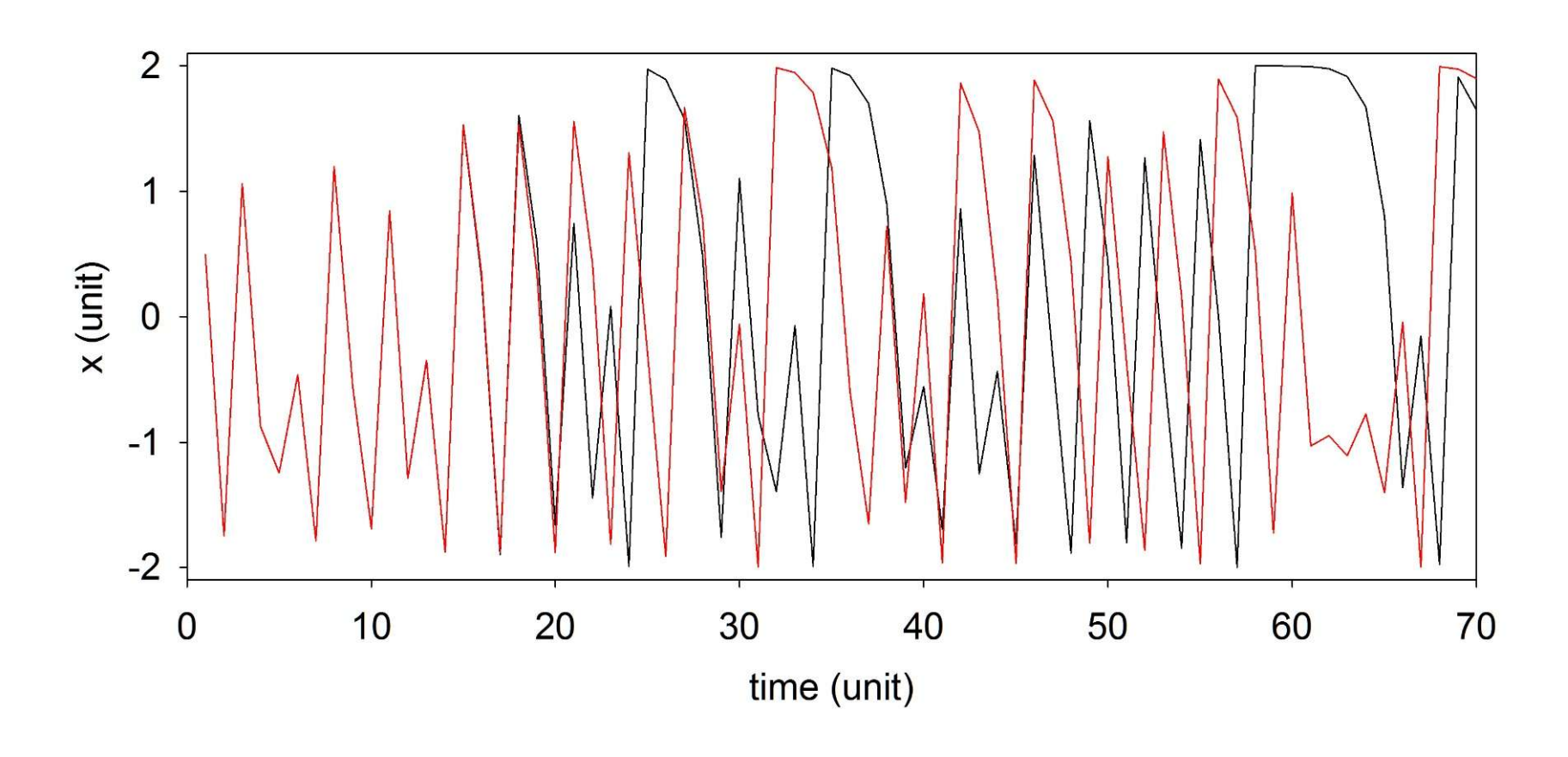
#### Sistema di Lorenz

$$\dot{x} = o(y - x)$$
  $x_{(t=0)} = 8$   $x_{(t=0)} = 8$   $y = rx - y - xz$   $y_{(t=0)} = 1$   $y_{(t=0)} = 1$   $z_{(t=0)} = 1$   $z_{(t=0)} = 1$ 

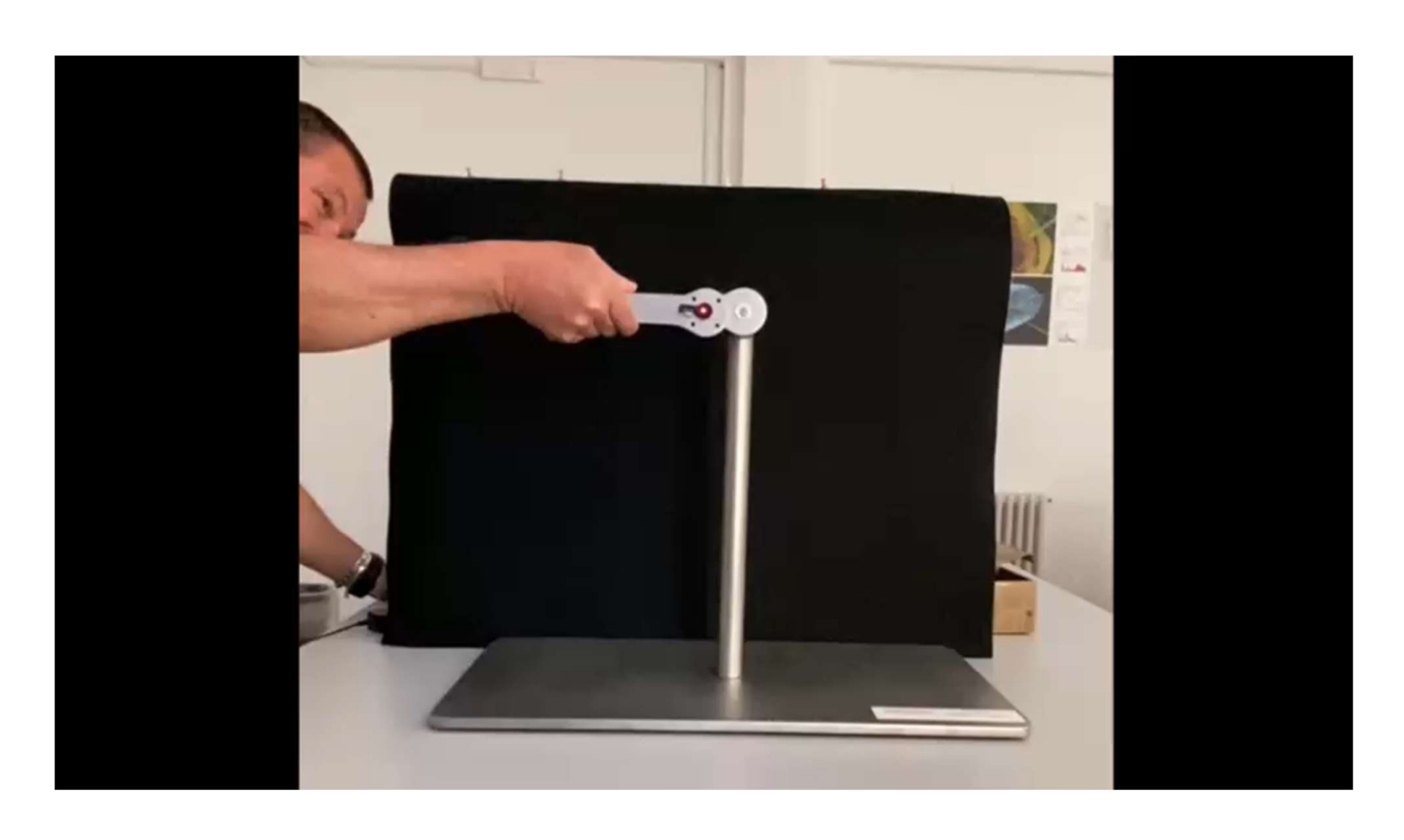


http://www.ace.gatech.edu/experiments2/2413/lorenz/fall02/

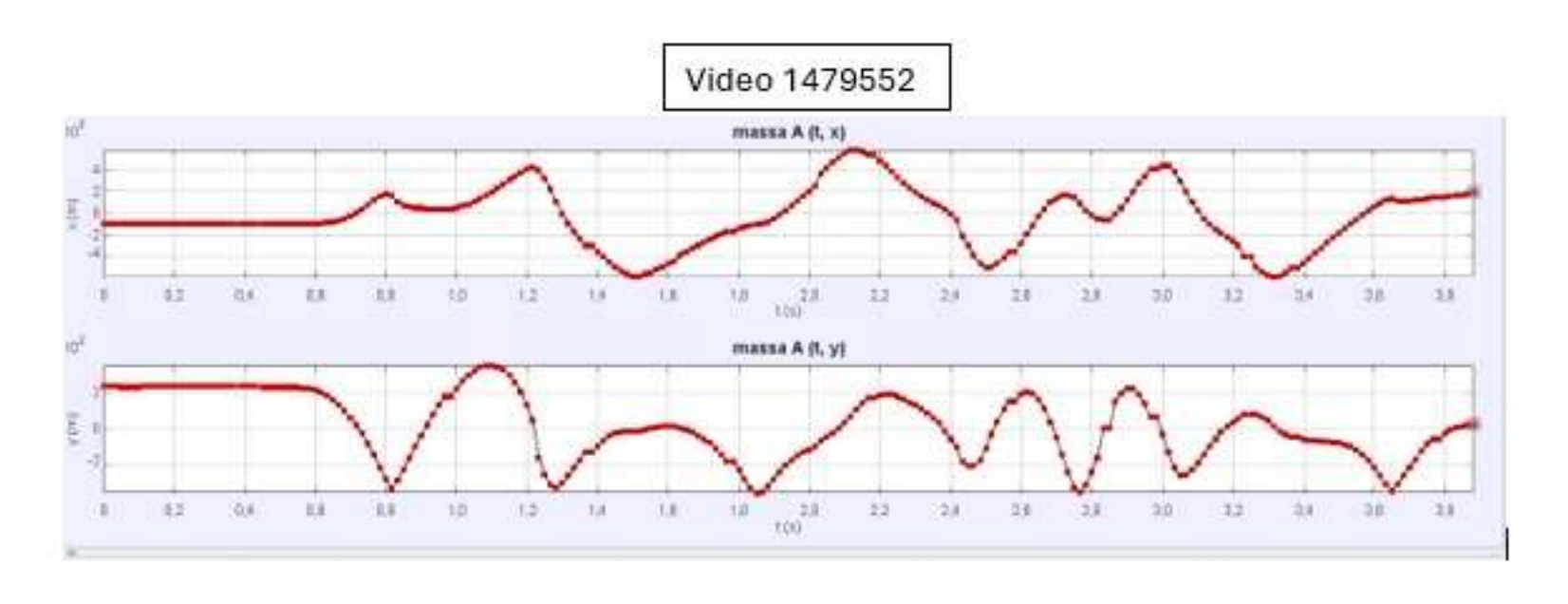
$$\mathbf{x}_{t} = \mathbf{x}_{t-1}^{2} - 2$$
 $\mathbf{x}_{o} = 0.500000$ 
 $\mathbf{x}_{o}' = 0.500001$ 

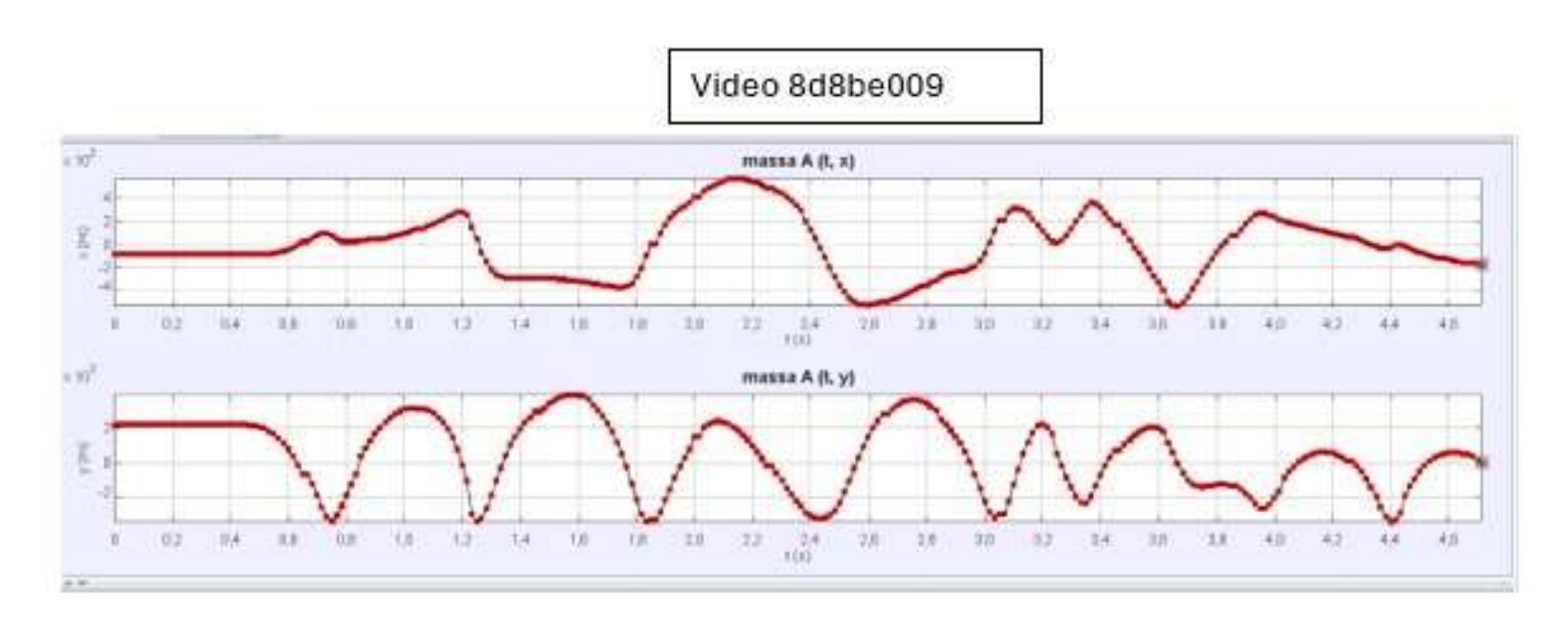


### Il pendolo doppio

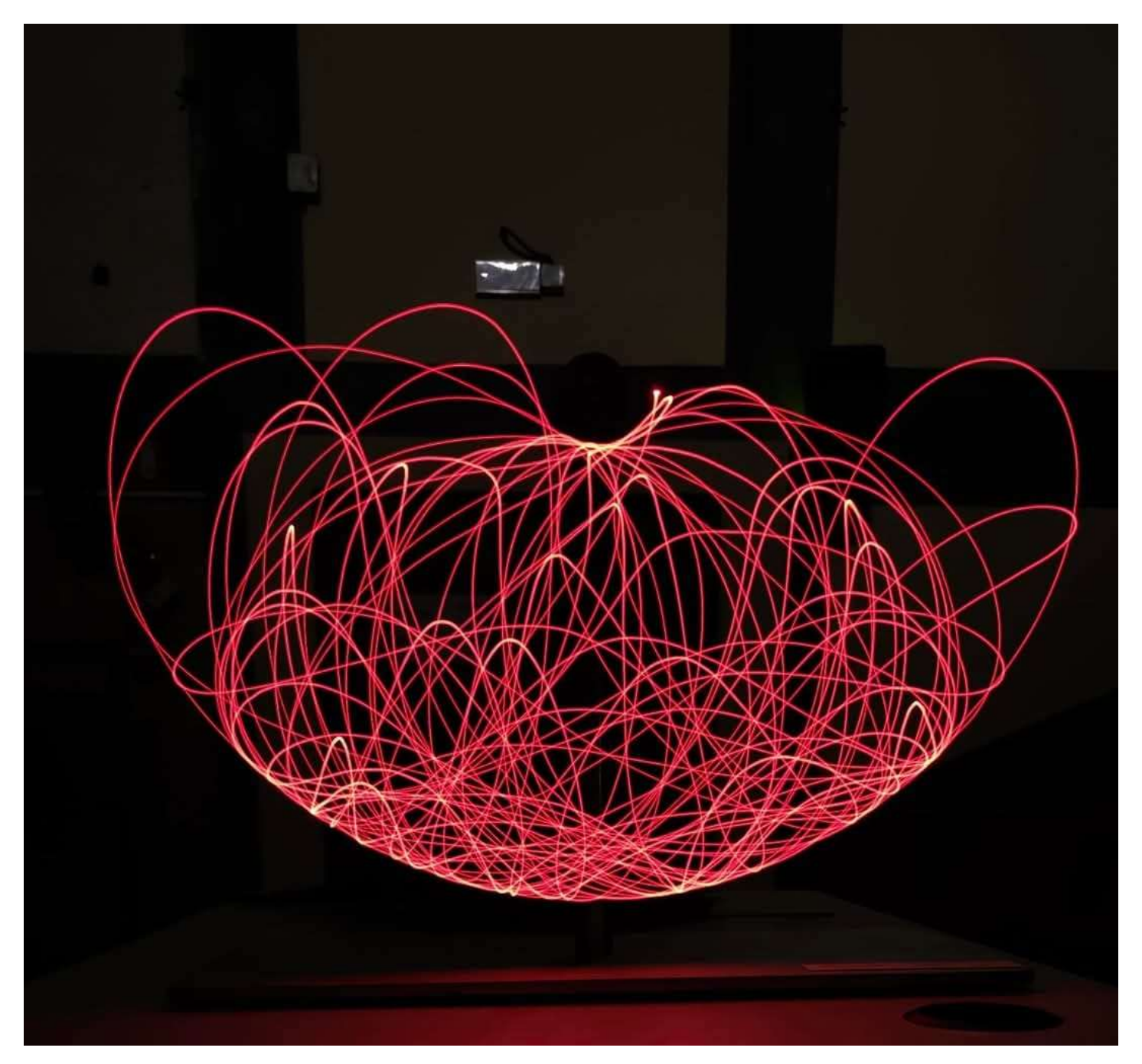


#### Il pendolo doppio

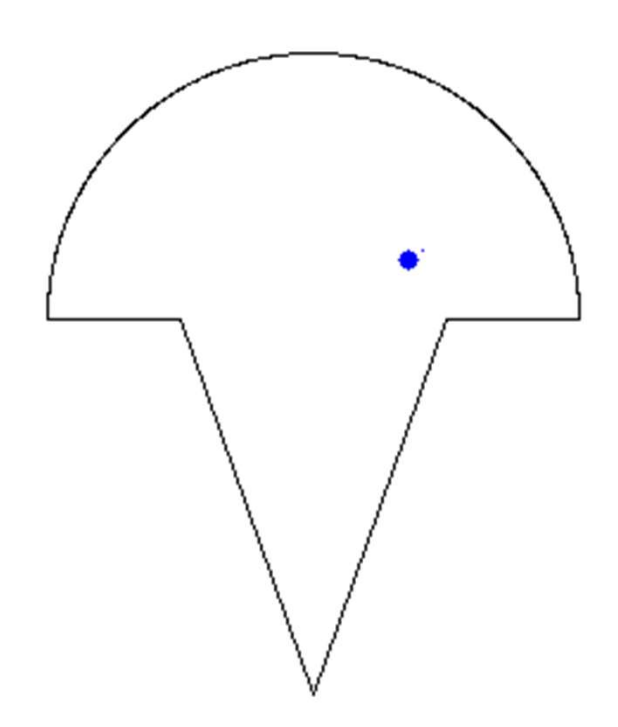




## Il pendolo doppio

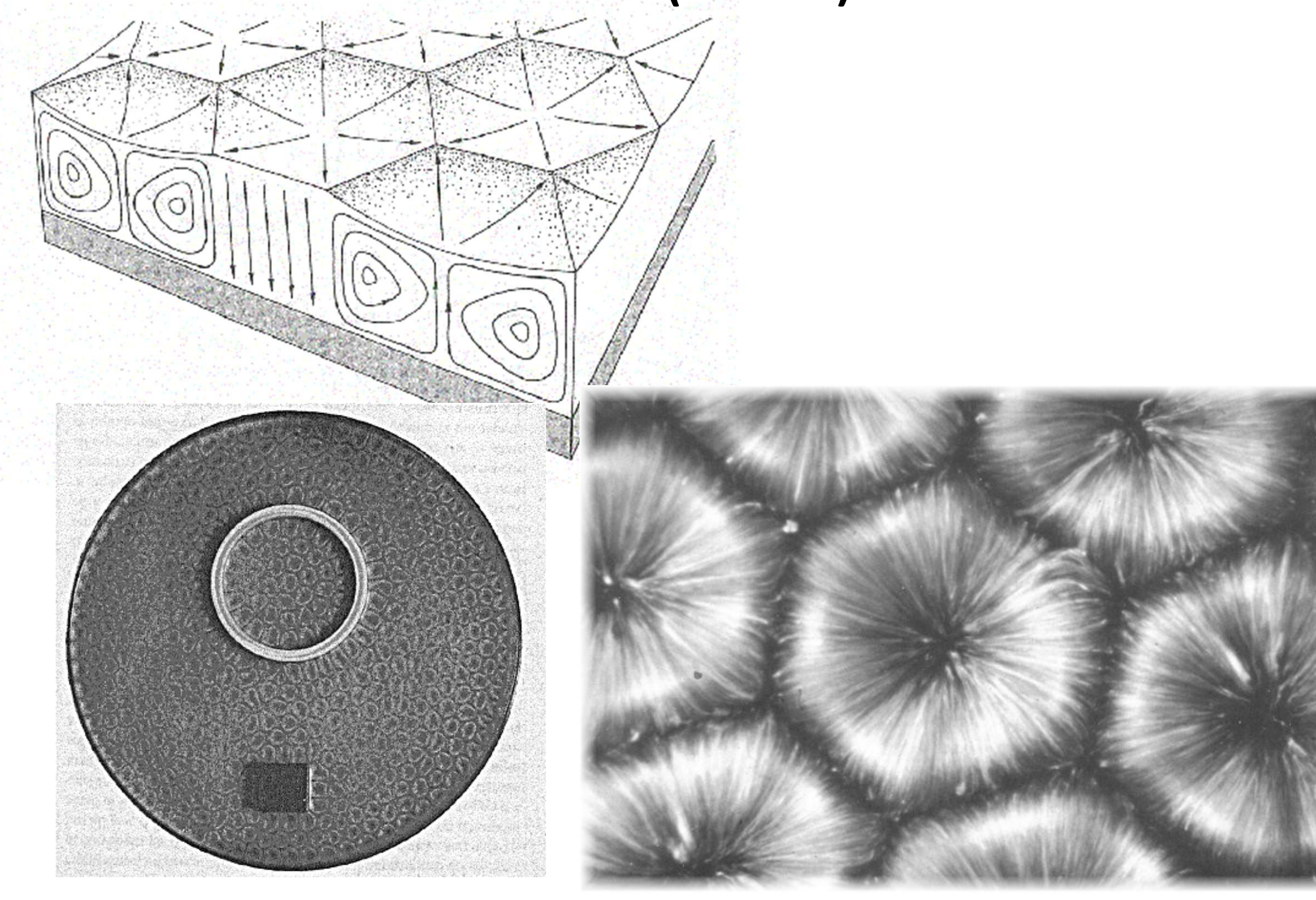


Biliardo sensibilità alle condizioni iniziali ( $\Delta \phi$  = 0.5%)

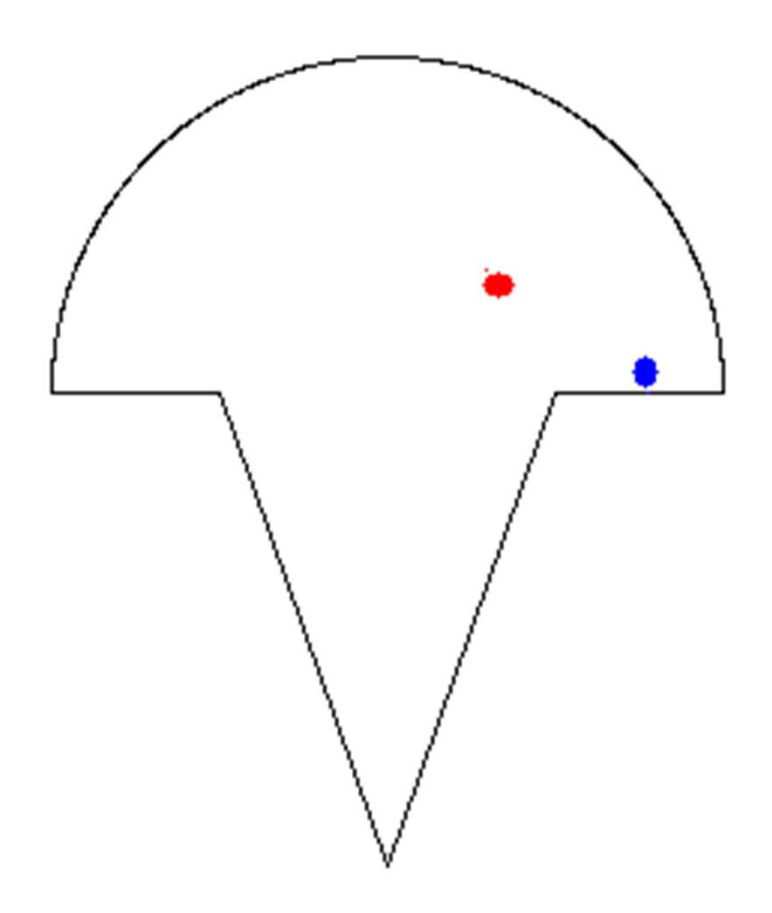


http://www.mpipks-dresden.mpg.de/mpi-doc/kantzgruppe/wiki/Visual.html

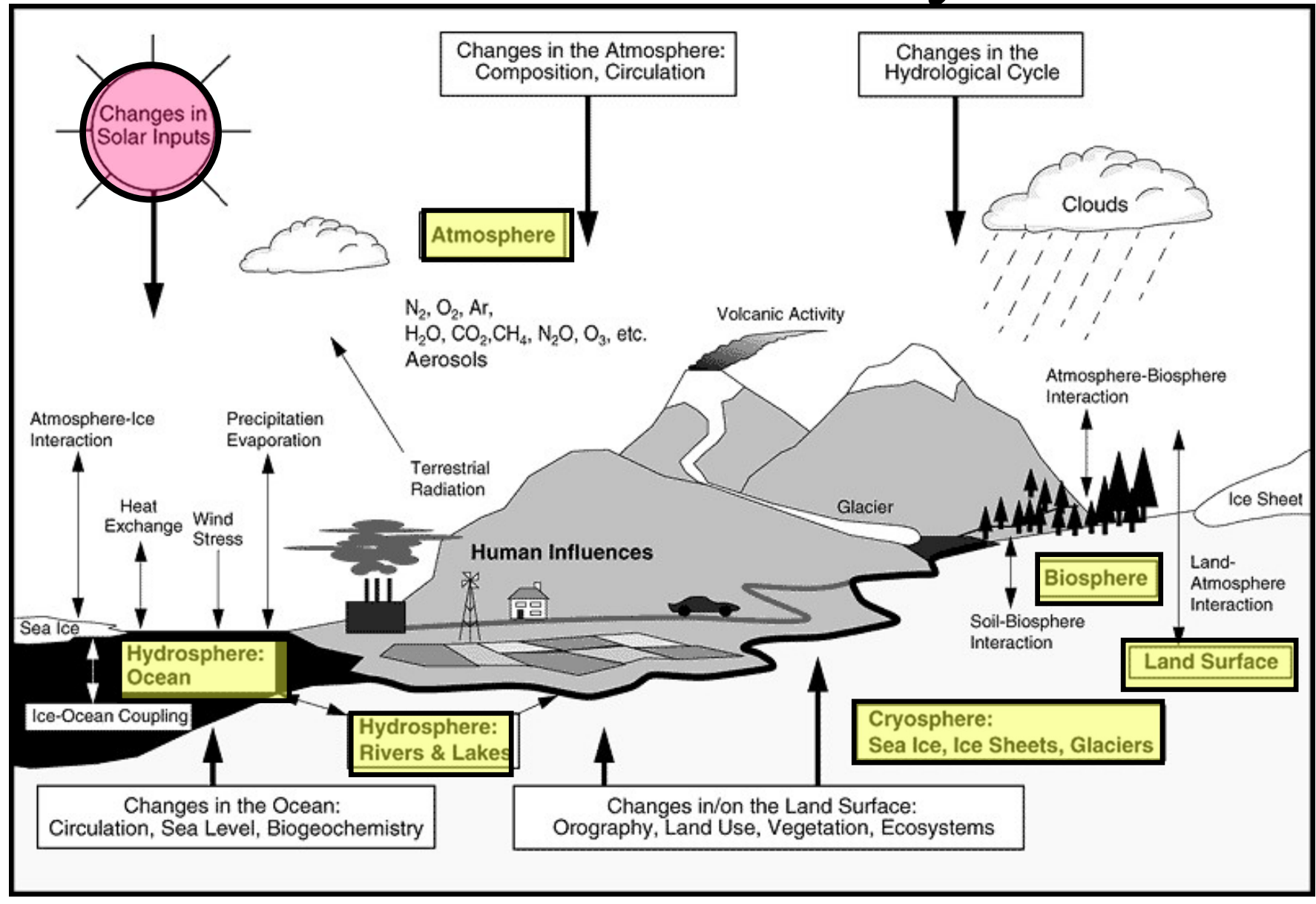
## **Convezione (Benard)**



# Biliardo ordine



## The Global Climate System



#### caratteristiche del sistema climatico:

- diversi sottosistemi con:
   diversi scale spazio-temporali,
   diverse metodologie di studio,
   diversi livelli di conoscenza;
- 2) interazioni tra sottosistemi: difficilmente osservabili, poco studiate,
- 3) necessità di tempi "sperimentali" lunghi;
- 4) sistema caotico.

#### Pubblicità



## SECOND CYCLE DEGREE/TWO YEAR MASTER IN SCIENCE OF CLIMATE



LAUREA MAGISTRALE IN
FISICA DEL SISTEMA TERRA



FUTURE EARTH, CLIMATE CHANGE AND SOCIETAL CHALLENGES

IT E

The key to gaining a better understanding of the **global environment** is exploring how the Earth's systems of air, land, water, and life interact with each other, **blending together** fields like meteorology, oceanography, biology, and atmospheric

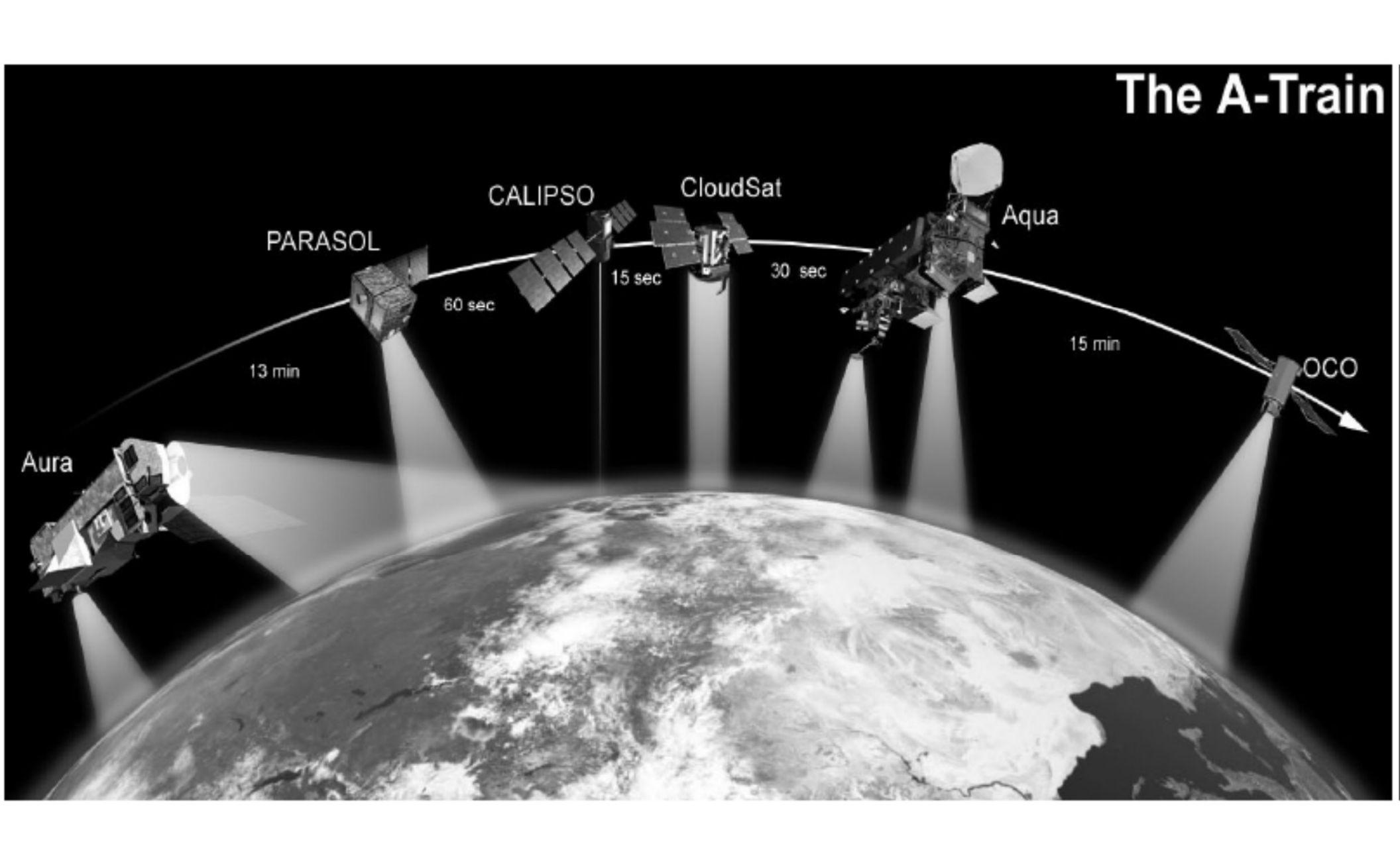
sciences

1991: Earth Science Enterprise

1999: Earth Observing System



EOS will observe the key physical variables needed to advance understanding of the entire Earth system and develop a deeper comprehension of the components of that system and the interactions among the components



#### 24 EOS Measurements



ATMOSPHERE

**Cloud Properties** 

(amount, optical properties, height)

MODIS, GLAS, AMSR-E, MISR, AIRS, ASTER,

SAGE III

Radiative Energy Fluxes

(top of atmosphere, surface)

CERES, ACRIM III, MODIS, AMSR-E, GLAS,

MISR, AIRS, ASTER, SAGE III

Precipitation

AMSR-E

Tropospheric Chemistry

(ozone, precursor gases)

TES, MOPITT, SAGE III, MLS, HIRDLS, LIS

Stratospheric Chemistry

(ozone, CIO, BrO, OH, trace gases)

MLS, HIRDLS, SAGE III, OMI, TES

**Aerosol Properties** 

(stratospheric, tropospheric)

SAGE III, HIRDLS

MODIS, MISR, OMI, GLAS

Atmospheric Temperature

AIRS/AMSU-A, MLS, HIRDLS, TES, MODIS

Atmospheric Humidity

AIRS/AMSU-A/HSB, MLS, SAGE III, HIRDLS,

Poseidon 2/JMR/DORIS, MODIS, TES

Lightning

(events, area, flash structure)

LIS

SOLAR

**Total Solar Irradiance** 

ACRIM III, TIM

Solar Spectral Irradiance

SIM, SOLSTICE

#### 24 EOS Measurements



LAND

Land Cover & Land Use Change

ETM+, MODIS, ASTER, MISR

Vegetation Dynamics

MODIS, MISR, ETM+, ASTER

**Surface Temperature** 

ASTER, MODIS, AIRS, AMSR-E, ETM+

Fire Occurrence

(extent, thermal anomalies)

MODIS, ASTER, ETM+

Volcanic Effects

(frequency of occurrence, thermal

anomalies, impact)

MODIS, ASTER, ETM+, MISR

Surface Wetness

AMSR-E

OCEAN

Surface Temperature

MODIS, AIRS, AMSR-E

Phytoplankton & Dissolved

**Organic Matter** 

MODIS

Surface Wind Fields

SeaWinds, AMSR-E, Poseidon 2/JMR/DORIS

Ocean Surface Topography

(height, waves, sea level)

Poseidon 2/JMR/DORIS

#### 24 EOS Measurements



#### CRYOSPHERE

Land Ice

(ice sheet topography, ice sheet volume change, glacier change)

Sea Ice

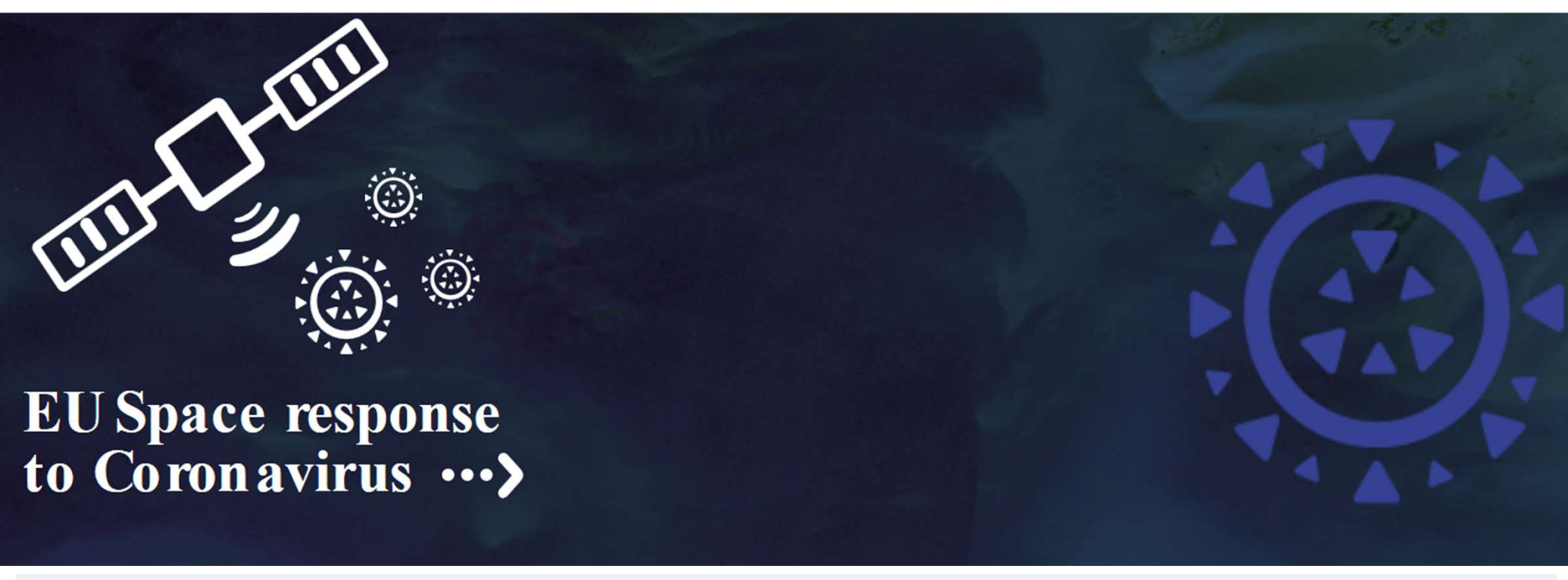
(extent, concentration, motion, temperature)

Snow Cover (extent, water equivalent) GLAS, ASTER, ETM+

AMSR-E, Poseidon 2/JMR/DORIS, MODIS, ETM+, ASTER

MODIS, AMSR-E, ASTER, ETM+





#### Copernicus Services















# Studio e previsioni dello stato del sistema

Federico Porcù **(federico.porcu@unibo.it)** Dipartimento di Fisica e Astronomia Università di Bologna un esempio di interazione tra sottosistemi: El nino

forzanti sul sistema climatico (GHG)

proiezioni climatiche

#### meccanismi di retroazione

una forzatura su una componente del sistema produce un effetto che modifica l'impatto della forzatura

feed back positivo: l'impatto aumenta instabilità

feed back negativo: l'impatto diminuisce stabilità

#### feed back negativo

aumento di T⇒ aumento di wv ⇒ aumento di copertura nubi ⇒ aumento albedo planetaria ⇒ diminuzione di T

feed back positivo

aumento di T ⇒ aumento di wv ⇒ aumento effetto serra ⇒ aumento di T

diminuzione di T ⇒ aumento ghiaccio superficiale ⇒ aumento di albedo planetaria ⇒ diminuzione di T

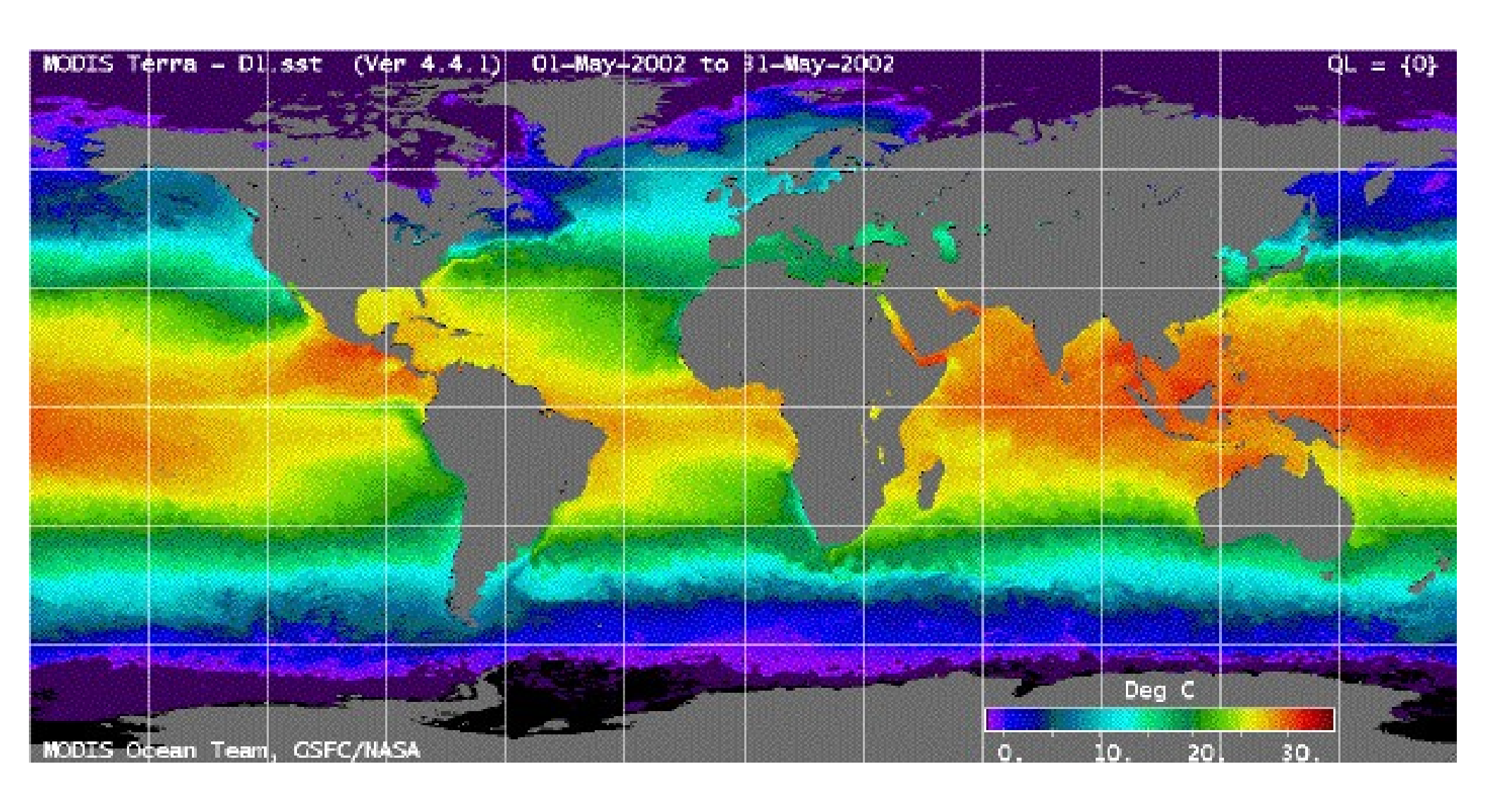
#### El Niño

#### **Interazione Atmosfera/Oceano**

 l'atmosfera influenza l'oceano principalmente a causa dello stress del vento superficiale;

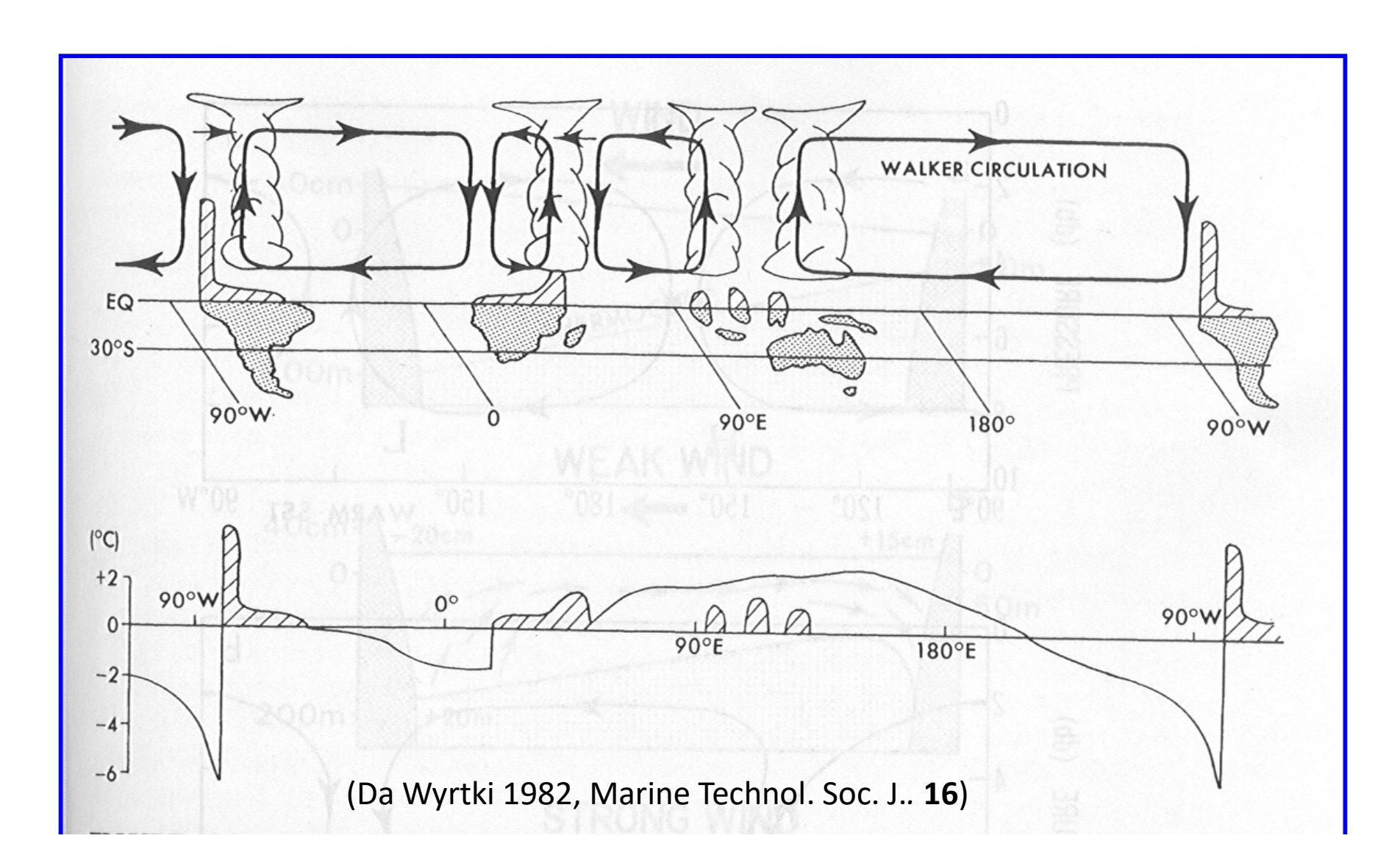
☐ l'oceano influenza l'atmosfera principalmente a causa di anomalie nella temperatura della sua superficie (*Sea Surface Temperature SST*) e del conseguente flusso verticale di calore sensibile e latente.

#### temperatura media oceanica

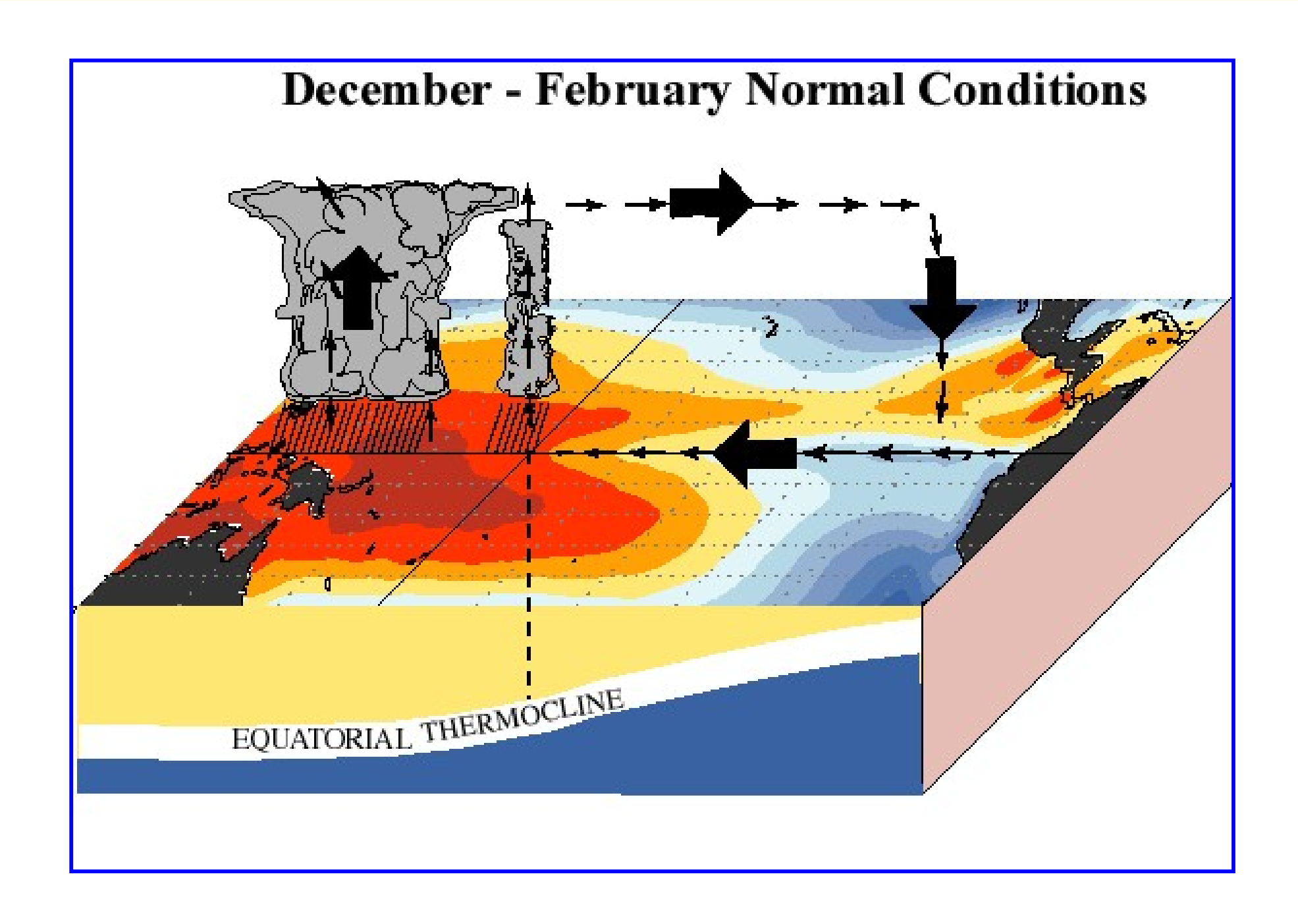


#### Circolazione Atmosferica Equatoriale

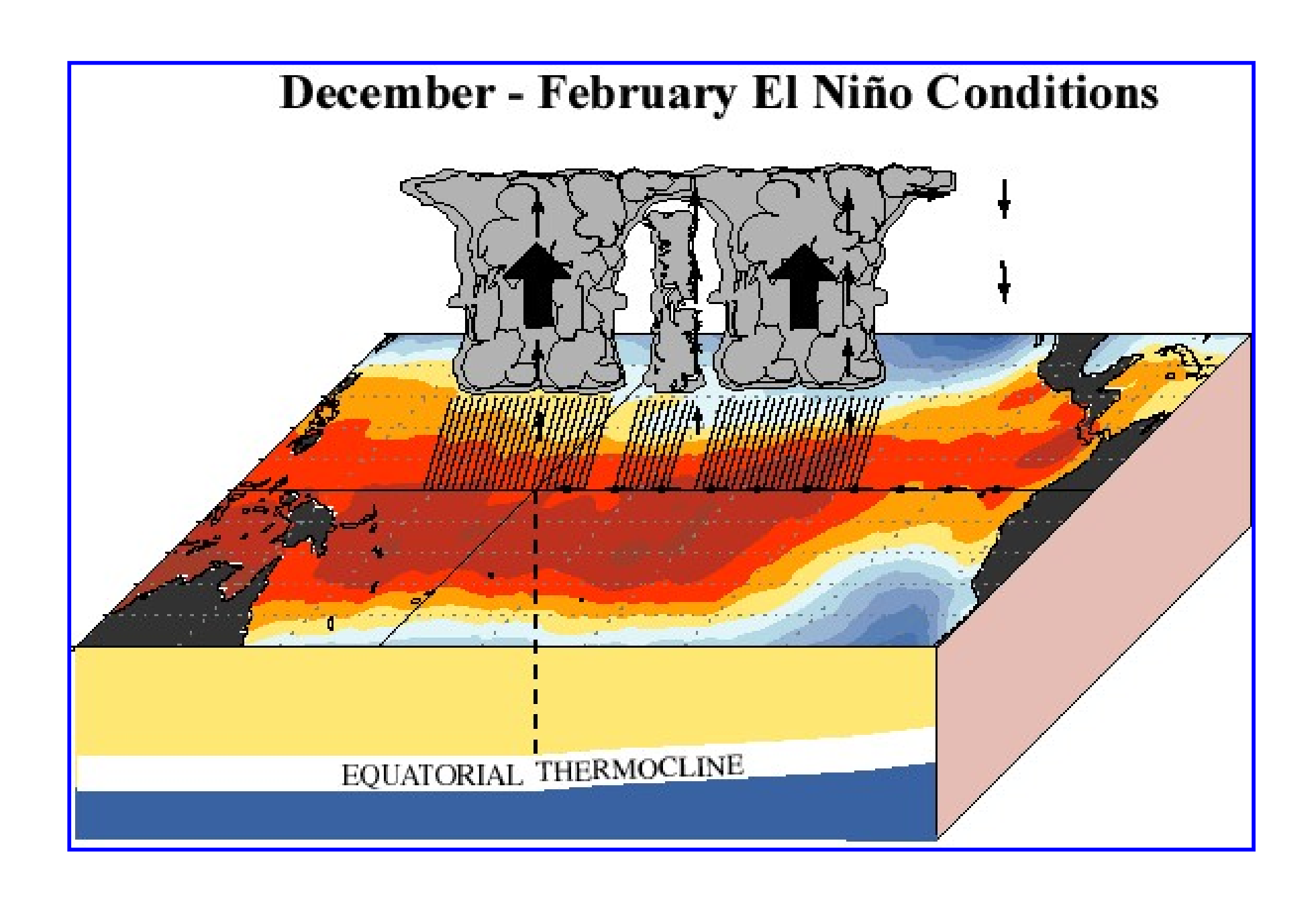
Schema della normale circolazione di Walker lungo l'equatore. Risalita di aria e pioggia insistente sul Indonesia, Pacifico occidentale, Africa sud orientale e Amazzonia, mentre condizioni di scarsa precipitazione nel Pacifico orientale e nell'Africa sud-occidentale. Il grafico in basso mostra inoltre il profilo dell'anomalia di temperatura lungo l'equatore.



#### Circolazione Atmosferica Equatoriale



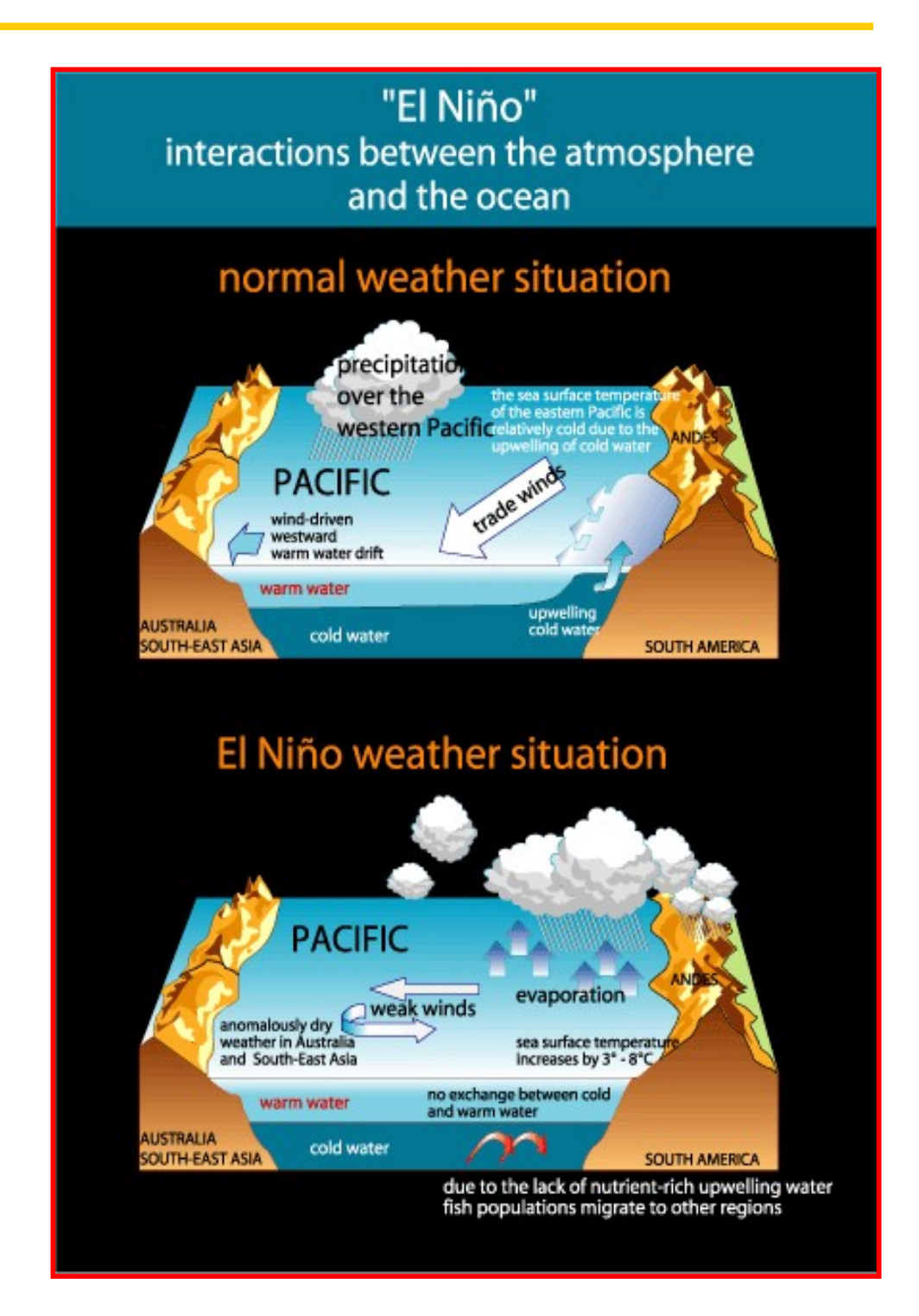
## Circolazione Atmosferica Equatoriale Condizione ENSO – El Nino

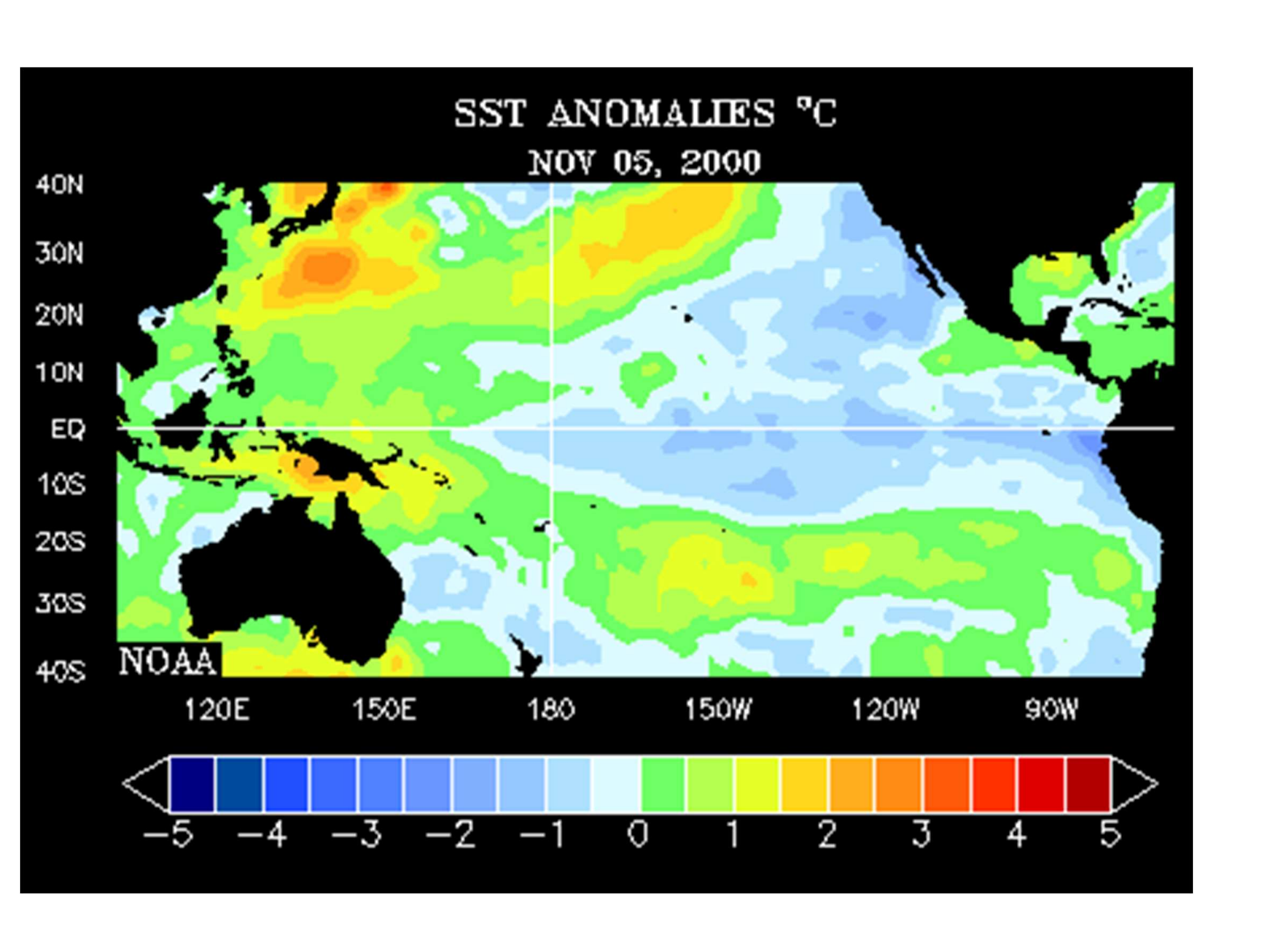


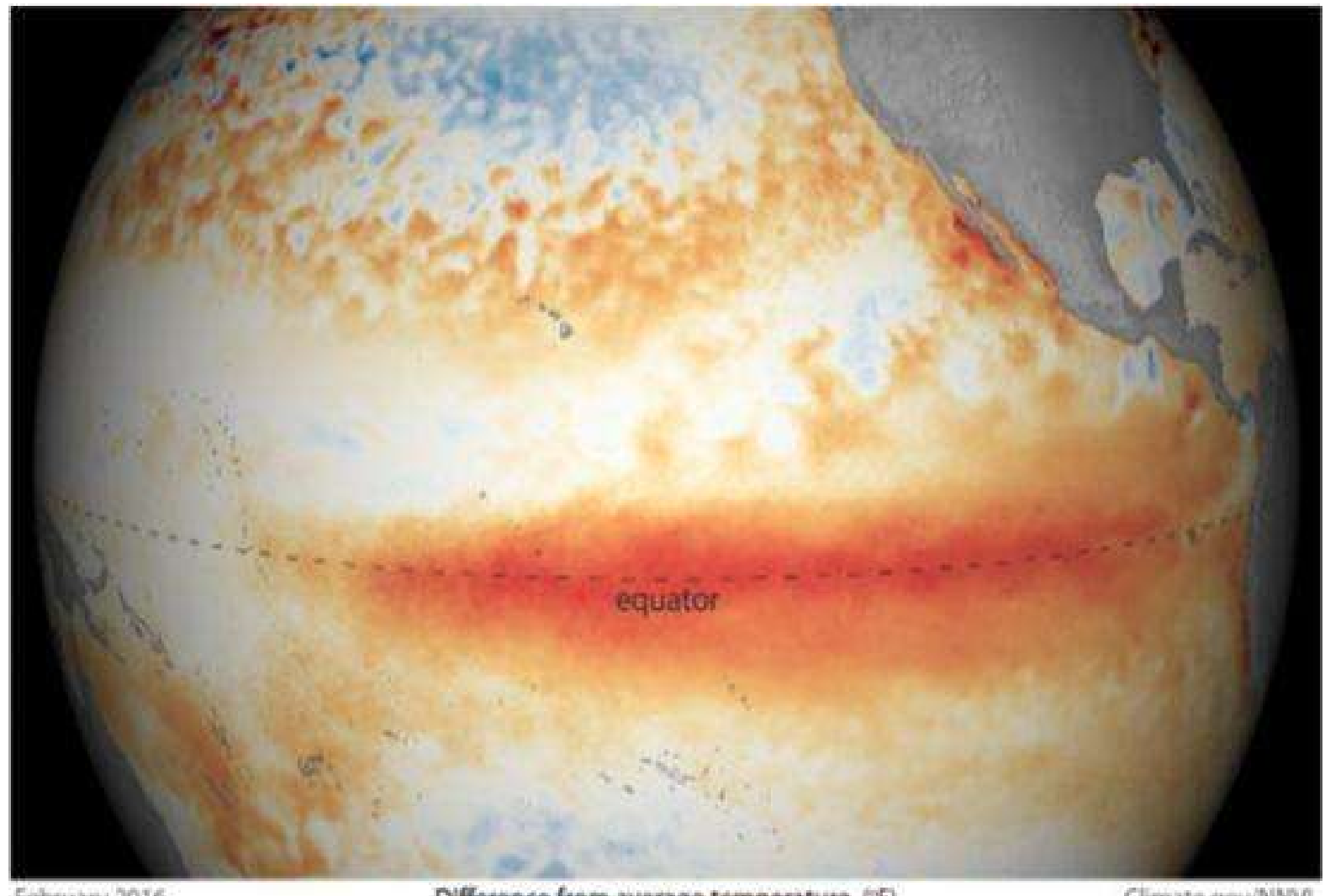
#### Circolazione Atmosferica Equatoriale - Condizione ENSO

Negli anni "normali" il forte gradiente di temperatura superficiale (freddo a est caldo a ovest) nel Pacifico equatoriale è accompagnato da **forti venti alisei** che spingono le acque superficiali verso ovest permettendo a quelle più fredde e profonde di risalire in superficie. La **risalita delle acque** rafforza a sua volta il gradiente di temperatura superficiale mantenendo gli alisei.

Un indebolimento degli alisei nel Pacifico centrale indebolisce l'upwelling e fa aumentare la temperatura del Pacifico orientale. Questo fenomeno contribuisce a indebolire ulteriormente gli alisei. Il rafforzarsi vicendevole di questi effetti contribuisce all'instaurarsi di un El Niño.



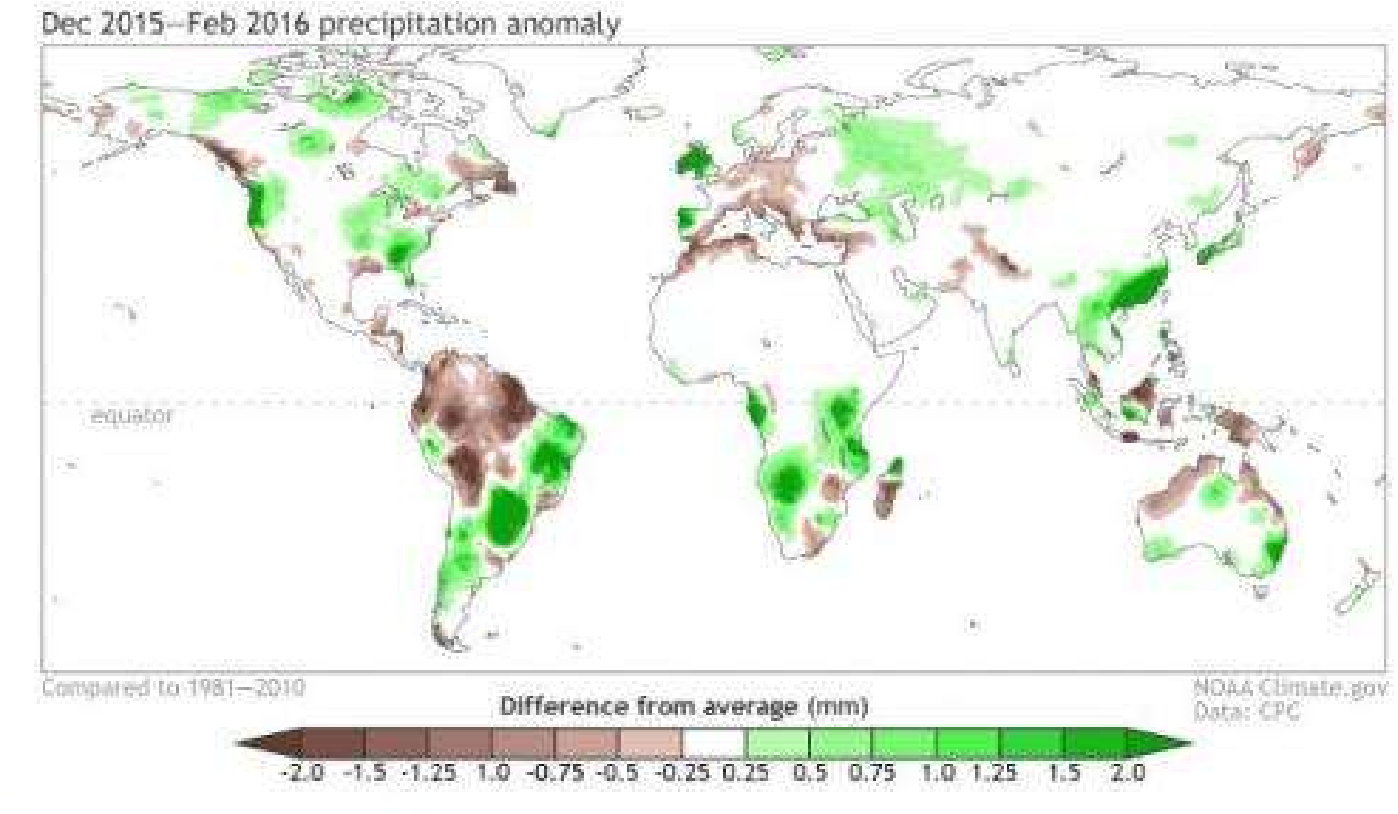


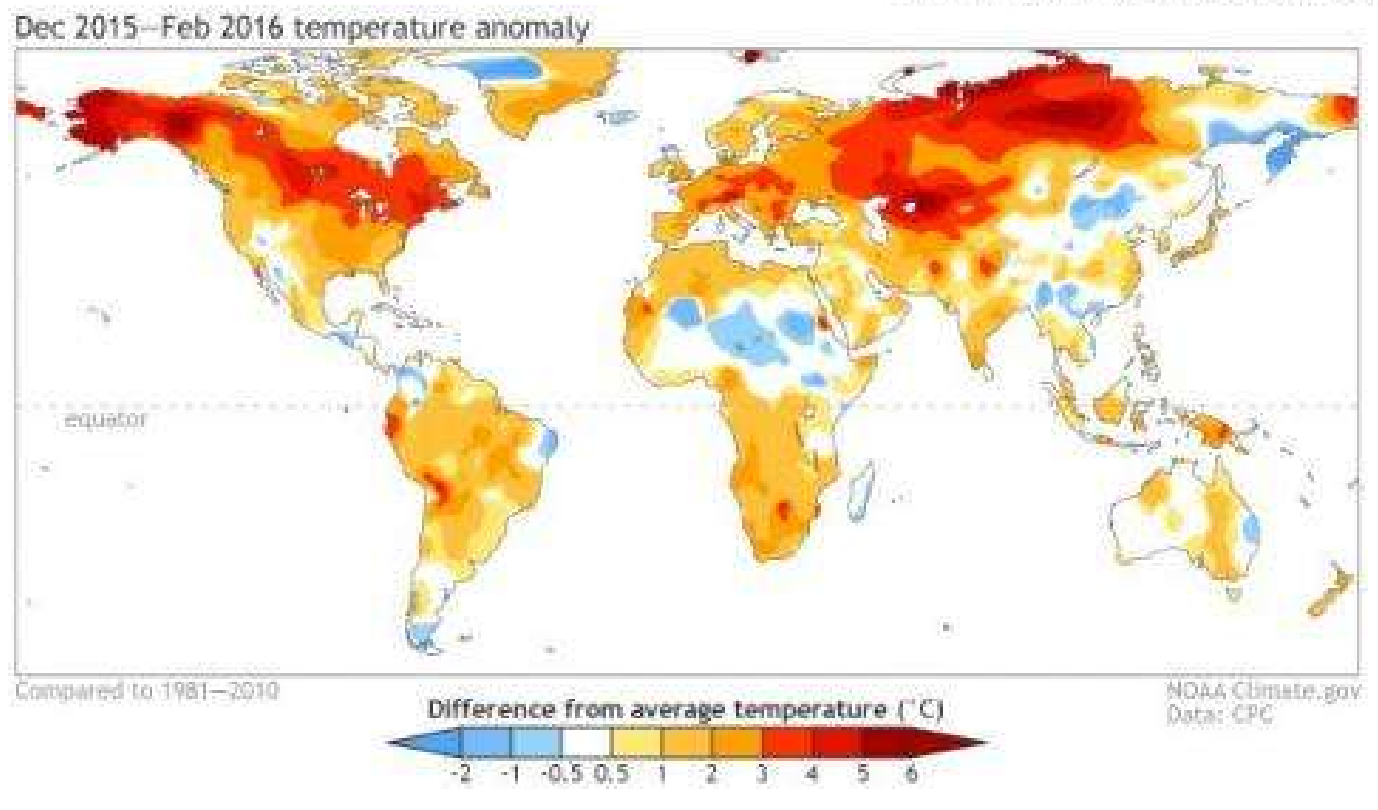


February 2016 compared to 1981-2010



Climate.gov/NNVL Data: Geo-Polar SST





#### **FORZANTI NATURALI**

#### VARIAZIONE DELLA RADIAZIONE SOLARE

Diretta —

**Attività Solare** 

**Indiretta** 

**Milankovitch** 

#### INTERAZIONI TRA DIVERSE COMPONENTI

**El Niño** 

**ERUZIONI VULCANICHE** 

**DERIVA DEI CONTINENTI** 

#### FORZANTI ANTROPICHE

#### **IMMISSIONE DI GAS IN ATMOSFERA**

#### IMMISSIONE DI AEROSOL IN ATMOSFERA

SFRUTTAMENTO DEL TERRENO

#### forzanti - GHG I

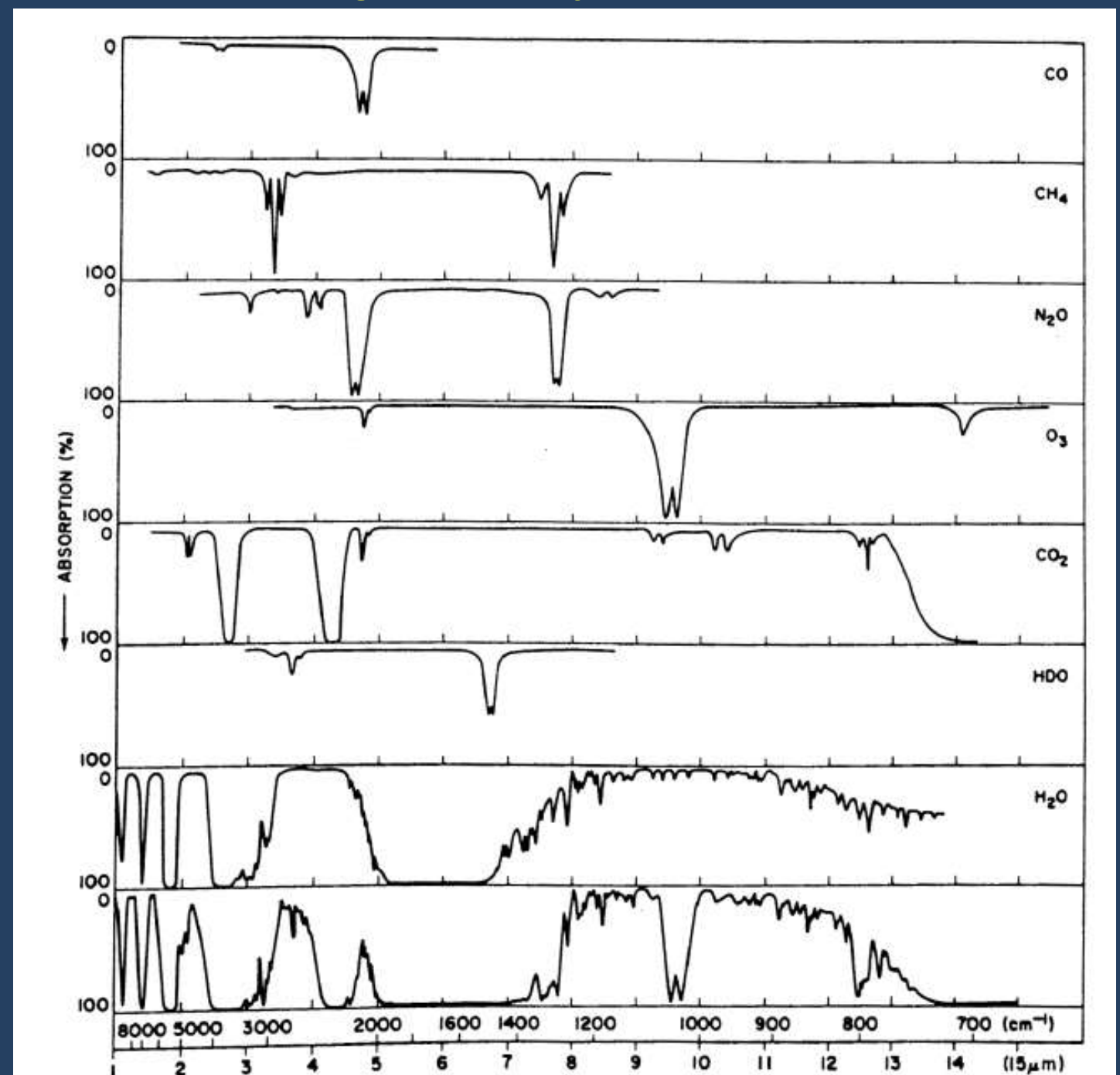
Peixo

interazione tra radiazione e costituenti atmosferici

Molecule	Structure	Permanent	May acquire
		dipole moment	dipole moment
$N_2$	N N	No	No
$O_2$	0 • 0	No	No
СО	CO	Yes	Yes
$CO_2$	$O \longrightarrow C \longrightarrow O$	No	Yes
			(in two vibrational
			modes)
N <sub>2</sub> O	N O	Yes	Yes
H <sub>2</sub> O	0	Yes	Yes
	н		
$O_3$	0	Yes	Yes
CH4	ОНН	No	Yes
			(in two vibrational
10 (1000)			modes)
to and Oort (1998)	н Н		

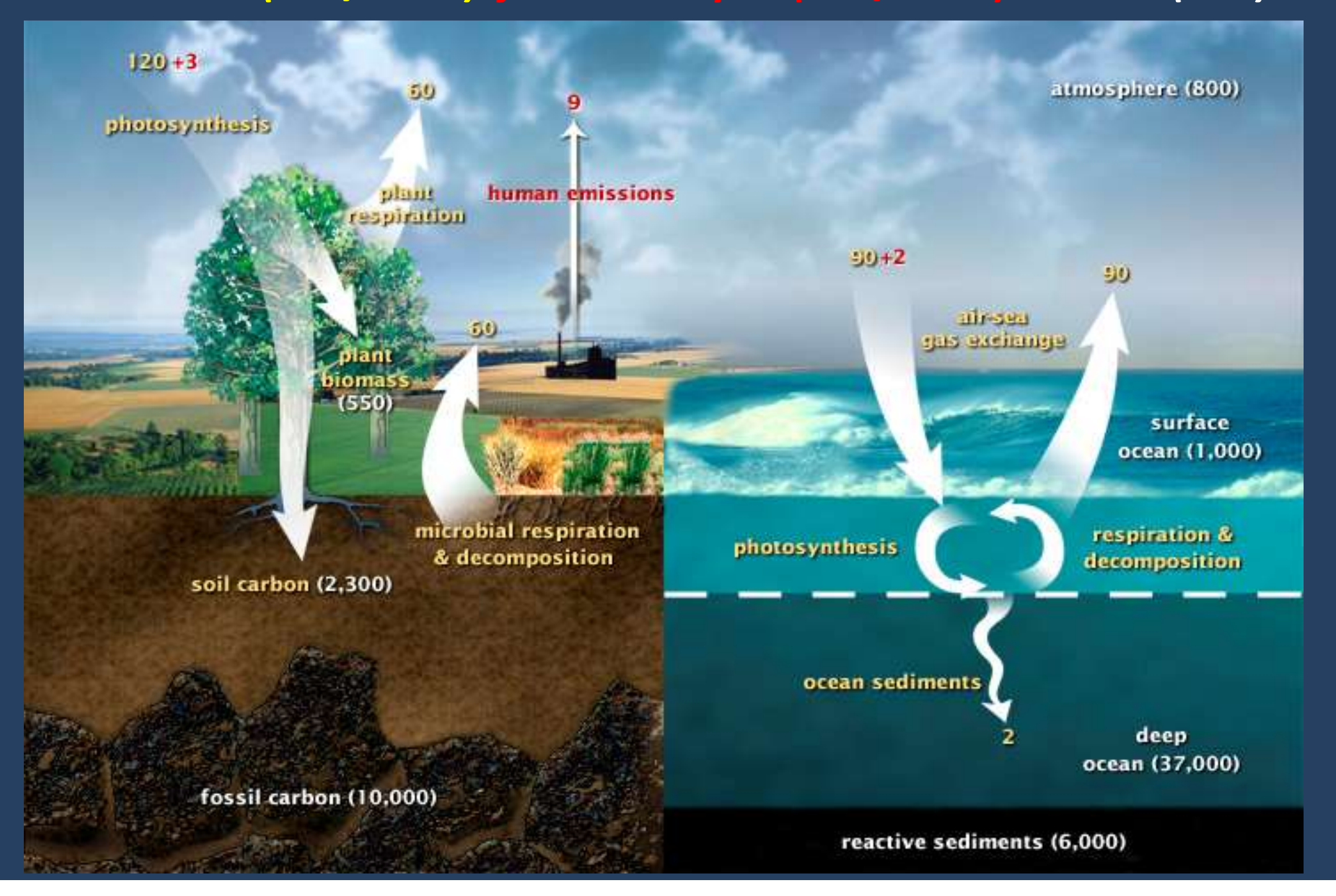
forzanti - GHG II

#### spettri di assorbimento dei gas atmosferici



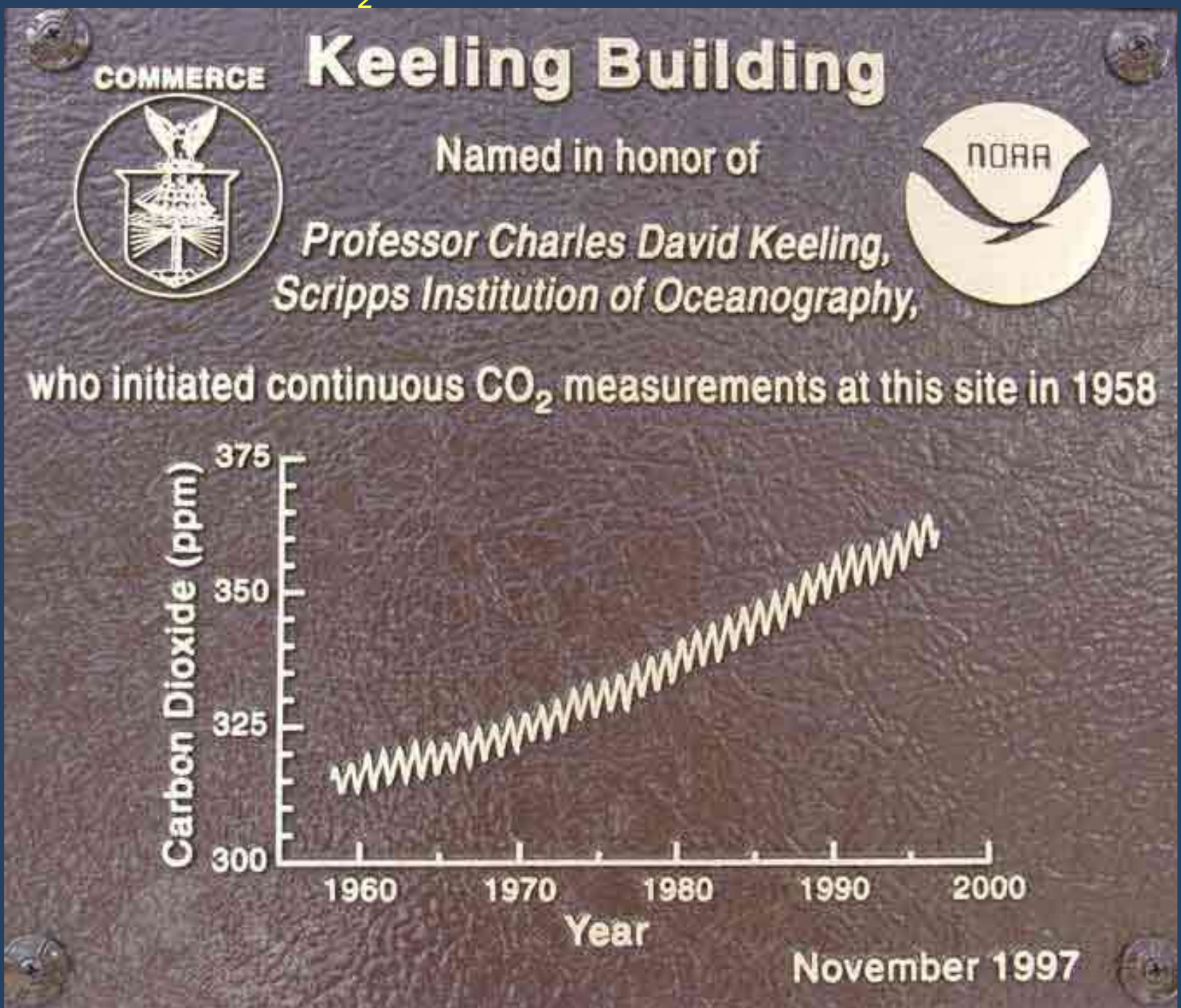
(Valley, 1965)

# forzanti - GHG III ciclo veloce del carbonio flussi naturali (GtC/anno) flussi antropici (GtC/anno) riserve (GtC)

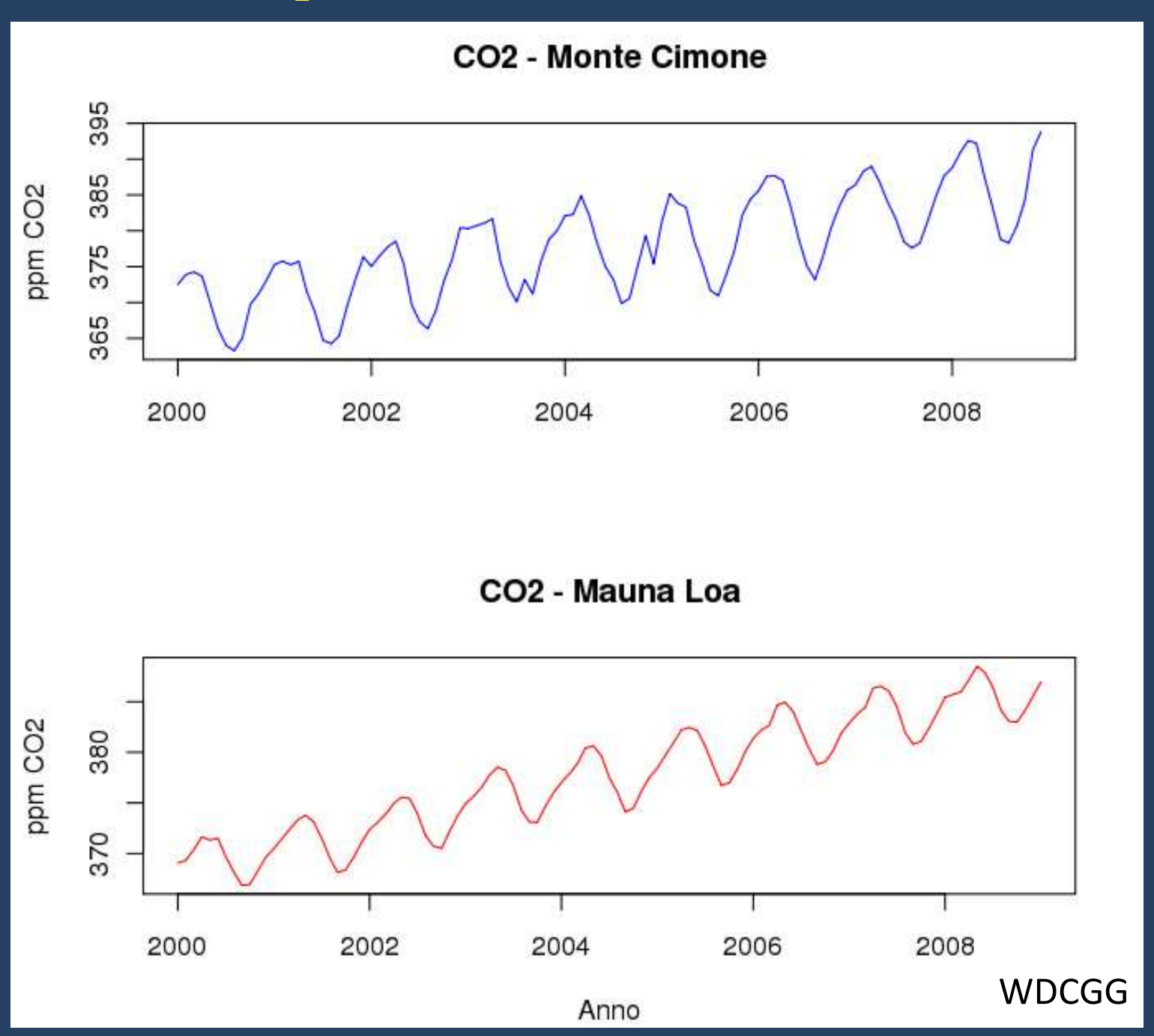


# forzanti - GHG IV

misure di contenuto di CO<sub>2</sub>

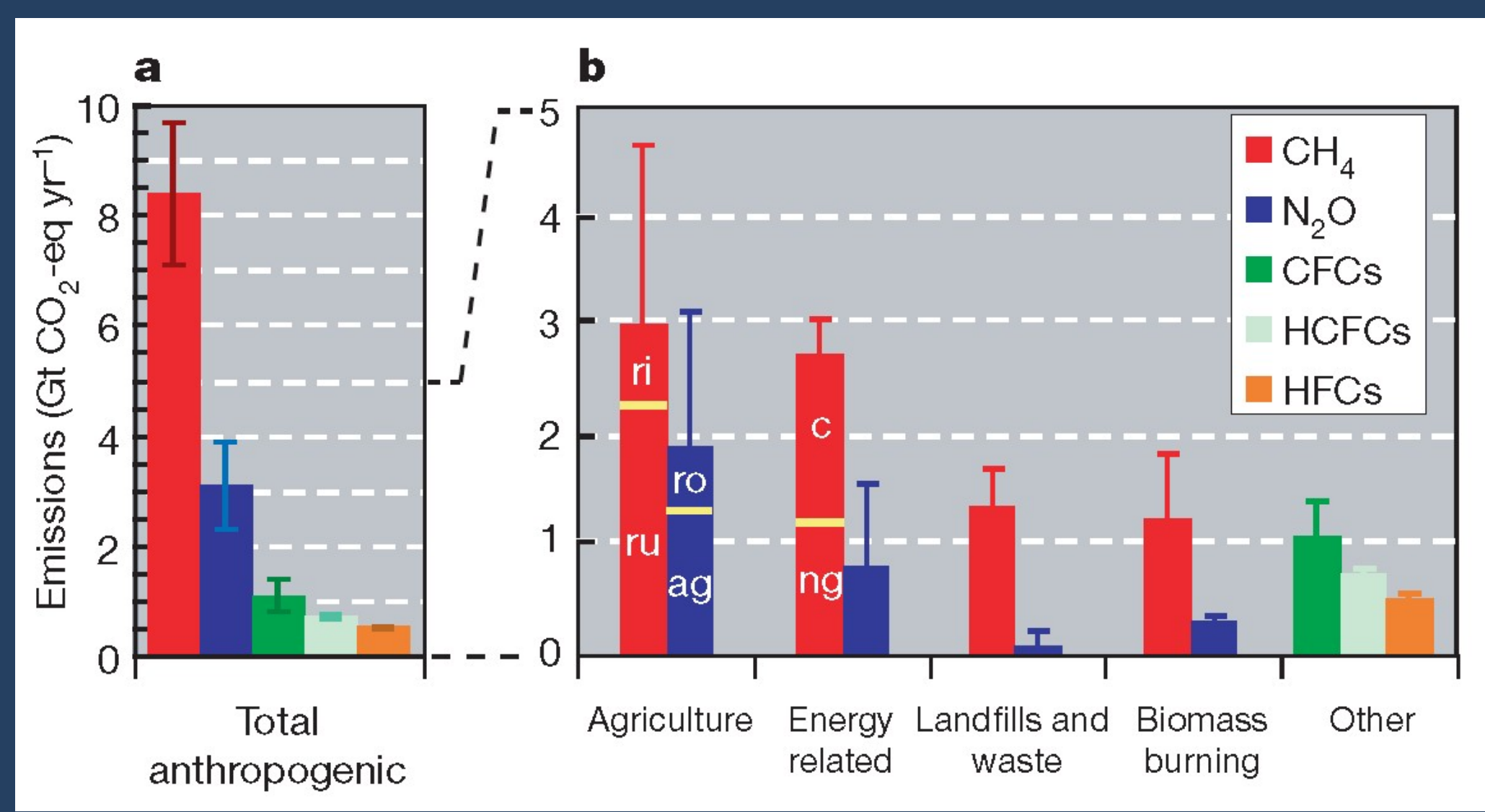


**forzanti - GHG V** *misure di contenuto di CO*<sub>2</sub>



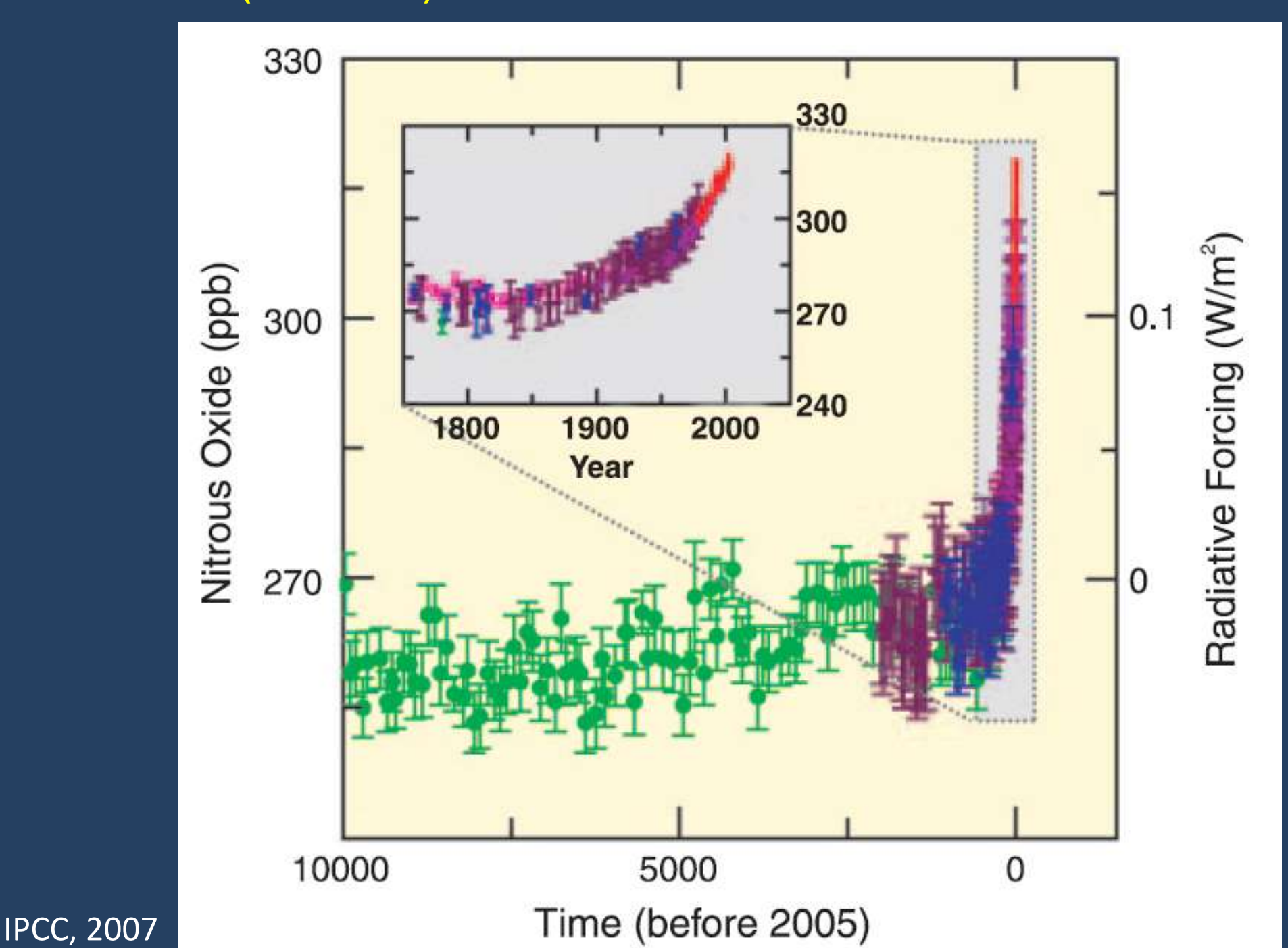
# forzanti - GHG VI meccanismi di produzione e distruzione di altri GHG

ri: coltivazione del riso; ru: ruminanti; ng: gas naturali; c: miniere ro: run-off; ag: agricoltura



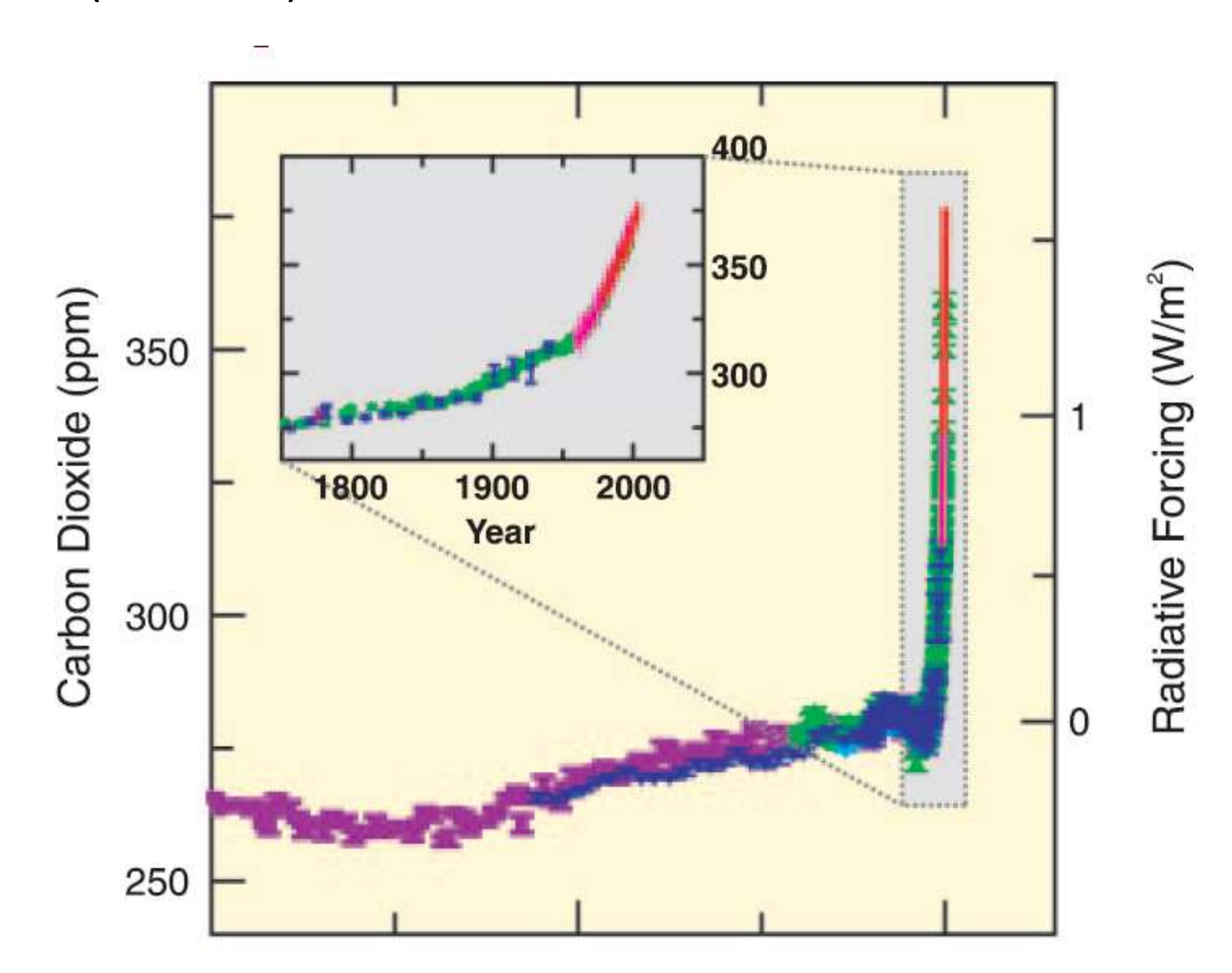
(Montzka et al, 2011)

**forzanti - GHG VII** record storici (ice cores)



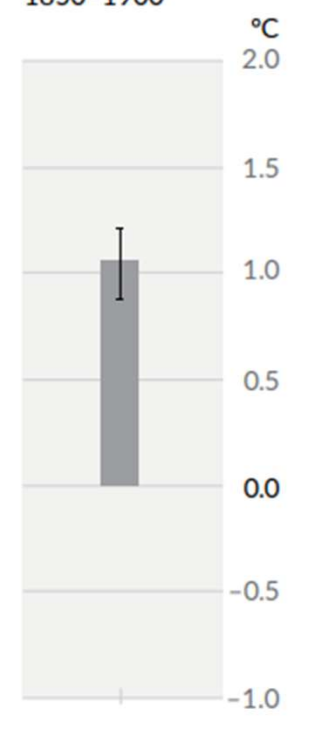
forzanti - GHG VII

record storici (ice cores)

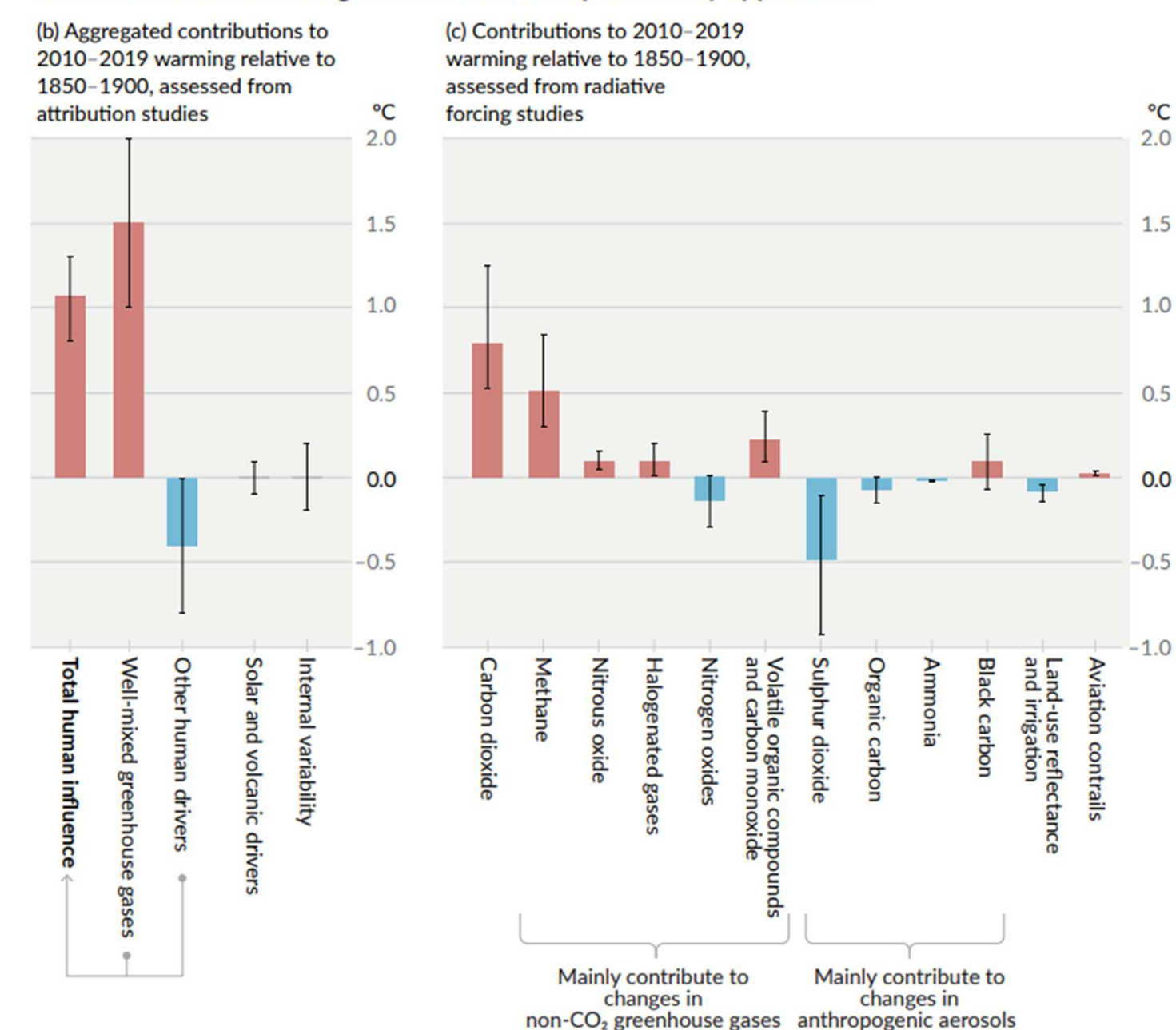


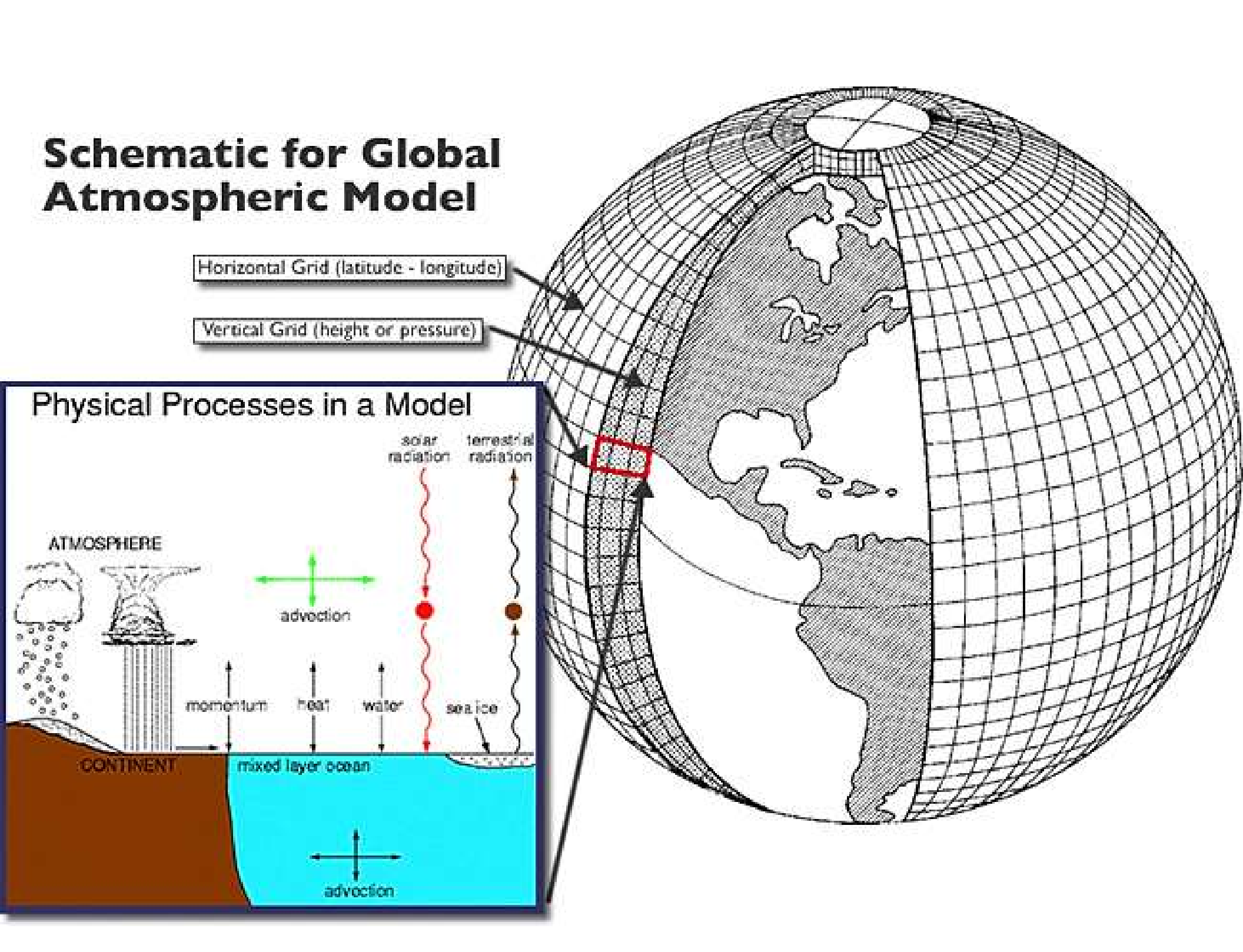
### **Observed warming**

# (a) Observed warming 2010–2019 relative to 1850–1900

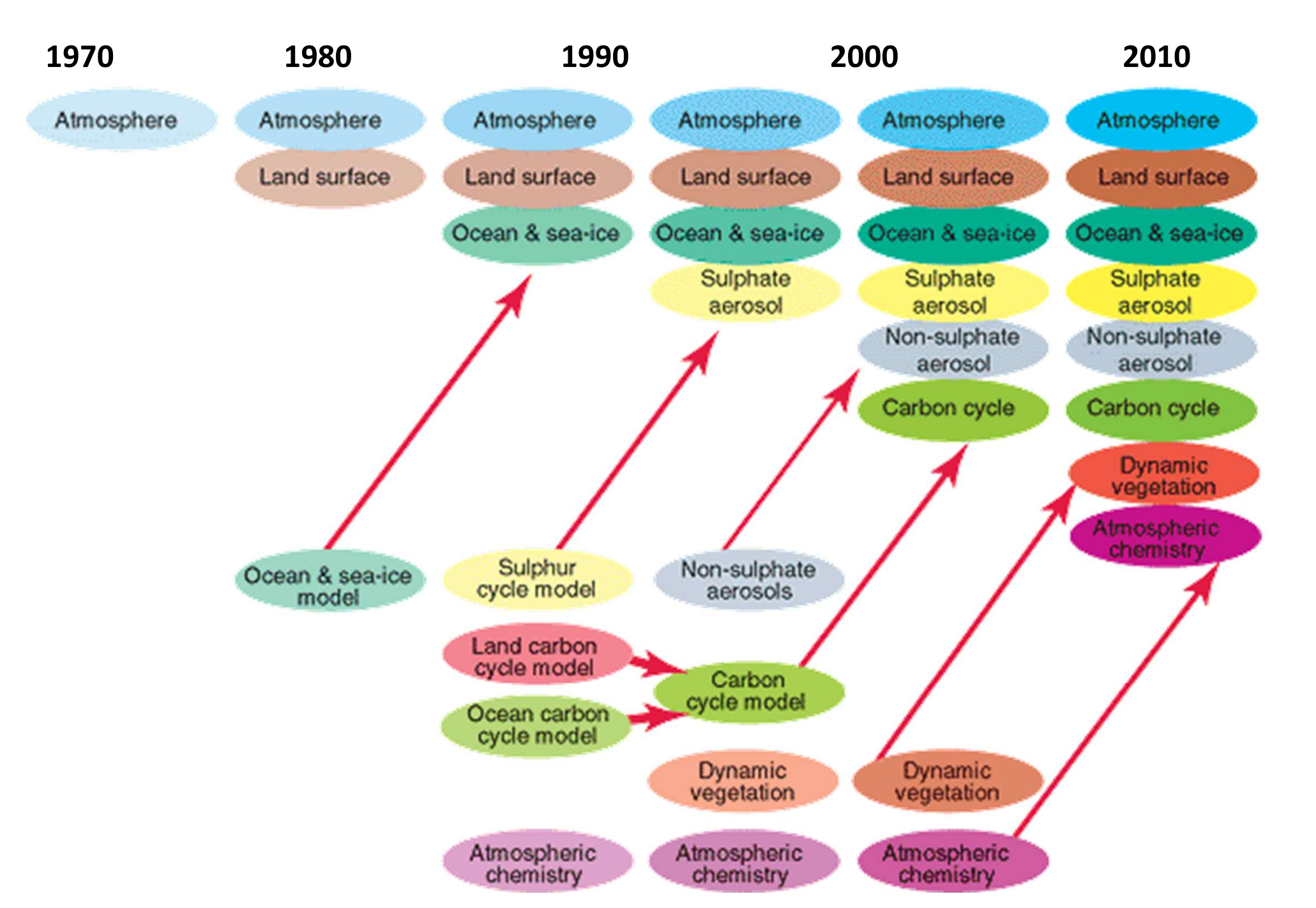


### Contributions to warming based on two complementary approaches





# evoluzione dei modelli climatici



# Socio-economic challenges for mitigation

# Future Climate Change

**Shared Socioeconomic Pathways** 





(Mitigation challenges dominate)

Fossil-fueled development

Taking the Highway

(High challenges) Regional rivalry

**★** SSP 3

A Rocky Road

★ SSP 2

(Intermediate challenges)

Middle of the road

★ SSP 1

(Low challenges) Sustainability

Taking the Green Road

**★** SSP 4

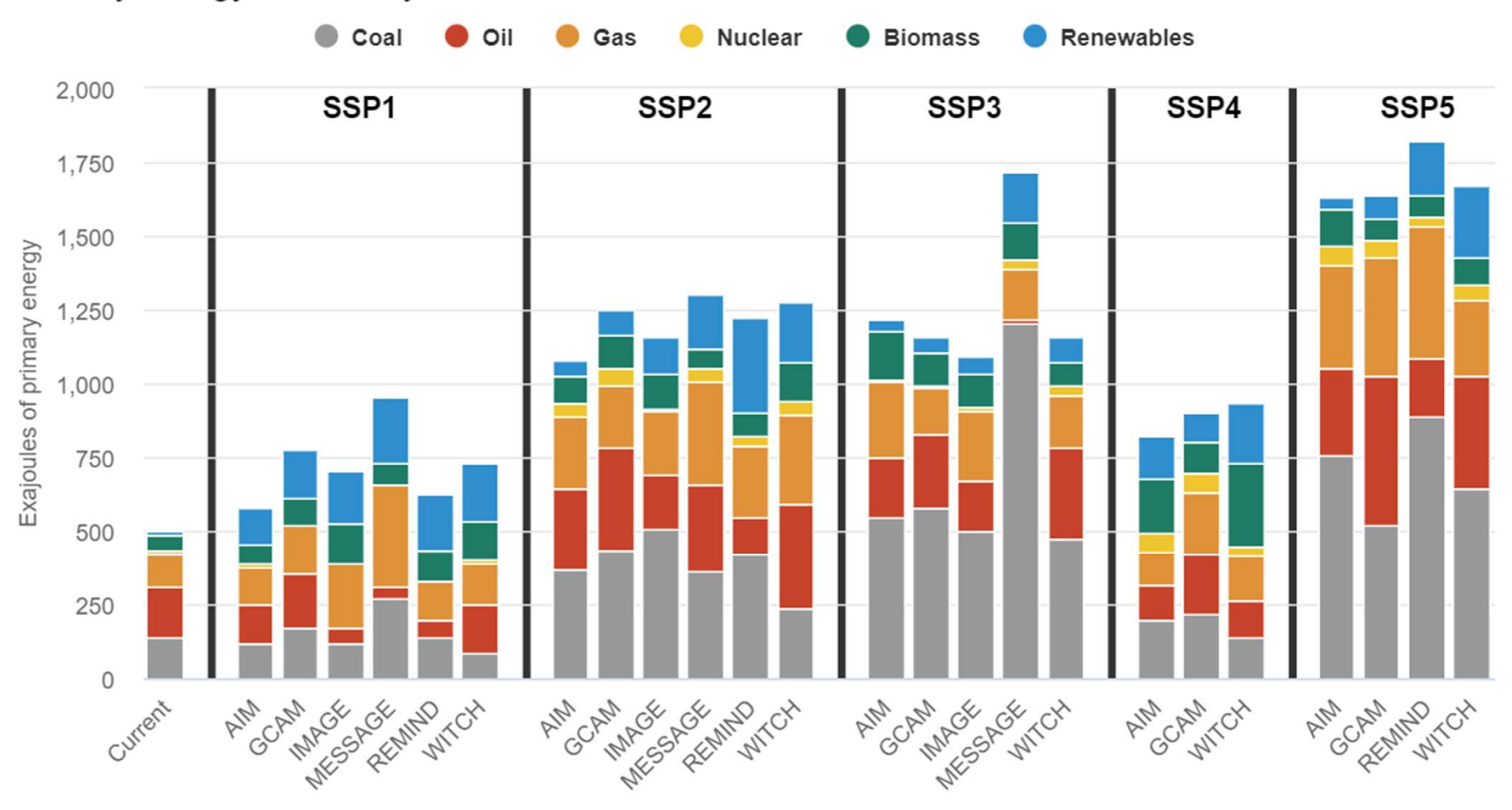
(Adaptation challenges dominate) Inequality

A Road Divided

# Socio-economic challenges for adaptation

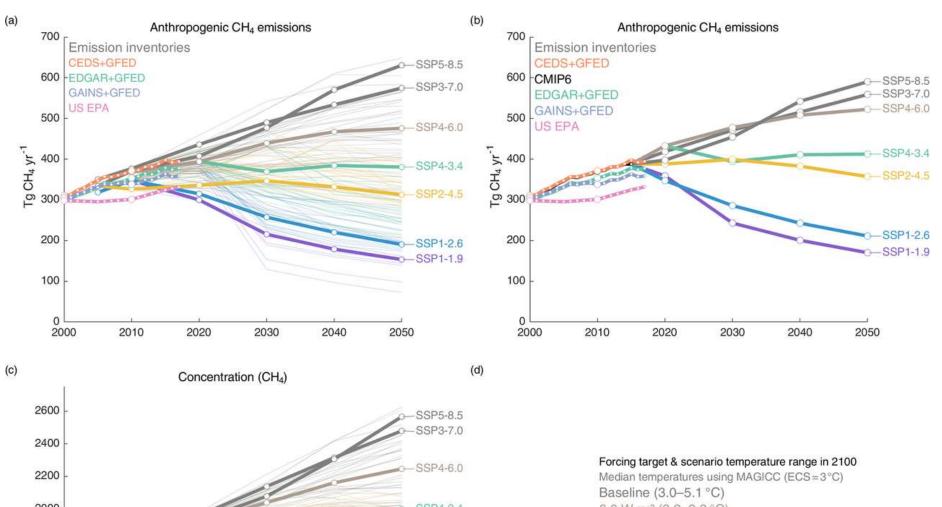
# ogni SSP ha una propria tendenza nello sviluppo energetico

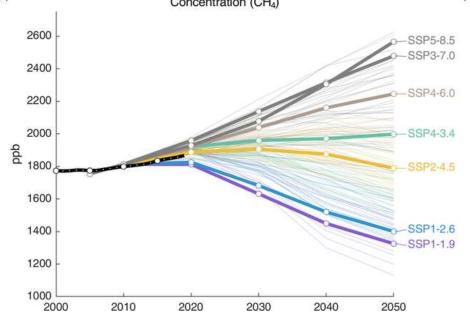
Primary energy in 2100 by model for SSP baseline scenarios



**Integrated Assessment Models** 

# ogni SSP ha una propria tendenza nelle emissioni





6.0 W m<sup>-2</sup> (3.2-3.3 °C)

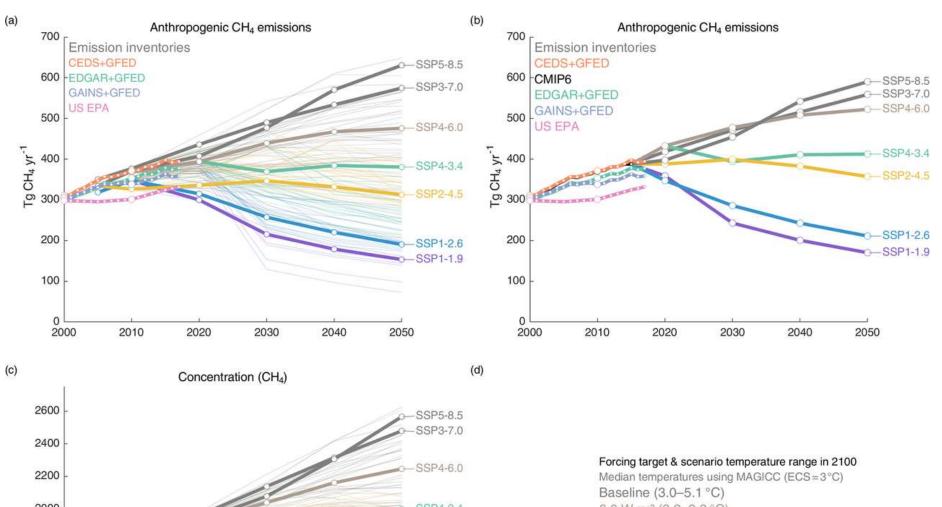
4.5 W m-2 (2.5-2.7 °C)

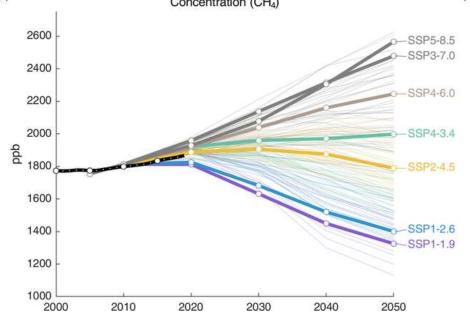
3.4 W m-2 (2.1-2.3 °C)

2.6 W m-2 (1.7-1.8 °C)

1.9 W m-2 (1.3-1.4 °C)

# ogni SSP ha una propria tendenza nelle emissioni





6.0 W m<sup>-2</sup> (3.2-3.3 °C)

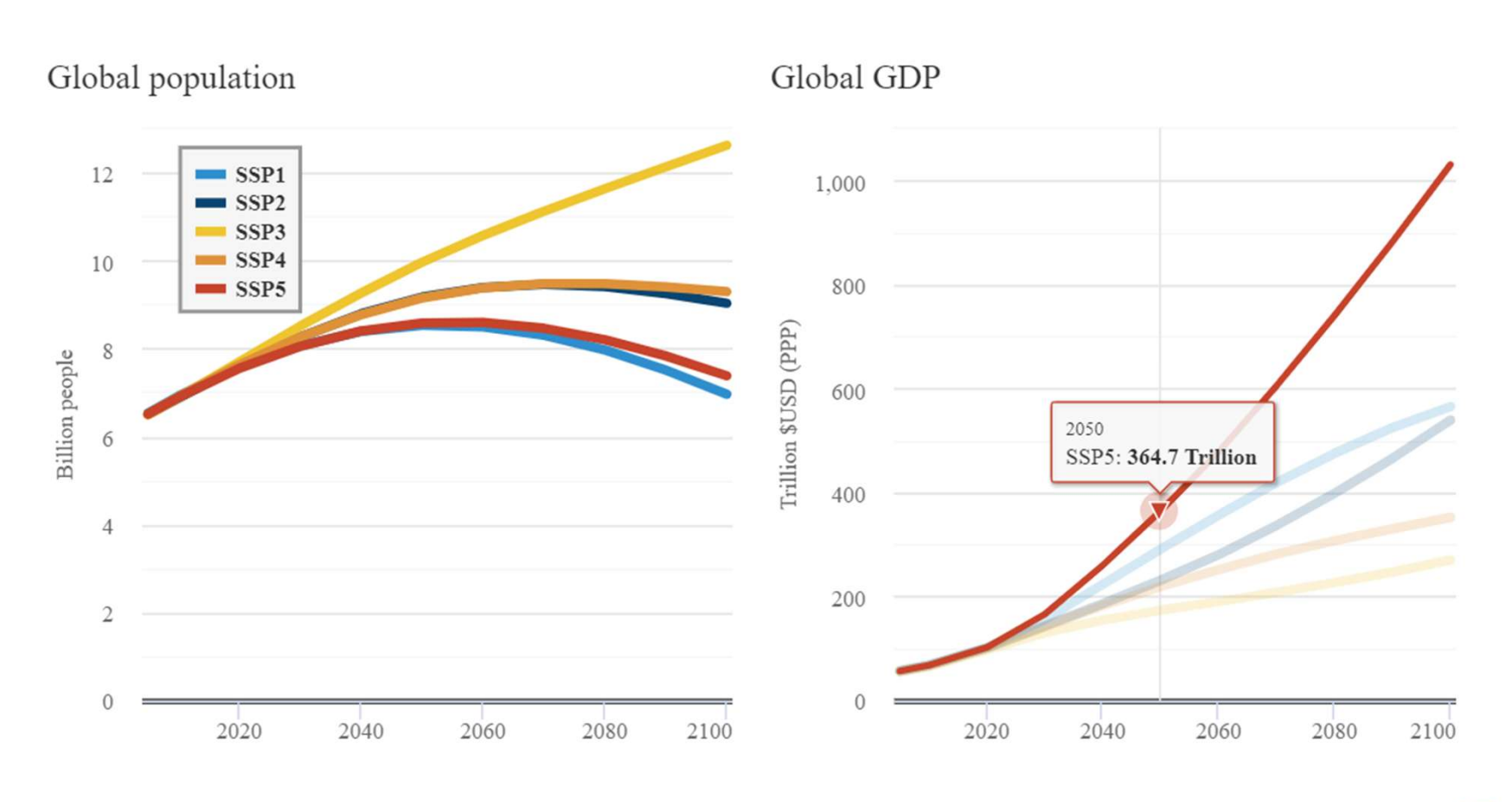
4.5 W m-2 (2.5-2.7 °C)

3.4 W m-2 (2.1-2.3 °C)

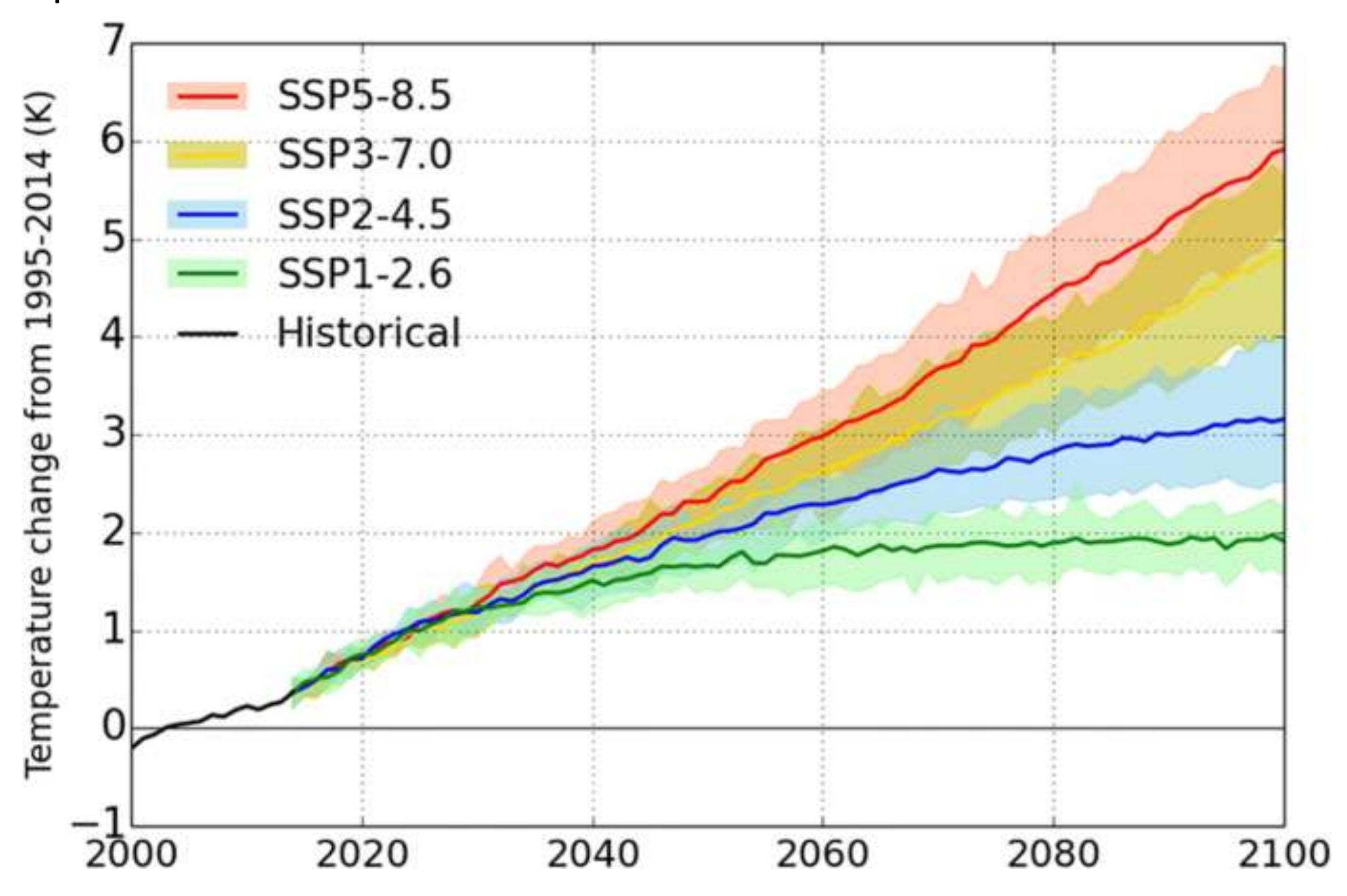
2.6 W m-2 (1.7-1.8 °C)

1.9 W m-2 (1.3-1.4 °C)

# ogni SSP ha una propria tendenza delle condizioni socioeconomiche



I modelli climatici vengono inizializzati con i diversi scenari ipotizzati



# **GEOENGINEERING TECHNIQUES**

Geoengineering is the large-scale intervention in the Earth system to counteract human-induced climate change. There are two basic approaches to intervention:



### CARBON DIOXIDE REMOVAL

Removes carbon dioxide (CO2) from the atmosphere and storing it for a long time. Techniques include:

### Ocean fertilisation Sprinkle iron to stimulate growth of CO2-eating phytoplankton

Safety • Ready • Cost • • •

# Afforestation

Plant trees on a large-scale to remove CO2
Safety

Cost

# Air capture

Convert CO2 into a solid using sodium hydroxide Safety

### 

### SOLAR RADIATION MANAGEMENT

Counteracts global warming by reflecting some sunlight back to space. Techniques include:

# Desert surface albedo

Cover desert surface with reflective sheets to reflect sunlight

Safety Ready Cost

### Stratospheric aerosol

Inject sulfur to reflect sunlight, increase cloud condensation

Safety • • • • • Ready • • • • • Cost • • •

Space reflector Launch mirrors into space to

reflect sunlight Safety • • • Ready •

Cost • • • • •

Artificia tree

# Effectiveness Very low Low

Safety, readiness, cost

Medium
High

Very low

The safest and most predictable way to moderate climate change is to take early and effective action to reduce emissions. No geoengineering method can provide an easy or readily acceptable alternative solution to the problem of climate change

Sources: The Royal Society, University of East Anglia

Low

Medium

Wirtes ale

ot to scale

Ot to scale

Wery high











# Types of Nature-based Solutions





